



รายงานการวิจัย

การออกแบบและสร้างชุดทดสอบการซึมผ่านแบบ Falling Head –Rising Tail

Design and Construct Falling Head – Rising Tail Testing Apparatus

สมมาตร์ สวัสดิ์

Sommart SWASDI

จำรูญ สมบูรณ์

Chumroon SOMBOON

อาศิส อัยรักษ์

Arsit IYARUK

คณะวิศวกรรมศาสตร์

มหาวิทยาลัยเทคโนโลยีราชมงคลครุฑ์

ได้รับการสนับสนุนทุนวิจัยจากมหาวิทยาลัยเทคโนโลยีราชมงคลครุฑ์

งบประมาณเงินรายได้ประจำปี พ.ศ. 2554

การออกแบบและสร้างชุดทดสอบการซึมผ่านแบบ Falling Head –Rising Tail

สมมาตร์ สวัสดิ์ จำรูญ สมบูรณ์ และ อาศิส อัยรักษ์

บทคัดย่อ

งานวิจัยนี้เป็นการศึกษาการออกแบบและสร้างชุดทดสอบ เพื่อหาค่าสัมประสิทธิ์การซึมผ่านของน้ำในดิน ซึ่งมีความสำคัญอย่างยิ่งในการออกแบบเขื่อน ถนน บ่อฝังกลบฯ บ่อกักเก็บน้ำ งานถนนบดอัด บุกดิน อุโมงค์ กำแพงกันดิน และเสถียรภาพความลาดชัน จึงทำการออกแบบและสร้างชุดทดสอบการซึมผ่านแบบความดันแปรเปลี่ยนหัวท้าย เพื่อจำลองการซึมผ่านของน้ำในดิน โดยการนำข้อด้อยของชุดทดสอบความดันคงที่และความดันแปรเปลี่ยนมาปรับแก้ ซึ่งชุดทดสอบนี้สามารถแก้ปัญหาที่เกิดกับการทดสอบแบบความดันคงที่และความดันแปรเปลี่ยนโดยสามารถจำลองสภาพดินตัวอย่าง ได้ใกล้เคียงกับสภาพในธรรมชาติจริงก่อนเก็บตัวอย่าง และสามารถตรวจสอบการอึมของตัวอย่าง ได้เช่นเดียวกับการทดสอบแรงอัดสามแกน และเซลล์บรรจุตัวอย่างจะเป็นแบบพนังอ่อน ตัวอย่างดินที่บรรจุอยู่ในเซลล์สามารถให้แรงดันโดยรอบตัวอย่าง ได้จึงทำให้ผนังเซลล์แบบสนิทกับดินป้องกันการซึมผ่านของน้ำทางด้านข้าง ได้ทำให้ผลการทดสอบการซึมผ่านของน้ำในดินที่ได้ใกล้เคียงกับดินในธรรมชาติ

ผลการศึกษาพบว่าค่าที่ได้จากชุดทดสอบแบบความดันแปรเปลี่ยนหัวและท้ายมีค่าสัมประสิทธิ์การซึมผ่านที่น้อยกว่าค่าสัมประสิทธิ์ของชุดทดสอบแบบความดันคงที่และความดันแปรเปลี่ยน ซึ่งเป็นไปตามสมมุติฐานที่ได้กำหนดไว้เพื่อแก้ปัญหาที่เกิดขึ้นกับการทดสอบแบบความดันคงที่และความดันแปรเปลี่ยน นอกจากนี้ยังสามารถลดเวลาในการทดสอบตัวอย่างดินและเพิ่มแรงดันได้สูงขึ้น มีผลทำให้สามารถใช้ทดสอบกับดินที่มีค่าการซึมผ่านต่ำๆ ได้ดี ดังนั้นชุดทดสอบที่สร้างขึ้มนี้สามารถนำไปใช้ในการหาค่าสัมประสิทธิ์การซึมผ่านได้จริง

คำสำคัญ : สัมประสิทธิ์การซึมผ่าน ความดันแปรเปลี่ยนหัวท้าย ความดันคงที่ ความดันแปรเปลี่ยน

Design and Construct Falling Head – Rising Tail Testing Apparatus

Sommart SWASDI Chumroon SOMBOON and Arsit IYARUK

ABSTRACT

This research was design and constructs the apparatus for testing the coefficient of permeability of soil (k) which is important for design a dam, street, landfills, water retention pond, compaction work, excavation work, tunnel, retraining walls and slop stability. We propose to construct of a permeability testing apparatus on Falling Head – Rising Tail which simulate a permeability of soil. We are studied a weakness of Constant Head and Variable Head (Falling Head) testing apparatus (Conventional Method) exists which have been a new concept for troubleshooting the problems with design and construct of a permeability testing apparatus by Falling Head – Rising Tail method. This apparatus can be simulated the soil samples state nearest the natural soil state before sampling the samples which can be checked the saturated of samples like the Triaxial testing and the wall around the soil sample is a flexible wall that it can be reduced the leakage of fluid between the soil sample and the rigid wall.

The results of study is found the values of k from Falling Head – Rising Tail testing apparatus are less than the values of k from Conventional Method that the hypothesis is defined to troubleshoot the problems. The Falling Head – Rising Tail testing apparatus can be reduced the time for testing and increasing the pressure to higher which can be testing with the very low k soil. Thus, the Falling Head – Rising Tail testing apparatus can be used to test the coefficient of permeability of soil.

Keyword : Coefficient of Permeability, Falling Head – Rising Tail, Constant Head, Variable Head

กิตติกรรมประกาศ

การจัดทำงานวิจัยเรื่อง การออกแบบและสร้างชุดทดสอบการซึมผ่านแบบ Falling Head – Rising Tail ซึ่งได้รับการสนับสนุนทุนวิจัยจากมหาวิทยาลัยเทคโนโลยีราชมงคลรัตนโกสินทร์ ประจำปี พ.ศ. 2554 สำเร็จลงได้ด้วยดีทางคณะผู้วิจัยขอขอบคุณ ผู้ให้การสนับสนุนทุนวิจัย นักศึกษาผู้ช่วยวิจัยอันประกอบด้วย นายพชร สายสัมภ์ นายยุทธนา มุณีวรรณ และนายวรทัศน์ ชูสุทธิ์ อาจารย์ในสาขาวิชากระบวนการโยธาที่ให้คำปรึกษาและชี้แนะในการทำวิจัย คุณดาวร เกื้อสกุล เข้าหน้าที่ประจำห้องปฏิบัติการที่ให้ความช่วยเหลือด้านเทคนิคและการใช้เครื่องมือในห้องปฏิบัติการ ตลอดจนครอบครัวของคณะผู้วิจัยที่เคยสนับสนุนและให้กำลังใจเรื่อยมาตลอดการทำวิจัย

สมมาตร สวัสดิ์
จำรัส สมบูรณ์
อาศิส อัยรักษ์



บทที่ 1

บทนำ

มวลดินในสภาพธรรมชาติประกอบด้วยชั้นดินต่างๆ ที่ตอกตะกอนทับถมกัน และมีน้ำใต้ดินหรือน้ำบาดาล (Ground Water Table) อยู่ด้วย ปกติทั่วไประดับของน้ำใต้ดินจะอยู่ต่ำกว่าระดับพื้นผิดิน (Ground Level) และมีแนวโนนกับแนวระดับพื้นผิดิน การเคลื่อนที่หรือการไหลซึมของน้ำในมวลดินมีได้ทั้งแนวอนและแนวตั้ง ซึ่งการเคลื่อนที่ในแนวอนของน้ำในมวลดินเกิดจากความต่างระดับของความดันของน้ำ โดยในลักษณะธรรมชาติน้ำจะไหลจากที่ซึ่งมีความดันสูงกว่าไปยังที่ซึ่งมีความดันต่ำกว่าเสมอ ผ่านช่องว่างระหว่างเม็ดดินซึ่งเรียกว่าคลเดี้ยวไปมาต่อเนื่องกัน ส่วนการเคลื่อนที่สูงหรือต่ำลงของระดับน้ำใต้ดินจะเป็นไปตามปรากฏการณ์ตามธรรมชาติหรือเกิดภาวะน้ำท่วมขัง น้ำจาง ไหลซึมลงไป ซึ่งระดับน้ำใต้ดินจะสูงขึ้น แต่เมื่อมีการสูบน้ำใต้ดินออก ระดับน้ำใต้ดินจะลดลง อัตราการไหลซึมของน้ำจะเร็วหรือช้าขึ้นอยู่กับขนาดของเม็ดดิน อัตราส่วนซึ่งว่างระหว่างเม็ดดิน รูปร่างลักษณะพิเศษของเม็ดดิน ตลอดจนแร่ธาตุประกอบในมวลดิน

1.1 ความเป็นมาและความสำคัญ

ค่าสัมประสิทธิ์การซึมผ่าน (Coefficient of Permeability, Hydraulic Conductivity, k) ของน้ำในดินมีความสำคัญอย่างยิ่งในงานวิศวกรรมโยธา โดยเฉพาะทางด้านวิศวกรรมธรณีเทคนิค (Geotechnical Engineering) ซึ่งจะนำไปใช้ในงาน เช่น ถนน บ่อฝังกลบขยะ บ่อกักเก็บน้ำ งานถนน บด อัด งานขุดดิน อุโมงค์ กำแพงกันดิน เสถียรภาพความราดซัน ซึ่งในการหาค่าสัมประสิทธิ์การซึมผ่านของน้ำในดิน โดยทั่วไปจะทดสอบในห้องปฏิบัติการ โดยเก็บตัวอย่างจากในสนามมาทดสอบ โดยการทดสอบนั้นสามารถแบ่งได้เป็น 2 วิธีหลักๆ คือ การทดสอบแบบความดันคงที่ (Constant Head) และการทดสอบแบบความดันแปรเปลี่ยน (Falling Head หรือ Variable Head) ทั้ง 2 วิธี นั้นมีข้อด้อยของการทดสอบ คือ สามารถให้แรงดันได้น้อย (Pressure Head) เนื่องจากข้อจำกัดของเครื่องมือทดสอบ ไม่สามารถจำลองตัวอย่างดินให้มีสภาพที่เหมือนกับธรรมชาติของดินก่อนการเก็บตัวอย่าง ไม่สามารถควบคุมแรงดันทางด้านทางน้ำออกและทั้ง 2 วิธีนั้น ตัวอย่างดินจะถูกบรรจุอยู่ในเซลล์ทดสอบแบบผนังแข็ง (Rigid Wall) จึงทำให้การไหลของน้ำมีโอกาสที่จะไหลซึมผ่านไปทางด้านข้างของผนังเซลล์ซึ่งว่างระหว่างดินกับผนังเซลล์ ซึ่งจะทำให้ค่าสัมประสิทธิ์การซึมผ่านมีความผิดพลาด คลาดเคลื่อนจากความเป็นจริง

ดังนั้น จึงได้มีแนวความคิดที่จะแก้ปัญหาดังกล่าว โดยการออกแบบและสร้างชุดทดสอบ การซึมผ่านแบบความดันแปรเปลี่ยนหัวท้าย (Falling Head – Rising Tail) โดยชุดทดสอบนี้สามารถแก้ปัญหาที่เกิดกับวิธีทดสอบแบบความดันคงที่และความดันแปรเปลี่ยน เพราะชุดทดสอบแบบ Falling Head – Rising Tail นี้สามารถควบคุมแรงดันได้ทั้งทางน้ำเข้าและทางน้ำออกของตัวอย่าง ดิน สามารถให้แรงดันสูงๆ กับตัวอย่าง ได้ สามารถจำลองสภาพเดินตัวอย่าง ได้ใกล้เคียงกับสภาพในธรรมชาติจริงก่อนเก็บตัวอย่างสามารถตรวจสอบการอิ่มตัวของตัวอย่าง (B Check) เช่นเดียวกับการทดสอบแรงอัดสามแกน (Triaxial Test) และเซลล์บรรจุตัวอย่างจะเป็นแบบพนังอ่อนตัว (Flexible Wall) บรรจุอยู่ในเซลล์รับแรงดัน (Pressure Cell) ซึ่งสามารถอัดแรงดันกอดครั้งด้านข้าง (Confining Pressure) แก่ตัวอย่างดิน ได้จึงทำให้ผนังเซลล์แบบสนิทกับดินป้องการซึมผ่านของน้ำได้ ซึ่งจะทำให้ได้ผลการทดสอบการซึมผ่านของน้ำในดินที่ใกล้เคียงกับดินในธรรมชาติ

1.2 วัตถุประสงค์

- 1.2.1 เพื่อออกแบบและสร้างชุดทดสอบการซึมผ่านของน้ำในดินแบบ Falling Head – Rising Tail
- 1.2.2 เพื่อศึกษาเปรียบเทียบผลการทดสอบค่าการซึมผ่านของน้ำในดินจากชุดทดสอบแบบ Falling Head – Rising Tail กับชุดทดสอบแบบ Constant Head และชุดทดสอบแบบ Falling Head

1.3 ขอบเขต

ทำการออกแบบและสร้างชุดทดสอบการซึมผ่านของน้ำในดินแบบ Falling Head – Rising Tail โดยชุดทดสอบสามารถสร้างแรงดันได้ทั้งด้านทางน้ำเข้าและทางน้ำออกของตัวอย่างทดสอบ ได้สูงสุดไม่น้อยกว่า 700 กิโลนิวตันต่อตารางเมตร (7 bar) หรือสามารถสร้างความสูงของน้ำได้ประมาณ 100 เมตร โดยใช้ปืนลมขนาดไม่น้อยกว่า 1,000 กิโลนิวตันต่อตารางเมตร สำหรับสร้างแรงดันสำหรับเซลล์สามารถบรรจุตัวอย่าง ได้เส้นผ่านศูนย์กลางไม่น้อยกว่า 3.5 มิลลิเมตรพร้อมฐานรองตัวอย่าง (Base Plate) และหัวปิดตัวอย่าง (Top Cap) โดยเซลล์บรรจุตัวอย่างมีวัลว์เปิดปิดควบคุมแรงดันไม่น้อยกว่า 3 วาล์ว สำหรับควบคุมแรงดันภายในเซลล์บรรจุตัวอย่าง (Confining Pressure) สำหรับควบคุมแรงดันทางด้านน้ำเข้า (Falling Head) และควบคุมแรงดันทางด้านน้ำออก (Rising Tail) สำหรับควบคุมแรงดันจะใช้ตัวปรับควบคุมแรงอัตโนมัติ (Regulator) ติดตั้งพร้อมมาตรวัดแรงดัน (Pressure Gauge) ซึ่งสามารถวัดแรงดันได้ไม่น้อยกว่า 700 กิโลนิวตันต่อตารางเมตรจำนวนไม่น้อยกว่า 3 ชุด พร้อมกับชุดวัดการเปลี่ยนแปลงปริมาณน้ำ (Volume Change) จำนวนไม่น้อยกว่า 3 ชุด นอกจากนั้นจะประกอบไปด้วยอุปกรณ์ประกอบ เช่น สายยางทันแรงดัน

สูง แทงติดตั้งอุปกรณ์พร้อมขาตั้งอุปกรณ์ขึ้นด้วยยางบรรจุตัวอย่าง (Rubber Membrane) หินพูน (Porous Stone) และอื่นๆ เมื่อออกแบบและสร้างชุดทดสอบดังกล่าวเสร็จเรียบร้อยแล้วทำการทดสอบหาค่าการซึมผ่านของน้ำในคืนของคืนตัวอย่าง เปรียบเทียบผลทดสอบที่ได้กับผลการทดสอบแบบ Constant Head และแบบ Falling Head

1.4 ขอบเขตของพื้นที่

ศึกษาโดยการสร้างชุดทดสอบแบบ Falling Head-Rising Tail ณ ห้องปฏิบัติการทดสอบปฐพีภัณฑศาสตร์

1.5 ประโยชน์ที่คาดว่าจะได้รับ

1.5.1 ได้ชุดทดสอบการซึมผ่านของน้ำในคืนแบบ Falling Head – Rising Tail สำหรับทดสอบหาค่าการซึมผ่านของน้ำในคืนที่สามารถควบคุมแรงดันทั้งทางน้ำเข้าและทางน้ำออกของตัวอย่างคืน และสามารถลดการซึมของน้ำผ่านทางด้านข้างของผนังเซลล์บรรจุตัวอย่างซึ่งมักจะเกิดกับกรณีที่บรรจุตัวอย่างในเซลล์แบบผنجแข็ง

1.5.2 ได้ชุดทดสอบการซึมผ่านของน้ำในคืนเพื่อการเรียนการสอนในวิชาปฏิบัติการปฐพีภัณฑศาสตร์ สาขาวิชารรมโยธา คณะวิศวกรรมศาสตร์ มหาวิทยาลัยเทคโนโลยีราชมงคลครุฑ์

ศรีวิชัย

1.5.3 เป็นแนวทางในการออกแบบ พัฒนา และสร้างเครื่องมือหรือชุดทดสอบแบบอื่นๆ ต่อไปในอนาคต

บทที่ 2

งานวิจัยและทฤษฎีที่เกี่ยวข้อง

การซึ่งผ่านของน้ำมีความสำคัญต่องานด้านวิศวกรรมโยธาในส่วนที่เกี่ยวกับเขื่อนหรืออ่างเก็บน้ำ การระบายน้ำในดิน ความสามารถรองรับน้ำหนักบรรทุกและการทรุดตัวของดิน เพราะเป็นเหตุให้ความดันของน้ำในมวลดินเกิดการเปลี่ยนแปลงไป ซึ่งมีผลกระทบต่อหน่วยประสิทธิผลในเม็ดดิน และก่อให้เกิดการเปลี่ยนแปลงทั้งปริมาตรและกำลังของดิน

2.1 งานวิจัยที่เกี่ยวข้อง

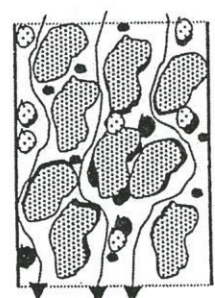
2.1.1 การใช้ทรัพยากรูปแบบเบนโทไนต์และดินเหนียวในชั้นกันซึมของบ่อเก็บน้ำฝน [20]

ธนิต เคลิมยานนท์ (2550) ได้สรุปไว้ว่าคินเนี่ยวนะดั้มก็อกใช้เป็นชั้นกันชีมในสถานที่ฝังกลบมูลฟอย เพื่อลดการเคลื่อนที่ของสารอินทรีย์และอนินทรีย์ในน้ำจะช่วยลดฟอยไม่ให้ไปปนเปื้อนชั้นน้ำได้ดีนักด้านล่าง งานวิจัยนี้ได้ศึกษาศักยภาพของการใช้ทรายผสมสมบูรณ์แบบในที่ฝังกลบมูลฟอยในสถานที่ฝังกลบมูลฟอยและคินเนี่ยว เพื่อเป็นวัสดุในชั้นกันชีมปูพื้นของบ่อฝังกลบมูลฟอยในสถานที่ฝังกลบมูลฟอยสำหรับโลหะหนัก 5 ชนิด อันได้แก่ แแคเมียมตะกั่ว สังกะสี โคโรเมียมและนิกเกิล ผลการศึกษาคุณสมบัติของคินเนี่ยวนะดั้มที่มีความเป็นพลาสติกสูง ส่วนคินลูกรังคองหงส์และคินเนี่ยวนะรีนเคายอ เป็นคินเนี่ยวที่มีความเป็นพลาสติกต่ำ ความสามารถในการแตกเปลี่ยนประจุของเบนโทไนต์สูงกว่าคินเนี่ยวนะรีนเคายอและคินลูกรังคองหงส์ ตามลำดับ การศึกษาคุณสมบัติการดูดติดผิวของคินเดียววิธีการทดสอบแบบเบนช์ พบว่า เบนโทไนต์มีความสามารถในการดูดโลหะหนักมาติดผิวไว้ได้ดีกว่าคินเนี่ยวนะรีนเคายอและคินลูกรังคองหงส์ ตามลำดับ ไอโซเทอมการดูดติดผิวของเบนโทไนต์และคินเนี่ยวนะรีนเคายอสอดคล้องกับสมการ Langmuir ในขณะที่ไอโซเทอมการดูดติดผิวของคินลูกรังคองหงส์ สอดคล้องกับสมการ Freundlich ค่าสัมประสิทธิ์การยอมให้น้ำซึมผ่านของทรายที่ผสมเบนโทไนต์ร้อยละ 3 กีเพียงพอที่จะให้ค่าสัมประสิทธิ์การยอมให้น้ำซึมผ่านน้อยกว่า 1×10^{-7} เมตรต่อวินาที ในขณะที่ค่าสัมประสิทธิ์การยอมให้น้ำซึมผ่านของทรายผสมเบนโทไนต์ที่ ร้อยละ 5 ดินลูกรังคองหงส์และคินเนี่ยวนะรีนเคายอมค่าเท่ากับ 5.15×10^9 , 3.39×10^8 และ 5.67×10^8 เมตรต่อวินาที ตามลำดับ ค่าสัมประสิทธิ์การยอมให้น้ำซึมผ่านของทรายผสมเบนโทไนต์คินลูกรังคองหงส์และคินเนี่ยวนะรีนเคายอมค่า 5.15×10^9 , 3.39×10^8 และ 5.67×10^8 เมตรต่อวินาที ตามลำดับ ค่าสัมประสิทธิ์การยอมให้น้ำซึมผ่านของทรายผสมเบนโทไนต์และคินลูกรังคองหงส์และคินเนี่ยวนะรีนเคายอมค่าเท่ากับ 0.001 ไมครอนสำหรับทรายผสมเบนโทไนต์และคินลูกรังคองหงส์ และไม่เกิน 0.01 ไมครอนสำหรับคินเนี่ยวนะรีนเคายอ ตามลำดับ

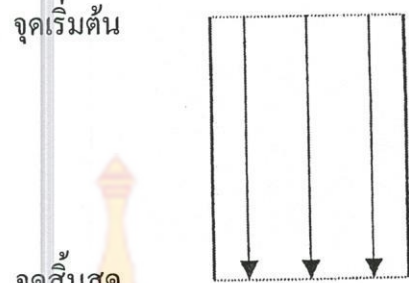
ค่าพารามิเตอร์การเคลื่อนที่ของสารละลายโลหะหนักในดินที่ได้จากการทดสอบแบบสคอมก์ มีค่าดังต่อไปนี้ ทรัพย์สมบูรณ์โภไนต์ที่ ร้อยละ 5 มีค่า Diffusion Coefficient (D) อยู่ในช่วง $1.12 \times 10^{-5} - 1.77 \times 10^{-5}$ ตารางเซนติเมตรต่อวินาที มีค่า Retardation factor (R) อยู่ในช่วง 90 – 130 ดินเหนียวมารีนเกาะชย มีค่า Diffusion Coefficient (D) อยู่ในช่วง $1.80 \times 10^{-7} - 9.14 \times 10^{-7}$ ตารางเซนติเมตรต่อวินาที มีค่า Retardation factor (R) อยู่ในช่วง 37- 81 ดินลูกรังคงองส์มีค่า Diffusion Coefficient (D) อยู่ในช่วง $1.00 \times 10^{-5} - 6.14 \times 10^{-6}$ ตารางเซนติเมตรต่อวินาที โดยมีค่า Retardation factor (R) อยู่ในช่วง 1- 36 ความหมายของขั้นกันซึ่งคำนวณจากค่าพารามิเตอร์การเคลื่อนที่ พบว่า การใช้ทรัพย์สมบูรณ์โภไนต์ที่ ร้อยละ 5 และดินลูกรังคงองส์ สำหรับเป็นขั้นกันซึ่งหนา 60 เซนติเมตร ตามมาตรฐานกระทรวงวิทยาศาสตร์ เทคโนโลยีและสิ่งแวดล้อม (2542) ไม่สามารถลดการปนเปื้อนของสารปนเปื้อนในน้ำระบบน้ำได้ดีในระยะเวลา 100 ปีได้ แต่สำหรับการใช้ดินเหนียวมารีนเกาะชยเพื่อเป็นขั้นกันซึ่ง ที่มีความหนาประมาณ 30 เซนติเมตร จะสามารถลดการปนเปื้อนของสารปนเปื้อนลงสู่สิ่งแวดล้อมในระยะเวลา 100 ปีได้

2.2 ทฤษฎีที่เกี่ยวข้อง

การศึกษาถึงผลกระทบที่เกิดขึ้นเนื่องจากการไหลของน้ำภายในมวลดินธรรมชาติ มีความสำคัญในการศึกษาทางด้านวิศวกรรมโยธาเป็นอย่างมาก โดยเฉพาะอย่างยิ่งงานทางด้านวิศวกรรมธรณีเทคนิค (Geotechnical Engineering) เพราะจะมีผลต่อคุณสมบัติของมวลดิน เราต้องเรียนรู้ถึงวิธีการและลักษณะการไหลของน้ำภายในเสียก่อน เป็นที่ทราบอยู่แล้วว่าช่องว่างระหว่างเม็ดดิน (Voids) ในมวลดินในฯ นั้น สามารถต่อเนื่องถึงกันได้โดยตลอด เมื่อแต่ในดินประเภทเม็ดละเอียด (Fine Grained Soil) ซึ่งช่องว่างระหว่างเม็ดดินมีขนาดเล็กมาก การไหลของน้ำภายในมวลดินธรรมชาติจะไหลเป็นทางคดเคี้ยวไปตามช่องว่างระหว่างเม็ดดิน (Void Channels) จากช่องว่างหนึ่งไปสู่อีกช่องว่างหนึ่งและธรรมชาติของการไหลของน้ำจะพยายามใช้เส้นทางที่สั้นที่สุดในการไหลจากจุดหนึ่งไปยังอีกจุดหนึ่งในมวลดินนั้น ดังในรูปที่ 2.1 ด้วยความเร็วที่เปลี่ยนแปลงไปเรื่อยๆ แล้วแต่นำดของช่องว่างระหว่างเม็ดดินที่น้ำนั้นไหลผ่านอย่างไรก็ตามในทางทฤษฎีเราสมมุติว่า น้ำไหลผ่านมวลดินได้ ในแนวเส้นตรงความเร็วคงที่ระหว่างจุดสองจุดใดๆ ที่กำหนดให้ เมื่อมวลดินที่น้ำไหลผ่านเป็นมวลดินที่มีเนื้อเดียวกัน โดยตลอดหรือเราเรียกว่ามวลดินเนื้อเดียวกัน (Homogeneous Soil)



(ก) การไหลตามธรรมชาติ



(ข) การไหลทางทฤษฎี

รูปที่ 2.1 การไหลของน้ำผ่านช่องว่างของมวลดินระหว่างจุด 2 จุด

2.2.1 ความดันของน้ำ (Heads)

การไหลของเหลวที่เกิดขึ้นระหว่างจุดสองจุดใดๆ มีสาเหตุมาจากการแตกต่างของพลังงาน (Energy) ที่มีอยู่ในของเหลวเมื่อคิดเปรียบเทียบ ณ จุดทึ้งสองจุดนั้น พลังงานที่เกี่ยวข้องกับการไหลของน้ำในดินมีทั้งพลังงานศักดิ์ (Potential Energy) และพลังงาน単位 (Energy per Unit Mass) พลังงานรวมที่มีอยู่ในน้ำ ณ จุดใดๆ ภายในมวลดินเรียกว่า ความดันน้ำรวม (Total Head) สามารถเขียนแสดงในรูปของ Bernoulli's Equation ได้ดังนี้

$$H = h + \frac{u}{\gamma_w} + \frac{V^2}{2g} \quad (2.1)$$

หรือ Total Head = Elevation Head + Pressure Head + Velocity Head

โดยที่ H คือ ความดันน้ำรวม (Total Head)

h คือ ความดันน้ำเนื่องจากระดับแตกต่างกัน (Elevation Head)

u คือ แรงดันน้ำ (Pressure)

v คือ ความเร็วกระแสน้ำ (Velocity)

g คือ แรงโน้มถ่วงของโลก (Acceleration due to Gravity)

γ_w คือ หน่วยน้ำหนักของน้ำ (Unit Weight of Water)

การไหลของน้ำในมวลดินตามปกติแล้วจะเป็นการไหลด้วยความเร็วอ่อนมากเมื่อเปรียบเทียบกับการไหลของน้ำบนผิวดินโดยทั่วไป ดังนั้น ความดันของน้ำเนื่องจากความเร็วกระแสน้ำ (Velocity Head) ซึ่งเป็นส่วนหนึ่งของ Bernoulli's Equation จากระดับแตกต่างกัน (Elevation Head) ของน้ำ ณ จุดใดๆ ในมวลดิน เราจึงสมมุติให้ความดันของน้ำเนื่องจากความเร็วกระแสน้ำ ณ จุดใดๆ ในมวลดินมีค่าเป็นศูนย์โดยไม่มีผลผลกระทบต่อค่าความดันรวม (Total Head) ของน้ำในมวลดิน ณ จุดนั้นๆ เลย ดังนั้น Bernoulli's Equation ในกรณีนี้ จึงได้เขียนได้ในรูปของ

$$H = h + \frac{u}{\gamma_w} \quad (2.2)$$

หรือ $\text{Total Head} = \text{Elevation Head} + \text{Pressure Head}$

เมื่อ H หรือ Total Head ในที่นี้คือ ความดันน้ำใต้ดิน ณ จุดภายนอกพิจารณาภายในมวลดินนั่นเอง

สาเหตุที่ทำให้เกิดการไหลของน้ำจากจุดหนึ่งไปยังอีกจุดหนึ่งในมวลดินซึ่งมีช่องการไหลระหว่างเม็ดดินต่อถึงกันได้ เป็นผลเนื่องมาจากการแปรตัวของความดันรวม (Total Head) ระหว่างจุดสองจุดนั้น โดยน้ำจะไหลจากจุดที่มีค่าความดันน้ำรวมสูงกว่าไปยังจุดที่มีค่าความดันน้ำรวมต่ำกว่า ในขณะที่การไหลของน้ำในมวลดินไม่จำเป็นจะต้องเป็นทางจากจุดที่มีระดับสูงกว่าไปยังจุดที่มีระดับต่ำกว่าเสมอไป เพราะความดันน้ำรวม ณ จุดใดๆ ในมวลดินเป็นผลเนื่องมาจากการดับความสูง (Elevation) และมีความดันน้ำในโพรงดิน (Pore Pressure) ร่วมกัน เมื่อจุดสองจุดใดๆ ในมวลดินมีค่าความดันของน้ำรวมต่างกัน การไหลของน้ำจะเกิดขึ้นในลักษณะที่พยายามไหลผ่านช่องการไหลระหว่างเม็ดดินที่มีระบบทางเดินที่สูตรระหว่างจุดสองจุดนั้นในการคำนวณค่าความดันน้ำเนื่องจากระดับแตกต่างกัน (Elevation Head) และความดันน้ำเนื่องจากความดัน (Pressure Head) นี้จะเป็นการคำนวณในลักษณะเปรียบเทียบจึงจำเป็นจะต้องมีมาตรฐานของการเปรียบเทียบคือ

1) ความดันน้ำเนื่องจากระดับแตกต่างกัน (Elevation Head) จะต้องกำหนดเส้นอ้างอิงทางระดับ (Datum Line) ระดับใดระดับหนึ่งการคำนวณค่าความดันน้ำเนื่องจากระดับแตกต่างกัน ที่เกี่ยวข้องกันทุกริ้งจะต้องใช้เส้นอ้างอิงทางระดับที่อยู่ระดับเดียวกันเสมอ

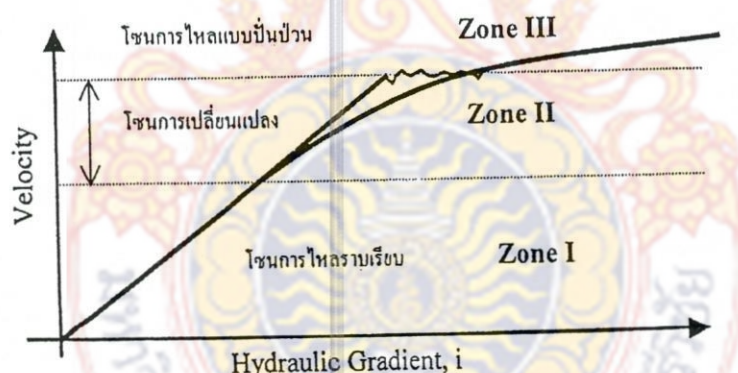
2) ความดันน้ำเนื่องจากความดัน (Pressure Head) โดยปกติกำหนดให้ความดันน้ำเนื่องจากความดัน ณ ระดับผิวน้ำมีค่าเท่ากับศูนย์ใช้เป็นเส้นอ้างอิงทางระดับของความดันน้ำเนื่องจากความดัน ณ ระดับผิวน้ำมีค่าเท่ากับศูนย์ใช้เป็นเส้นอ้างอิงทางระดับของความดันน้ำ

เนื่องจากความดัน ดังนั้นในการวิเคราะห์ปัญหาค่าของความดันน้ำรวม ณ จุดใดๆ จะเปลี่ยนแปลงไปได้ขึ้นอยู่กับระดับที่กำหนดให้เป็นเส้นอ้างอิงทางระดับของความดันน้ำเนื่องจากระดับแตกต่างกัน (Elevation Head) และค่าความดันน้ำรวม (Total Head) ณ จุดใดๆ ในมวลดินจะไม่ใช่ค่าคุณสมบัติสมบูรณ์ (Absolute Property) แต่เป็นเพียงค่าเปรียบเทียบกับเส้นอ้างอิงทางระดับที่กำหนดไว้ท่านน้ำ

โดยทั่วๆ ไปการผันแปรระหว่างความเร็วในการไหลของน้ำ (Velocity, v) กับความลาดชลศาสตร์ (Hydraulic Gradient, i) ดังแสดงในรูปที่ 2.2 จะแบ่งออกได้เป็น 3 โซน คือ

- 1) โซนการไหลราบรื่น (Laminar Flow Zone, Zone I)
- 2) โซนการเปลี่ยนแปลง (Transition Zone, Zone II)
- 3) โซนการไหลแบบปั่นป่วน (Turbulent Flow Zone, Zone III)

ในการไหลนั้นค่า v กับ i จะเป็นสัดส่วนเฉพาะใน Zone I เท่านั้นในดินส่วนใหญ่แล้วการซึมผ่านของน้ำในมวลดินจะไหลช้ามากดังนั้นในการพิจารณาจะเป็นการไหลแบบราบรื่นเท่านั้น



รูปที่ 2.2 ความผันแปรระหว่างความเร็วในการไหลของน้ำ (v) กับความลาดชลศาสตร์ (i)

2.2.2 กฎของดาร์ซี (Darcy's Law)

ดาร์ซี (Darcy) ชาวฝรั่งเศสได้ติดตั้งอุปกรณ์การทดสอบดังในรูปที่ 2.3 เพื่อศึกษาความดันต่างกันและมีระยะทางการไหลภายในต่างกันด้วย ทั้งนี้เพื่อบันทึกปริมาณน้ำที่ไหลผ่านตัวอย่างมวลดินนั้นต่อหนึ่งหน่วยเวลาในการไหลของน้ำแต่ละครั้ง สามารถสรุปได้ว่าการที่น้ำไหลผ่านมวลดินในทิศทางเดียวกัน (One – Dimensional Flow) และตัวอย่างมวลดินที่ใช้ทดสอบอยู่ในสภาพอ้อมตัวตลอดเวลาปริมาณการไหลของน้ำผ่านมวลดิน จะแปรผันไปกับองค์ประกอบสามประการ คือ

ก. ค่าแตกต่างระหว่างจุดสองจุดภายในได้การพิจารณา (Total Head Difference)

ข. พื้นที่หน้าตัดของมวลดินที่น้ำไหลผ่าน

ค. ระยะทางการไหลของน้ำในมวลดิน

ซึ่งควรซึ่สามารถนำมาเขียนเป็นสมการแสดงความสัมพันธ์ได้ดังนี้

$$q \propto \frac{\Delta h}{L} A \quad (2.3)$$

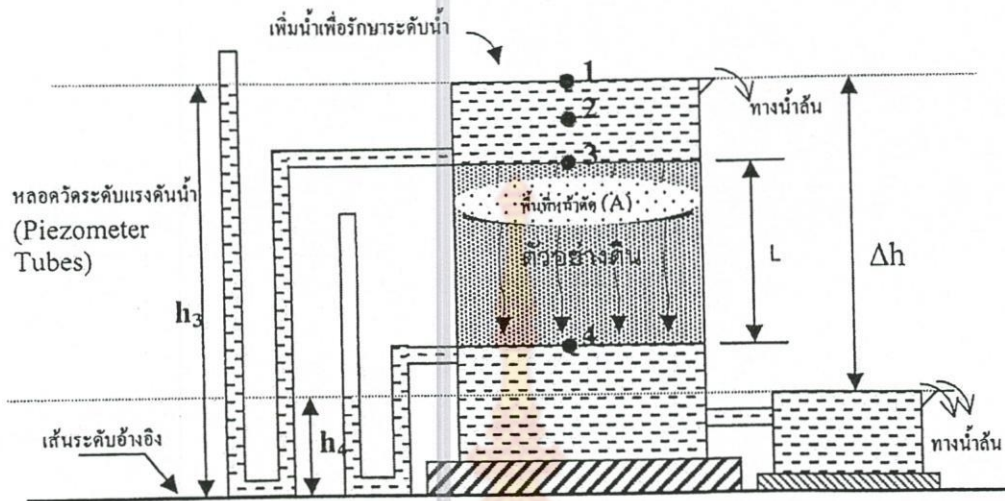
เมื่อ q คือ ปริมาณน้ำที่ไหลผ่านมวลดินในหนึ่งหน่วยเวลา (อัตราการไหลของน้ำ)

A คือ พื้นที่หน้าตัดของตัวอย่างมวลดินบนระนาบที่ตั้งฉากกับทิศทางการไหลของน้ำ

L คือ ระยะทางที่น้ำไหลระหว่างจุดสองจุดสองจุดภายในมวลดิน
ในการทดสอบของ ดาร์ซี นี้ระยะทาง L ก็คือความยาวของตัวอย่างมวลดินที่ใช้
ในการทดสอบแต่ละครั้งนั่นเอง

Δh คือ ความแตกต่างของค่าความดันน้ำรวม (Total Head) ระหว่างจุดที่น้ำไหลเข้าสู่มวล
ดินจุด 3 และจุดที่น้ำไหลออกจากมวลดินจุด 4 จากรูปที่ 2.3 นี้พบว่า

$$\Delta h = (h_3 - h_4)$$



รูปที่ 2.3 เครื่องมือทดสอบการไหลซึมของสารซึ่ง

เมื่อนำมาสมการที่ 2.3 มาวิเคราะห์ต่อไปจะพบว่า

$$q \propto \frac{\Delta h}{L} A$$

$$q \propto \frac{(h_3 - h_4)}{L} A$$

$$q \propto i A$$

$$q = k i A \quad (2.4)$$

เมื่อ i คือ ความลาดชัลศastr (Hydraulic Gradient) ของการไหลของน้ำในมวลดิน
ระหว่างจุดที่ 3 และจุดที่ 4 หรือ

$$i = \frac{(h_3 - h_4)}{L} \quad (2.5)$$

และ k คือ ค่าคงที่ของการแปรผัน เรียกว่า ค่าคงที่ของดารซี (Darcy's Constant) หรือเรียกโดยทั่วไปว่า สัมประสิทธิ์การซึมผ่าน (Coefficient of Permeability) มีหน่วยของระบบทางต่อหนึ่งหน่วยเวลา

หากเราต้องการวิเคราะห์เกี่ยวกับความเร็วของน้ำที่ไหลผ่านมวลดิน เราจะพบว่า เมื่อเราใช้ความสัมพันธ์ $v = \frac{q}{A}$ กับสมการที่ 2.4 จะได้

$$v = ki \quad (2.6)$$

เมื่อ v ในที่นี่ คือ ความเร็วโดยเฉลี่ยของน้ำที่ไหลผ่านมวลดินบนที่หน้าตัดเป็น A (Cross Sectional Area, A) ของมวลดินนั้น แต่การที่น้ำไหลผ่านมวลดินโดยการไหลไปในช่องการไหลระหว่างเม็ดดินมีค่าสูงกว่าความเร็วโดยเฉลี่ยของน้ำที่ไหลผ่านมวลดิน (Approach Velocity, v) ความเร็วของ การไหลของน้ำภายในช่องการไหลระหว่างเม็ดดินภายในมวลดิน สามารถประเมินได้โดยอาศัยกฎการไหลต่อเนื่อง (Law of Continuity) คือ ปริมาณน้ำที่ไหลเข้าสู่การทดสอบเท่ากับปริมาณน้ำที่ไหลผ่านช่องการไหลระหว่างเม็ดดินในมวลดินเท่ากับปริมาณน้ำที่ไหลออกจากการทดสอบ ในหนึ่งหน่วยเวลาเดียวกัน หรือ

$$q_{in} = vA = v_s A_v = q_{out} \quad (2.7)$$

เมื่อ v_s คือความเร็วของน้ำที่ไหลผ่านช่องการไหลระหว่างเม็ดดินภายในมวลดิน โดยที่พื้นที่หน้าตัดของช่องการไหลระหว่างเม็ดดินบนพื้นที่หน้าตัดของตัวอย่างดินทั้งหมดมีค่า A_v ค่า A_v นี้ถือว่าเป็นค่าเฉลี่ยเท่ากันตลอดความยาว L ของตัวอย่างดิน หรือ มวลดินภายในช่องการพิจารณา v_s นี้เรียกว่า ความเร็วการซึมผ่าน (Seepage Velocity) เมื่อวิเคราะห์สมการที่ 2.7 พบว่า

$$v_s = v \frac{A}{A_v} = v \frac{AL}{A_v L} = v \frac{V}{V_v} = v \frac{1}{n}$$

$$v_s = \frac{ki}{n} \quad (2.8)$$

โดยที่ L คือ ระยะที่นำไอลผ่านมวลดิน หรือความยาวของตัวอย่างมวลดิน

ดังในรูปที่ 2.3

AL คือ ปริมาตรรวมของตัวอย่างมวลดิน (V)

$A_v L$ คือ ปริมาตรของช่องว่างระหว่างเม็ดดินที่มีอยู่ในตัวมวลดินนั้น

หรือ อีกนัยหนึ่ง คือ ปริมาตรของช่องว่างการไอลระหว่างเม็ดดินภายในตัวอย่างมวลดิน (V_v)

$\frac{V_v}{V}$ คือ ความพรุน (Porosity, n) ของตัวอย่างมวลดิน

v คือ ki จากสมการที่ 2.6

จากสมการที่ 6 เราสามารถให้คำจำกัดความของสัมประสิทธิ์การซึมผ่าน (Coefficient of Permeability, k) ได้ว่าเป็นอัตราการไอลของน้ำผ่านหนึ่งหน่วยพื้นที่ของมวลดิน ภายในหนึ่งหน่วยเวลา ค่าความลาดชลศาสตร์ (Hydraulic Gradient, i) มีหน่วยเป็นหน่วยของความเร็ว เช่น เซนติเมตรต่อวินาที หรือ เมตรต่อวัน เป็นต้น ค่าสัมประสิทธิ์การซึมผ่านนี้มิใช่ คุณสมบัติที่คงที่ของมวลดินใดๆ สามารถเปลี่ยนแปลงไปได้ขึ้นอยู่กับ

ก. ความพรุนของมวลดิน

ข. ขนาดและลักษณะช่องว่างระหว่างเม็ดดินซึ่งประกอบกันขึ้นเป็นช่องการไอลระหว่างเม็ดดิน (Flow Channels) ภายในมวลดิน

ค. ความหนาแน่น และความหนืด (Viscosity) ของของเหลว

ดังนั้นมวลดินซึ่งประกอบไปด้วยเม็ดดินชนิดเดียวกันสามารถที่จะมีค่าสัมประสิทธิ์การซึมผ่าน แตกต่างกันได้โดยปกติแล้วมวลดินธรรมชาติจะประกอบไปด้วยชั้นดินต่างๆ กันแต่ละชั้นมีคุณสมบัติทางกายภาพและทางวิศวกรรมไม่เหมือนกันหรือมีลักษณะนี้ๆ อาจเป็นมวลดินประเภทเดียวกันที่มีคุณสมบัติภายในแตกต่างกัน เหตุเหล่านี้สามารถทำให้ค่าสัมประสิทธิ์การซึมผ่านของมวลดินนั้นๆ เปลี่ยนแปลงไปได้มาก ที่เห็นได้ชัด คือ มวลดินชนิดเดียวกันซึ่งอยู่ลึกจากผิวดินลงไปจะมีความหนาแน่นสูงขึ้น มีผลให้ช่อง隙ระหว่างเม็ดดินของน้ำในมวลดินแคบและมีปริมาณน้อยลง ทำให้น้ำไหลผ่านมวลดินที่ระดับลึกๆ ในประเทศไทยกว่าการไหลผ่านมวลดินในส่วนที่อยู่บน ระดับใกล้ผิวดิน นอกจากนี้ การจัดตัวของเม็ดดินในทิศทางต่างๆ เช่น ในแนวราบ และในแนวตั้ง ก็ขึ้นแตกต่างกันออกไป หรือ การที่มวลดินมีลักษณะไม่เหมือนกันทุกทิศทาง (Anisotropic Soils) ทำให้ค่าสัมประสิทธิ์การซึมผ่าน ณ จุดใดๆ ในมวลดินมีค่าแตกต่างกันไปด้วยเมื่อทิศทางการไหลของน้ำเปลี่ยนแปลงไป ดังนั้น เพื่อมให้เกิดความยุ่งยากเกินความจำเป็นในการวิเคราะห์ปัญหาเกี่ยวกับการไหลของน้ำในมวลดินค่าสัมประสิทธิ์การซึมผ่านที่นำมาใช้ปกติจะถือเป็นค่าเฉลี่ยของค่าสัมประสิทธิ์การซึมผ่านของมวลดินภายใต้การพิจารณาในทุกทิศทางและตลอดระยะเวลาความลึกที่เกี่ยวข้อง เรียกว่า ค่าสัมประสิทธิ์การซึมผ่านเทียบเท่า (Equivalent Coefficient of Permeability) หรือ อีกนัยหนึ่งเป็นการสมมุติว่ามวลดินที่พิจารณาอยู่นั้นมีสภาพเป็นเด่นเนื้อเดียวกันและเหมือนกันทุกทิศทาง (Homogeneous Isotropic Soils) สมมุติฐานนี้จะนำมาใช้ได้ในกรณีที่ค่าสัมประสิทธิ์การซึมผ่านในมวลดินนั้น ไม่แตกต่างกันมากนัก ไม่ว่าจะเป็น ณ จุดใดในมวลดินหรือในทิศทางใดก็ตาม

2.2.3 การทดสอบค่าสัมประสิทธิ์การซึมผ่านของมวลดินในห้องปฏิบัติการ

ค่าสัมประสิทธิ์การซึมผ่าน (Coefficient of Permeability, k) ของมวลดินชนิดต่างๆ ที่นำมาใช้ในการคำนวณโดยปกติจะได้มาจากการทดสอบประกอบกับการวิเคราะห์ผลทางทฤษฎีการทดสอบเพื่อประเมินค่าสัมประสิทธิ์การซึมผ่านของมวลดินมีทั้งการทดสอบในห้องปฏิบัติการนี้ เป็นการทดสอบอย่างง่าย โดยสมมุติให้การไหลของน้ำผ่านตัวอย่างมวลดินเป็นการไหลแบบมิติเดียว (One – Dimensional Flow) ซึ่งหมายความว่าจะทำการทดสอบกับมวลดินจากแหล่งเดียว ประเภทเดียวเดียวกัน (Homogeneous Soil) ที่มีการไหลของน้ำในทิศทางเดียวโดยตลอดตัวอย่างมวลดินที่ใช้ในการทดสอบถ้าจะให้ได้ผลที่ใกล้เคียงกับความเป็นจริงควรเป็นตัวอย่างประเภทไม่ถูก擾乱 (Undisturbed Sample) แต่ถ้าเป็นดินที่มีรายปานมากหรือเป็นรายล้วนๆ การทำตัวอย่างขึ้นใหม่โดยใช้แบบ (Remolded Sample) จึงในห้องปฏิบัติการโดยให้มีคุณสมบัติต่างๆ

ใกล้เคียงกับสภาพของมวลดินที่ต้องการทำการทำทดสอบมากที่สุดก็สามารถใช้ทำการทดสอบได้ การทดสอบเพื่อประเมินค่าสัมประสิทธิ์การซึมผ่านในห้องปฏิบัติการที่เป็นวิธีการโดยตรง (Direct Method) และนิยมใช้อุปกรณ์ในปัจจุบัน มี 2 วิธี คือ วิธีความดันน้ำคงที่ (Constant Head) และวิธีความดันน้ำเปลี่ยน (Falling Head หรือ Variable Head) ส่วนวิธีการทางอ้อม (Indirect Method) สามารถทำการทดสอบได้โดยใช้การทดสอบอัดตัวอย่างน้ำ (Consolidation Test) กับตัวอย่างมวลดิน ซึ่งนิยมใช้ทำการทดสอบกับมวลดินที่มีค่าสัมประสิทธิ์การซึมผ่านต่ำหรือมวลดินที่มีคุณสมบัติให้ใกล้เคียงกับดินประเทืองน้ำ (Impermeable Soil) วิธีการโดยตรงทั้งสองวิธีที่จะกล่าวถึงในที่นี้เป็นที่นิยมใช้ทำการทดสอบกับมวลดินที่มีค่าสัมประสิทธิ์การซึมผ่านสูงถึงปานกลางหรือมวลดินที่จัดให้เป็นประเทืองดินที่น้ำสามารถซึมผ่านได้ (Permeable Soil)

ตาราง 2.1 ค่าทั่วไปของสัมประสิทธิ์การซึมผ่านของน้ำในดิน [19]

| ชนิดของดิน | ค่า k (เซนติเมตรต่อวินาที) |
|---------------------------------|------------------------------|
| กรวด | $1 - 10^2$ |
| กรวดเม็ดละเอียด, รายหยาบ | $1 - 10^{-3}$ |
| รายละเอียดและซิลท์อัดไม่แน่น | $10^{-3} - 10^{-5}$ |
| ซิลท์อัดแน่นและซิลท์ปนดินเหนียว | $10^{-5} - 10^{-6}$ |
| ดินเหนียวปนซิลท์และดินเหนียว | $10^{-6} - 10^{-9}$ |

2.2.4 วิธีความดันคงที่ (Constant Head)

เป็นการทดสอบโดยใช้เครื่องมือที่เรียกว่า ชุดการทดสอบความสามารถซึ่งผ่านแบบความดันคงที่ ซึ่งมีลักษณะวิธีการทดสอบคล้ายกับวิธีการและอุปกรณ์ของคาร์ซี ลักษณะสำคัญของการทดสอบ คือ การปล่อยให้น้ำไหลผ่านตัวอย่างดินเพื่อทำการวัดค่าอัตราการไหล (Flow Rate, q) แต่ละครั้ง ภายใต้ความดันคงที่ (Constant Head) ระหว่างจุดสองจุดใดๆ ในมวลดิน (จุด A และ B ในรูปที่ 2.4) เมื่อทำการบันทึกปริมาตรของน้ำที่ไหลผ่านออกมากจากชุดทดสอบการซึ่งผ่านในช่วงระยะเวลาที่กำหนดไว้แล้วสามารถคำนวณหาค่าสัมประสิทธิ์การซึ่งผ่าน (Coefficient of Permeability, k) ได้จากสมการที่ 2.9

$$k = \frac{QL}{tA \Delta h} = \frac{q}{A} i \quad (2.9)$$

เมื่อ Q คือ ปริมาตรของน้ำที่ไหลผ่านออกมากจากชุดทดสอบการซึ่งผ่านในระยะเวลา

$$t(Q = q \times t)$$

t คือ ช่วงระยะเวลาที่กำหนดไว้สำหรับการทดสอบแต่ละครั้ง

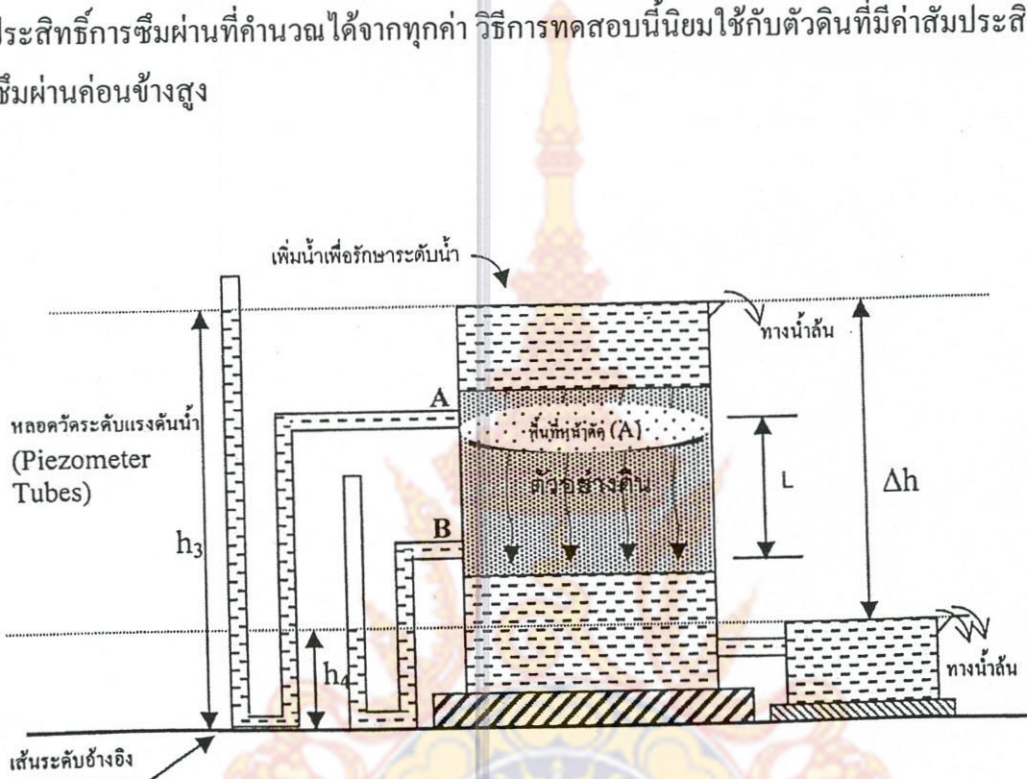
A คือ พื้นที่หน้าตัดของตัวอย่างดินที่น้ำไหลผ่าน

L คือ ระยะทางระหว่างจุดสองจุดใดๆ ภายใต้การพิจารณาในมวลดิน

Δh คือ ค่าความแตกต่างของความดันน้ำรวม (Total Head) ระหว่างจุดสองจุดระยะทาง L
ในมวลดินนี้

การทดสอบเพื่อประเมินค่าสัมประสิทธิ์การซึ่งผ่านของมวลดินโดยวิธีนี้ ในขณะที่ทำการทดสอบเพื่อบันทึกอัตราการไหลของน้ำ มวลดินจะต้องอยู่ในสภาพอิ่มตัวเพื่อให้การไหลของน้ำผ่านตัวอย่างมวลดินเป็นไปในลักษณะการไหลคงที่ (Steady Flow) และจะต้องรักษาระดับน้ำในอ่างน้ำขึ้นบนให้คงที่อยู่ตลอดเวลาการทดสอบ (Constant Level) การทดสอบอาจทำได้หลายครั้งโดยเปลี่ยนแปลงระดับน้ำในอ่างน้ำขึ้นบนเพื่อให้ค่า Δh แตกต่างกันไปในการบันทึกอัตราการไหลของน้ำแต่ละครั้งหรืออาจเปลี่ยนแปลงระยะ L ระหว่างจุดสองจุดภายใต้การพิจารณา

ในมวลดินตัวอย่าง รวมทั้งเปลี่ยนแปลงระยะเวลา t ที่กำหนดไว้เป็นช่วงเวลาสำหรับน้ำที่ก่อปริมาณการไหลของน้ำผ่านตัวอย่างมวลดิน ค่าสัมประสิทธิ์การซึมผ่านของตัวอย่างมวลดินที่คำนวณได้จากการทดสอบแต่ละครั้งอาจเปลี่ยนไปได้ แต่ค่าที่จะนำไปใช้ควรจะเป็นค่าเฉลี่ยของค่าสัมประสิทธิ์การซึมผ่านที่คำนวณได้จากทุกค่า วิธีการทดสอบนี้นิยมใช้กับตัวดินที่มีค่าสัมประสิทธิ์การซึมผ่านค่อนข้างสูง



รูปที่ 2.4 ชุดทดสอบการซึมผ่านแบบความดันน้ำคงที่

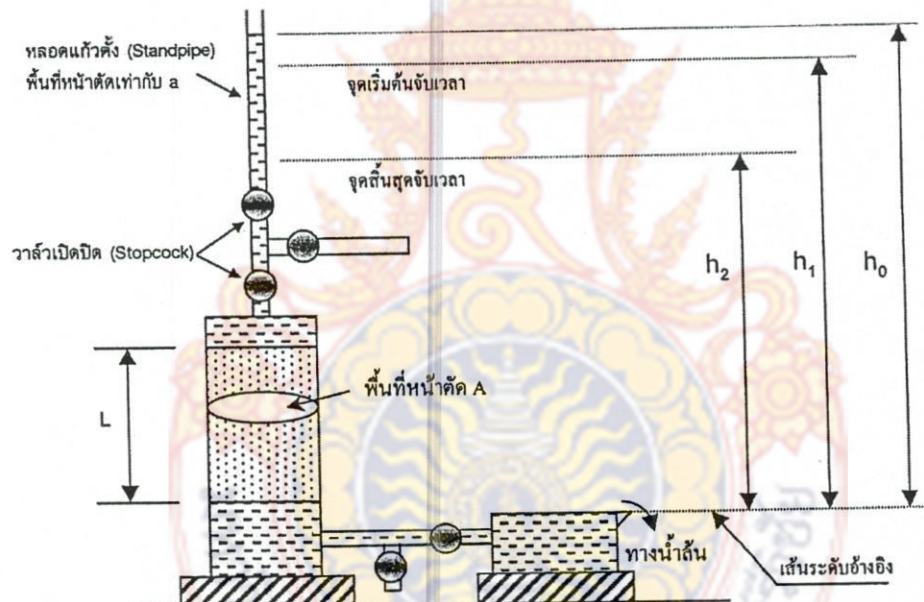
2.2.5 วิธีความดันแปรเปลี่ยน (Falling Head หรือ Variable Head)

วิธีนี้ใช้เครื่องมือในการทดสอบเรียกว่า ชุดทดสอบการซึมผ่านแบบความดันแปรเปลี่ยน (Variable Head Permeameter) ซึ่งมีลักษณะการจัดตั้งอุปกรณ์ดังแสดงในรูปที่ 2.5 เมื่อเริ่มต้นการทดสอบตัวอย่างมวลดินจะต้องอยู่ในสภาพอิ่มตัวและมีน้ำในหลอดแก้วตั้ง (Stand Pipe) มากพอที่ใช้ทำการทดสอบแต่ละครั้ง ได้โดยต่อเนื่องกัน เริ่มทำการทดสอบโดยเปิดวาล์วเปิดปิด ให้น้ำจากหลอดแก้วตั้ง ไหลซึมผ่านตัวอย่างมวลดินจนสังเกตเห็นได้ว่าระดับน้ำในหลอดแก้วตั้งลดลงด้วยอัตราความเร็วคงที่ แล้วจึงอ่านค่าระดับน้ำในหลอดแก้วตั้ง ที่ระดับ h_1 พร้อมๆ กับบันทึกเวลาจากนาฬิกาจับเวลา t_1 ปล่อยให้น้ำไหลผ่านตัวอย่างมวลดินต่อไปช่วงระยะเวลาหนึ่ง แล้วบันทึกค่า

ระดับน้ำในหลอดแก้วตั้งที่ระดับ h_2 พร้อมๆ กับบันทึกเวลา t_2 จากนาฬิกาจับเวลา ในการทดสอบนี้จะเห็นได้ว่าเมื่อเวลาที่การไหลของน้ำเพิ่มขึ้นค่าความแตกต่างของความดันของน้ำรวมที่ดันให้น้ำไหลผ่านตัวอย่างมวลคินจะลดลงและปริมาตรอน้ำที่ไหลผ่านมวลคินออกไปจากชุดทดลองการซึ่งผ่าน คือปริมาตรอน้ำที่ลดลงในหลอดแก้วตั้งนั้นเอง เมื่อให้ a เป็นพื้นที่หน้าตัดภายในของหลอดแก้วตั้ง ปริมาตรของน้ำที่ไหลผ่านตัวอย่างมวลคินในช่วงเวลา dt ใดๆ Q จะมีค่าเท่ากับ $-a dh$

เมื่อ dh คือ ระยะที่ระดับน้ำลดลงในหลอดแก้วตั้งในช่วงเวลา dt และมีค่าเป็นลบ

$$q \quad \text{คือ อัตราการไหลของน้ำผ่านตัวอย่างมวลคิน (Flow Rate) จะเท่ากับ } -a \frac{dh}{dt}$$



รูปที่ 2.5 ชุดทดสอบการซึ่งผ่านแบบความดันแปรเปลี่ยน

โดยอาศัยสมการที่ 2.5 และสมการที่ 2.6 พบร่วม

$$v = \frac{q}{A} = k i \quad (2.10)$$

ดังนั้น

$$-\frac{a}{A} \frac{dh}{dt} = k \frac{h}{L}$$

$$-\frac{dh}{h} = \frac{Ak}{aL} dt$$

$$-\int_h^{h_2} \frac{dh}{h} = \frac{Ak}{aL} \int_1^2 dt$$

$$-\ln \frac{h_2}{h_1} = \frac{Ak}{AL} (t_2 - t_1)$$

$$\ln \frac{h_1}{h_2} = \frac{Ak}{aL} t \quad \text{เมื่อ } t = (t_2 - t_1)$$

$$k = \frac{aL}{At} \ln \frac{h_1}{h_2} \quad (2.10a)$$

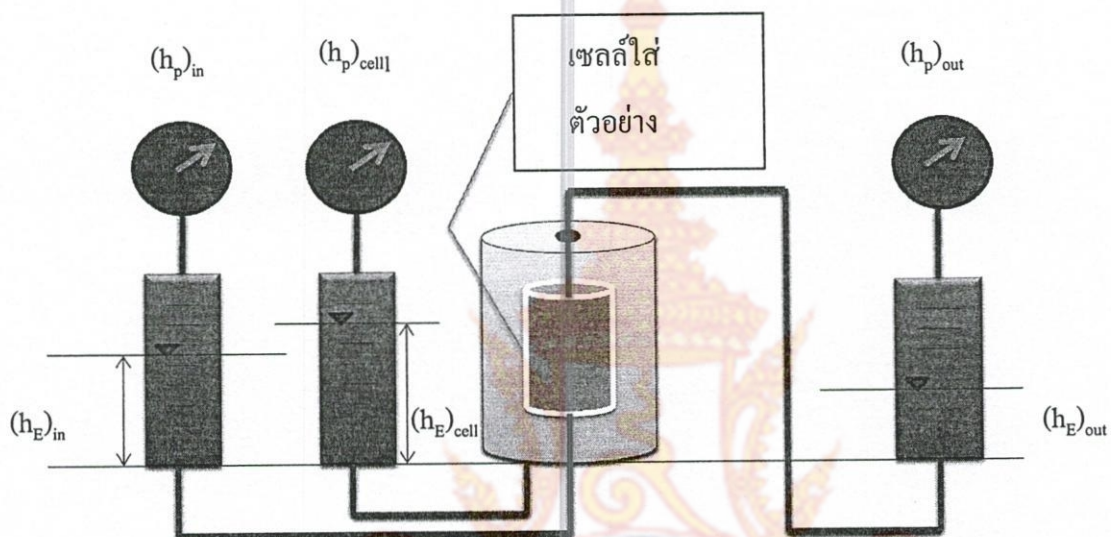
หรือ

$$k = 2.3 \frac{aL}{At} \log \frac{h_1}{h_2} \quad (2.10b)$$

วิธีการทดสอบนี้ หมายความว่าที่จะใช้กับตัวอย่างมวลคินซึ่งมีเม็ดคินประภากเม็ดละเอียด (Fine Grain Soils) ปนอยู่มากพอประมาณ หรือ ตัวอย่างคินที่ไม่ถูก擾乱 (Undisturbed Soil Samples) มีค่าสัมประสิทธิ์การซึมผ่านปานกลางจนถึงค่อนข้างต่ำ

2.2.6 การซึ่มผ่านของน้ำในคินแบบ (Falling Head – Rising Tail)

จากการทดลองของชุดทดสอบการซึ่มผ่านของน้ำในคินแบบ (Falling Head – Rising Tail) วิธีนี้ใช้หาค่า k หรือ ค่าสัมประสิทธิ์การซึ่มผ่านของน้ำในคิน จากการทดลองได้ค่า ดังนี้



รูปที่ 2.6 ชุดทดสอบการซึ่มผ่านของน้ำในคินแบบ Falling Head – Rising Tail

การคำนวณการซึ่มผ่านของน้ำในคินแบบ Falling Head – Rising Tail

$$k = \frac{a_{in} a_{out} L}{A(t_2 - t_1)(a_{in} + a_{out})} \ln\left(\frac{\Delta h_1}{\Delta h_2}\right) \quad (2.11)$$

$$\Delta h_1 = [(h_E + h_p)_{in} - (h_E + h_p)_{out}] \text{ at } t_1 \quad (2.11a)$$

$$\Delta h_2 = [(h_E + h_p)_{in} - (h_E + h_p)_{out}] \text{ at } t_2 \quad (2.11b)$$

ค่าที่ใช้ในการคำนวณ Falling Head – Rising Tail

k คือ Coefficient of Permeability

h_E คือ Elevation Head

h_P คือ Pressure Head

a_{in} คือ พื้นที่หน้าตัดของหลอด Stand Pipe ของน้ำเข้า (Head Pressure)

a_{out} คือ พื้นที่หน้าตัดของหลอด Stand Pipe ของน้ำออก (Tail Pressure)

A คือ พื้นที่หน้าตัดของคินตัวอย่าง

L คือ ความยาวของตัวอย่างคิน

t_1 คือ เวลาเริ่มทดสอบ

t_2 คือ เวลาหลังทดสอบ

บทที่ 3

วิธีการดำเนินโครงการ

3.1 แผนการดำเนินงาน

การออกแบบและสร้างชุดทดสอบการซึ่งผ่านของน้ำในดินแบบ Falling Head – Rising Tail

มีแผนการดำเนินงานดังแสดงตาราง 3.1

ตาราง 3.1 แผนการดำเนินงานการสร้างชุดทดสอบการซึ่งผ่านของน้ำในดินแบบ Falling Head – Rising Tail

| | | กันยายน 2555 | ตุลาคม 2555 | พฤศจิกายน 2555 | ธันวาคม 2555 | มกราคม 2556 | กุมภาพันธ์ 2556 |
|----------------------------------|---|-----------------|----------------|-------------------|-----------------|----------------|--------------------|
| กิจกรรมที่ 1 เก็บข้อมูล | P | — | | | | | |
| | A | | | | | | |
| กิจกรรมที่ 2 ออกแบบ | P | — | | | | | |
| | A | | | | | | |
| กิจกรรมที่ 3 ตัดเหล็ก | P | | — | | | | |
| | A | | | | | | |
| กิจกรรมที่ 4 ประกอบตาม แบบ | P | | | — | | | |
| | A | | | | | | |
| กิจกรรมที่ 5 ติดตั้งชุดทดสอบ | P | | | — | | | |
| | A | | | | | | |
| กิจกรรมที่ 6 ทำการทดสอบ | P | | | | — | | |
| | A | | | | | | |
| กิจกรรมที่ 7 สรุปผล | P | | | | | | — |
| | A | | | | | | |

แสดงแผนการดำเนินงาน (Plan)

.....
แสดงการดำเนินงานจริง (Action)

3.2 วิธีการดำเนินงาน

3.2.1 ศึกษาข้อมูลและรายละเอียดและการทำงานของชุดทดสอบการซึมผ่านของน้ำในคืน

แบบ Falling Head – Rising Tail

3.2.2 ออกรูปแบบสำหรับสร้างชุดทดสอบการซึมผ่านของน้ำในคืนแบบ Falling Head –

Rising Tail

3.2.3 จัดหาวัสดุและอุปกรณ์ที่จะใช้ในการสร้างชุดทดสอบการซึมผ่านของน้ำในคืนแบบ

Falling Head – Rising Tail

3.2.4 ทดสอบการทำงานของชุดทดสอบการซึมผ่านของน้ำในคืนแบบ Falling Head –

Rising Tail

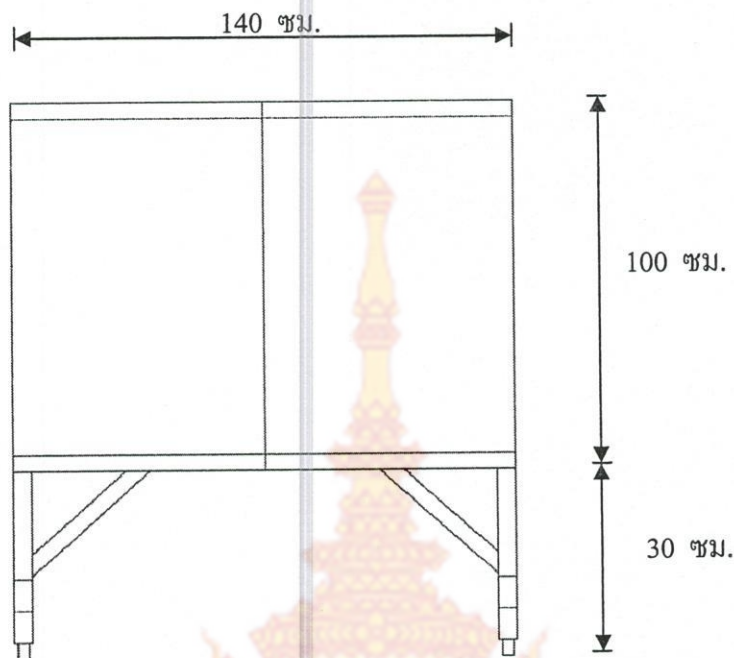
3.2.5 ทดสอบเปรียบเทียบผลการทดสอบหาค่าการซึมผ่านของน้ำในคืนแบบ Falling Head

– Rising Tail กับการทดสอบแบบ Constant Head และ แบบ Falling Head

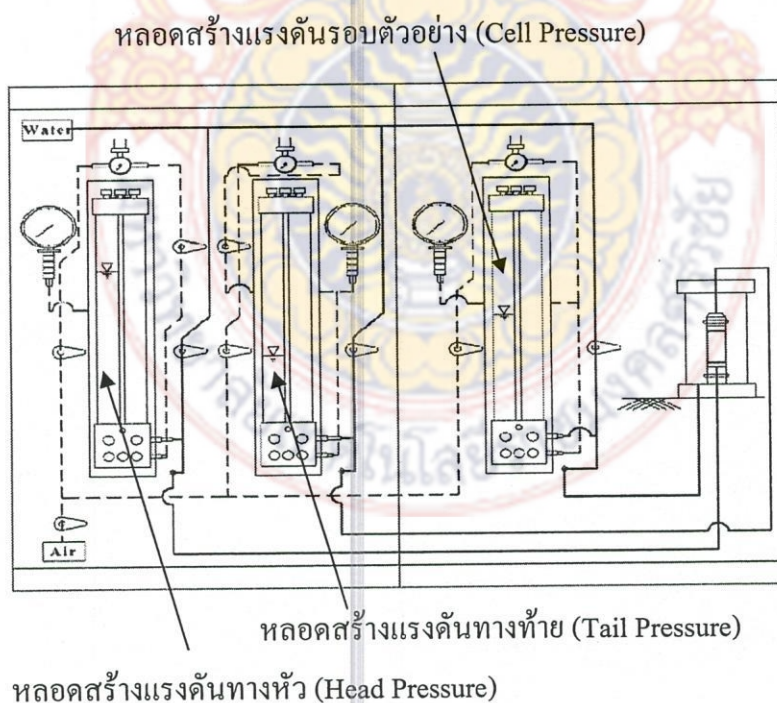
3.2.6 วิเคราะห์ผลที่ได้ สรุปผลการวิจัย และจัดทำเล่มรายงานวิจัยฉบับสมบูรณ์ พร้อมทั้ง
เผยแพร่ผลงานวิจัย

3.3 การออกแบบอุปกรณ์ที่ใช้ในการทดสอบ

รูปแบบของชุดทดสอบการซึมผ่านของน้ำในคืนแบบ Falling Head – Rising Tail จะคล้ายกับชุดทดสอบแบบ Constant Head และชุดทดสอบแบบ Falling Head ในห้องปฏิบัติการปฐพี กลศาสตร์ ที่เราเห็นทั่วไป การออกแบบชุดทดสอบการซึมผ่านของน้ำในคืนแบบ Falling Head – Rising Tail ได้ออกแบบเป็นบอร์ด (Board) สามารถเคลื่อนย้ายได้เพื่อจ่ายต่อการทดสอบและสังเกตพฤติกรรมของคืน และง่ายต่อการทำความสะอาดชุดการทดลองนี้จะเป็นบอร์ด ซึ่งมีความกว้าง 140 เซนติเมตร สูง 130 เซนติเมตร ดังที่แสดงอยู่ในรูปที่ 3.1 และ 3.2



รูปที่ 3.1 บอร์ด (Board)



รูปที่ 3.2 ตำแหน่งของหลอดสร้างแรงดันของชุดทดสอบ Falling Head – Rising Tail

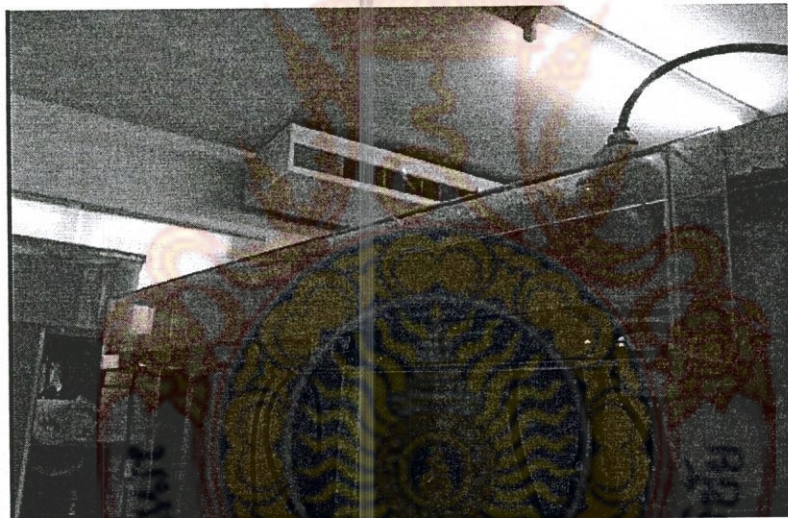
3.4 ทดสอบหาคุณสมบัติพื้นฐานทางวิศวกรรมของวัสดุ

นำตัวอย่างดินที่ต้องการไปหาคุณสมบัติพื้นฐานทางวิศวกรรมของดิน เช่น ทดสอบค่าความหนาแน่น (Density) ทดสอบค่าหน่วยน้ำหนัก (Unit Weight) หาปริมาตร (Volume) ของตัวอย่างดิน และอัตราส่วนช่องว่างระหว่างเม็ดดิน (Void Ratio)

3.5 อุปกรณ์และเครื่องมือที่ใช้ทดสอบ

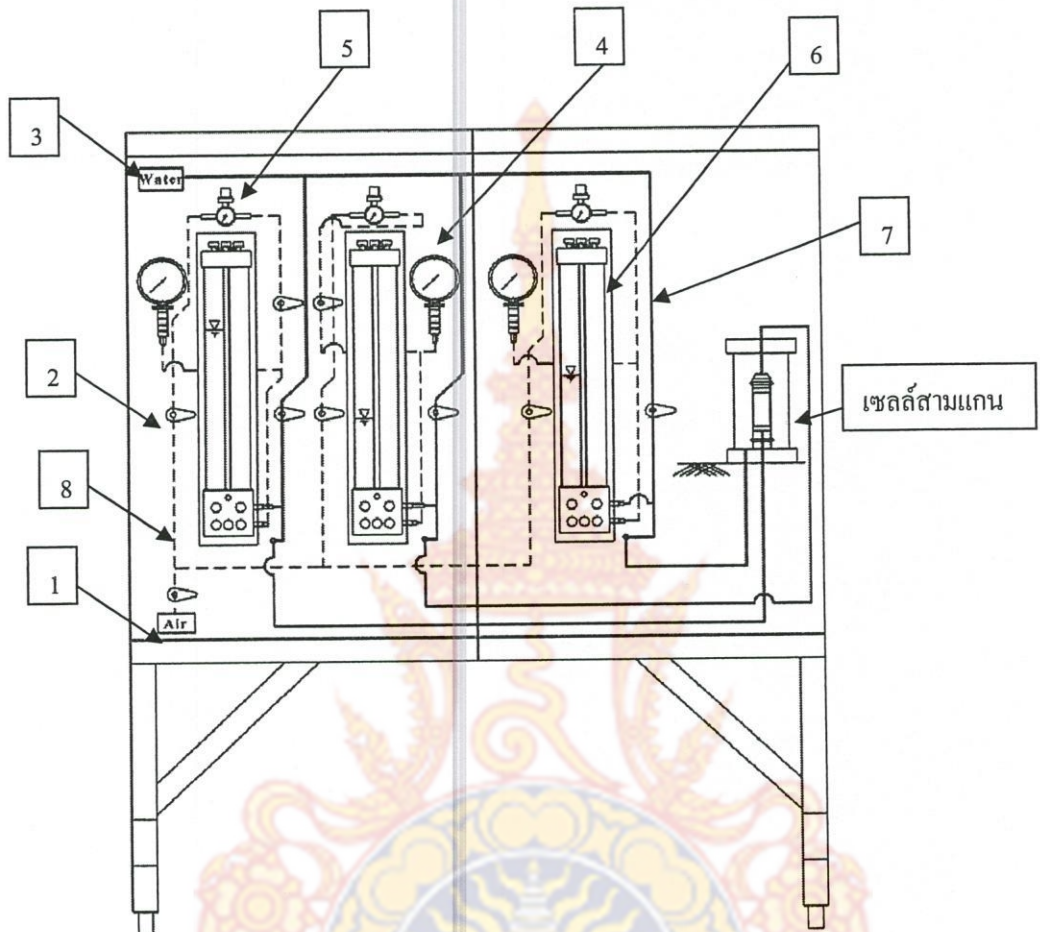
อุปกรณ์และเครื่องมือที่ใช้ในการทดสอบการซึมผ่านของน้ำในดินแบบ Falling Head – Rising Tail ประกอบด้วยอุปกรณ์ต่างๆ ดังนี้

- 1) ถังเก็บน้ำ (Water Tank)



รูปที่ 3.3 ถังเก็บน้ำ (Water Tank)

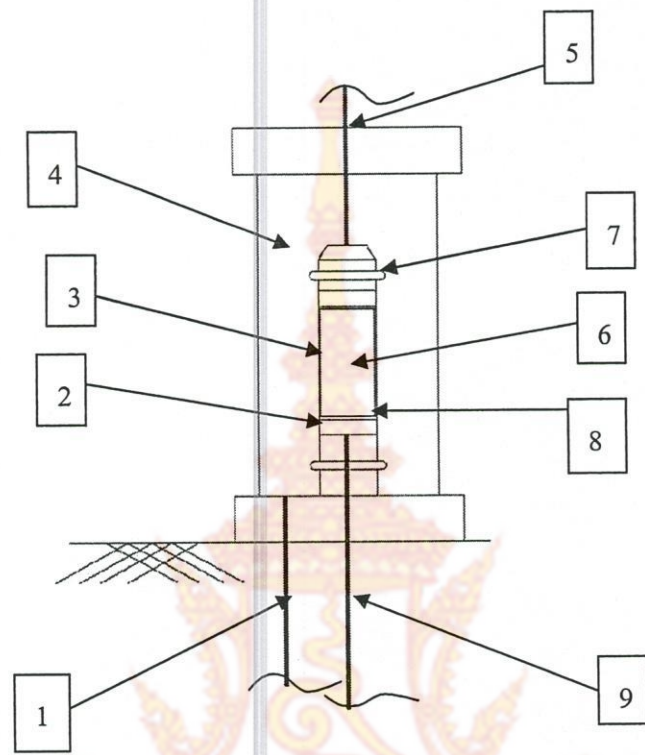
2) ชุดการทดสอบการซึมผ่านของน้ำในดินแบบ Falling Head – Rising Tail



รูปที่ 3.4 อุปกรณ์ประกอบชุดทดสอบ Falling Head – Rising Tail

1. ทางเข้าอากาศต่อจากปั๊มลม (Air)
2. วาล์วเปิด – ปิด (Valve)
3. ทางเข้าน้ำต่อจากถังด้านหลัง (Water)
4. เกจวัดแรงดัน (Pressure Gauge)
5. ตัวควบคุมแรงดัน (Regulator)
6. หลอดเก็บบรรจุน้ำ (Twin Burette)
7. เส้นทางเดินน้ำ (Water Line)
8. เส้นทางเดินอากาศ (Air Line)

3) เซลล์สามแกน (Triaxial Cell)



รูปที่ 3.5 เซลล์สามแกน (Triaxial Cell)

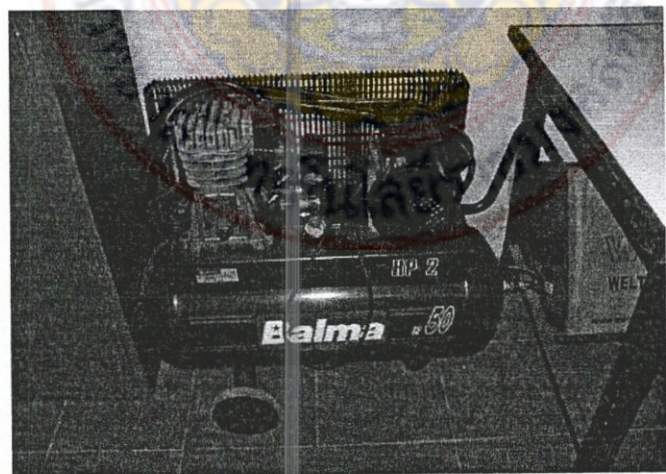
1. แรงดันรอบตัวอย่าง (Cell Pressure)
2. หินพรุน (Porous Stone)
3. ปลอกยาง (Rubber Membrane)
4. น้ำรอบตัวอย่าง (Water)
5. แรงดันทางท้าย (Tail Pressure)
6. ดินตัวอย่าง (Soil Sample)
7. ยางวงแหวน (O ring)
8. กระดาษกรอง (Filter Paper)
9. แรงดันทางหัว (Head Pressure)

5) อุปกรณ์และวัสดุต่างๆ ในการเตรียมตัวอย่าง เช่น ตัวถ่างยางวงแหวน หินพรุน กระดาษกรอง ปลอกยาง และยางวงแหวน



รูปที่ 3.6 อุปกรณ์และวัสดุในการเตรียมตัวอย่าง

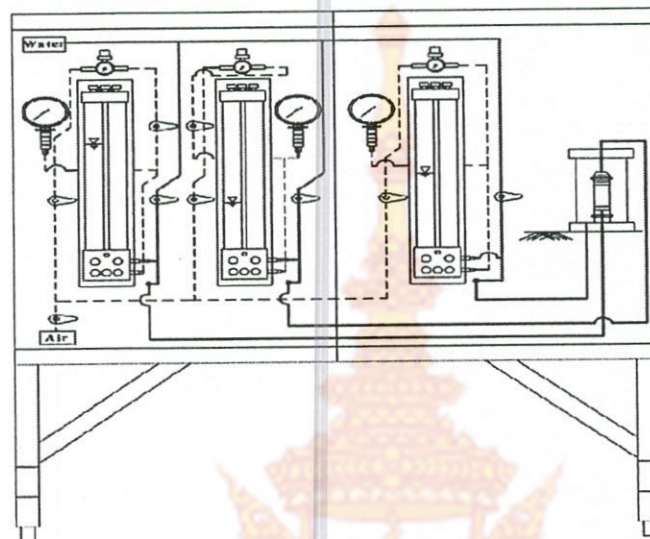
6) ปั๊มลม (Air Pump)



รูปที่ 3.7 ปั๊มลม (Air Pump)

3.6 ขั้นตอนการดำเนินการสร้าง

- 1) ออกแบบชุดทดสอบการซึมผ่านแบบ Falling Head – Rising Tail



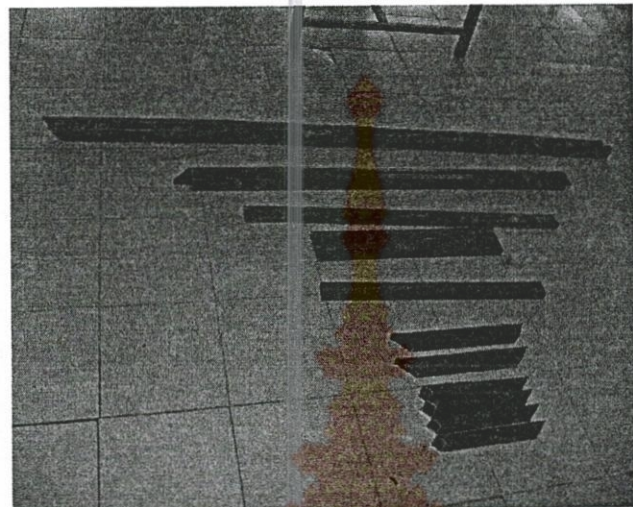
รูปที่ 3.8 ชุดทดสอบที่ออกแบบแบบ Falling Head – Rising Tail

- 2) ตัดเหล็กให้ได้ตามขนาดตามแบบที่ได้ออกแบบของโครงสร้าง



รูปที่ 3.9 การตัดเหล็ก

3) เสื่อมชิ้นส่วนโครงสร้างให้ได้ตามแบบที่ออกแบบมา



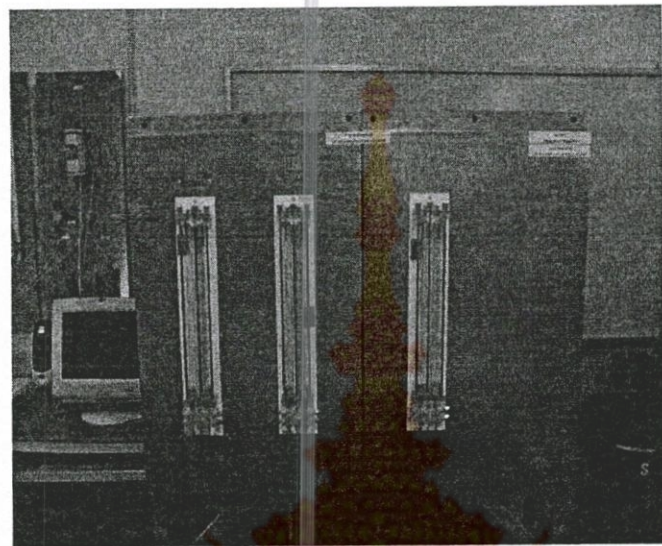
รูปที่ 3.10 ชิ้นส่วนเหล็กที่ตัดตามขนาด

4) นำแผ่นอลูมิเนียมมาตัดและดัดขึ้นรูปตามแบบ



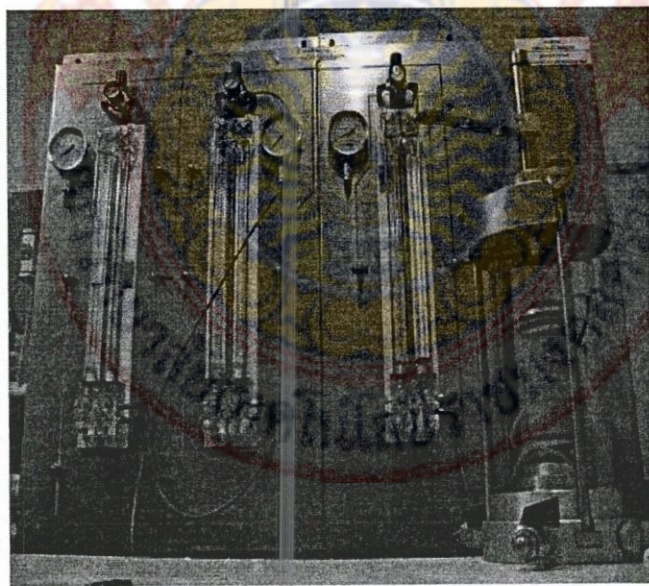
รูปที่ 3.11 การขึ้นรูปเหล็ก

5) นำแผ่นอลูมิเนียมที่ขึ้นรูปแล้วมาประกอบกับโครงสร้างที่ได้เชื่อมไว้แล้ว



รูปที่ 3.12 การประกอบแผ่นอลูมิเนียมเข้ากับโครงเหล็ก

6) ติดตั้งอุปกรณ์สำหรับชุดทดสอบบนบอร์ด (Board) สแตนเลส



รูปที่ 3.13 การติดตั้งอุปกรณ์ชุดทดสอบ

3.7 ขั้นตอนการทดสอบ

3.7.1 ขั้นตอนการเตรียมชุดทดสอบ

3.7.1.1 นำดินที่เตรียมไว้แล้วใส่ในเซลล์สามแกนที่รองด้วยหินพูน แล้วใส่ปีลอกยางให้หุ้มตัวอย่างดิน แล้วรัดด้วยยางวงแหวนกันน้ำร่วมซึ่งปิดเซลล์ให้แน่นแล้วเติมน้ำให้เต็ม

3.7.1.2 ทำการต่อสายท่อนแรงดัน (สาย PU) จากปืนลมเข้ากับแผงควบคุมความดัน

3.7.1.3 เติมน้ำเข้าหลอดสร้างแรงดัน Head Pressure Tail Pressure และ Cell Pressure ให้ได้ระดับตามต้องการ

3.7.1.4 ปรับตัวควบคุมแรงดันให้เป็นศูนย์ทุกหลอดสร้างแรงดัน พร้อมทดสอบ

3.7.2 วิธีการใช้ชุดทดสอบแบบ Falling Head Rising Tail

3.7.2.1 จากรูปที่ 3.2 และ 3.5 ต่อเซลล์สามแกนเข้ากับหลอดสร้างแรงดันทั้งสาม หลอด กือ หลอด Head Pressure ($a_{in} = 4.10$ ตารางเซนติเมตร) หลอด Tail Pressure ($a_{out} = 4.10$ ตารางเซนติเมตร) และ หลอด Cell Pressure ($a = 4.10$ ตารางเซนติเมตร) สำหรับหลอด Cell Pressure จะสร้างแรงดันรอบๆ ดินตัวอย่าง จึงทำให้ผนังบางด้านข้างสามารถแนบสนิทกับตัวอย่าง ทำให้ลดปัญญาของการซึมของน้ำทางด้านข้างของตัวอย่างดิน ดังเช่นกรณีของการใช้เซลล์ผนังแข็ง

3.7.2.2 ให้แรงดันในหลอด Cell Pressure มากกว่าหลอด Head Pressure เสมอ (เพราะจะทำให้แรงดันกดโดยรอบตัวอย่าง ถ้า Head Pressure มากกว่า Cell Pressure ตัวอย่างดินจะบวมตัว และอาจจะบวบติดได้) จากนั้นรอนกว่าตัวอย่างดินจะอิ่มตัว ถ้าดินยังไม่มีการอิ่มตัวให้เพิ่มแรงดันขึ้นไปเรื่อยๆ ตามกระบวนการการทำ B Check

3.7.2.3 เมื่อตัวอย่างดินอิ่มตัวและปริมาตรของน้ำที่ไหลเข้าตัวอย่างเท่ากับปริมาตรของน้ำที่ไหลออก ($Q_{in} = Q_{out}$) แสดงว่าดินตัวอย่างพร้อมที่จะทดสอบการซึมผ่านของน้ำในดิน

3.7.2.4 การทดสอบจะเพิ่มแรงดันในหลอด Head Pressure ให้มากกว่าหลอด Tail Pressure และหลอด Cell Pressure จะมากกว่า Head Pressure เสมอ โดยการให้แรงดันแก่ตัวอย่างดินจะต้องกระทำอย่างระมัดระวัง ไม่ทำให้ตัวอย่างดินบวบติดหรือถูกรบกวนมากกว่าดินที่เป็นอยู่ในธรรมชาติก่อนการเก็บตัวอย่าง

3.7.2.5 เริ่มทดสอบโดยการอ่านระดับน้ำเริ่มต้นในหลอด Head Pressure Tail Pressure และ Cell Pressure แล้วจับเวลาเริ่มต้น เมื่อเวลาผ่านไปกี่นาทีทำการบันทึกค่าระดับน้ำที่เปลี่ยนแปลงในแต่ละหลอด อุณหภูมิ และเวลาในแต่ละช่วงเวลาที่กำหนด ซึ่งก็ขึ้นอยู่กับประเภทของดินที่นำมาทดสอบ เช่น ถ้าเป็นดินเหนียวจะใช้เวลาที่นานกว่าดินราย

3.7.2.6 นำข้อมูลทั้งหมดที่ได้ไปคำนวณหาค่าสัมประสิทธิ์การซึมผ่านของน้ำในดินโดยการใช้สมการที่ 2.11

บทที่ 4

ผลและการวิเคราะห์ผลการดำเนินงาน

ในบทนี้จะนำเสนอ การนำผลการทดสอบมาเปรียบเทียบค่าสัมประสิทธิ์การซึมผ่านของน้ำ ในดินจากชุดทดสอบแบบ Falling Head-Rising Tail กับชุดทดสอบแบบ Constant Head และชุดทดสอบแบบ Falling Head ซึ่งจากการเปรียบเทียบความสัมพันธ์จากการสร้างกราฟในแต่ละแบบ

4.1 ผลการทดสอบ

ตาราง 4.1 แสดงผลการทดสอบ

| Soil Properties. | บ่อคืน ทวัดเสื่อ | บ่อคืนปาก ช่อง | บ่อคืนข้าง ตระบ | บ่อคืน คอน จีเหล็ก | บ่อคืนนา ป่อง | บ่อคืน ทวัดเข้า ಡอง |
|-------------------------|---------------------|-------------------|--------------------|--------------------------|------------------|---------------------------|
| Liquid limit (LL) | 41.82 | 35.3 | 35.25 | 43.6 | 34 | 28.5 |
| Plasticity Index (PI) | 27.84 | 14.27 | 6.01 | 8.54 | 9.31 | 4.46 |
| Specific gravity (Gs) | 2.777 | 2.719 | 2.665 | 2.749 | 2.757 | 2.648 |
| % Finer (%) | 65.11 | 26.9 | 57.02 | 56.75 | 26.1 | 43.02 |
| Type of Soil | CL | SC | ML | OL | SM | SM |

CL คือ ดินเหนียวที่มีความเหนียวต่ำ ดินเหนียวปนทรายหรือปนดินเหนียวตะกอน

SC คือ ทรายที่มีดินเหนียวปน

ML คือ ดินตะกอน หินฝุ่นหรือดินทรายละเอียดที่มีดินเหนียวหรือดินตะกอนปนที่มีความเหนียวต่ำ

OL คือ ดินตะกอนอินทรีย์หรือดินเหนียวปนดินตะกอนอินทรีย์ ที่มีความเหนียวต่ำ

SM คือ ทรายที่มีดินตะกอนปน

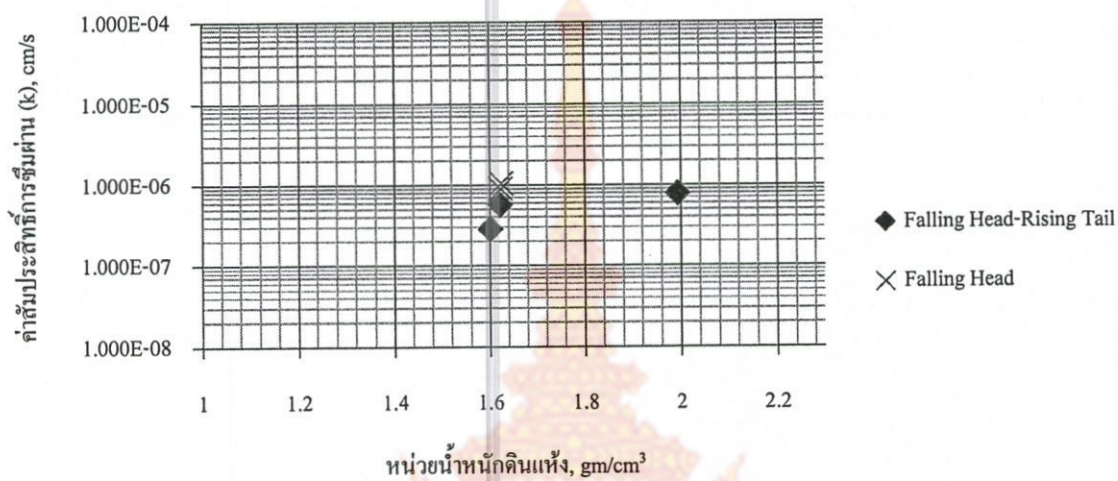
| | | | |
|----------|--------------------------------------|------------|---------------------|
| หมายเหตุ | FH-RT คือ Falling Head - Rising Tail | γ_d | คือ Dry Unit Weight |
| | FH คือ Falling Head | e | คือ Void Ratio |
| | CH คือ Constant Head | | |
| | w คือ Water Content | | |

ตาราง 4.1 แสดงผลการทดสอบ (ต่อ)

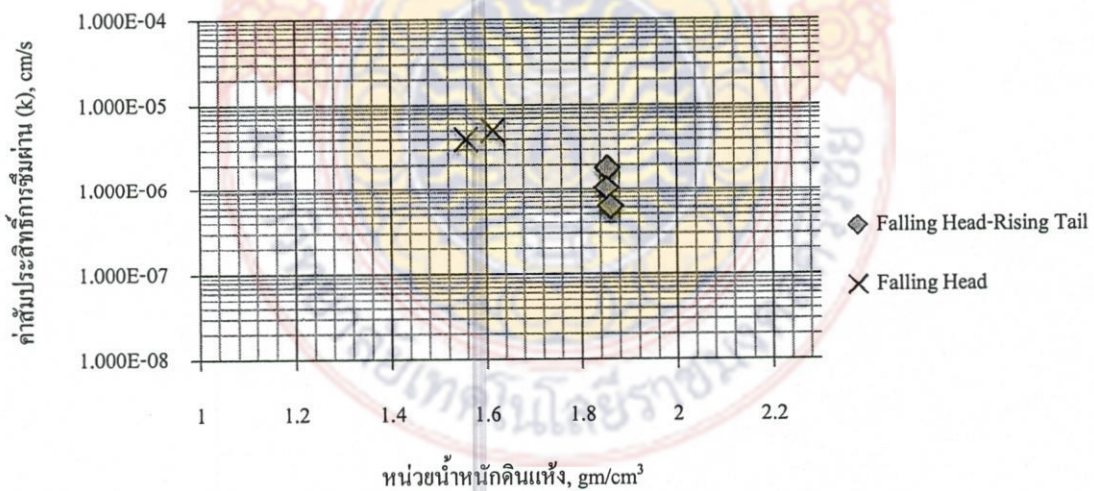
| Soil Properties. | บ่อคินทรุค เตื้อ | บ่อคินปาก ช่อง | บ่อคินบ้าน ตรับ | บ่อคินคอน ขี้เหล็ก | บ่อคินนา ป่อง | บ่อคินทรุค เข้าเดง |
|--|---------------------|-------------------|--------------------|-----------------------|------------------|-----------------------|
| FH – RT ค่า k ตย. 1, cm/s | 7.807E-07 | 1.827E-06 | 5.899E-06 | 6.029E-08 | 1.159E-05 | 9.344E-08 |
| FH – RT ค่า k ตย. 2, cm/s | 5.658E-07 | 1.042E-06 | 4.174E-06 | 3.992E-08 | 1.335E-05 | 8.458E-08 |
| FH – RT ค่า k ตย. 3, cm/s | 2.809E-07 | 6.129E-07 | 1.838E-06 | - | 1.209E-05 | - |
| FH ค่า k ตย. 1, cm/s | 1.056E-06 | 5.253E-06 | 8.726E-05 | 2.702E-05 | 9.003E-05 | 4.612E-07 |
| FH ค่า k ตย. 2, cm/s | 8.997E-07 | 3.736E-06 | 1.574E-05 | 1.795E-05 | 4.133E-05 | 4.562E-07 |
| FH ค่า k ตย. 3, cm/s | - | - | - | - | - | - |
| CH ค่า k ตย. 1, cm/s | 1.057E-06 | 5.259E-06 | 8.731E-05 | 2.705E-05 | 9.008E-05 | 4.617E-07 |
| CH ค่า k ตย. 2, cm/s | 9.008E-07 | 3.740E-06 | 1.576E-05 | 1.797E-05 | 4.137E-05 | 4.567E-07 |
| CH ค่า k ตย. 3, cm/s | - | - | - | - | - | - |
| FH-RT ค่า γ_d ตย.1, g/cm ³ | 1.993 | 1.855 | 1.589 | 1.645 | 1.857 | 1.985 |
| FH-RT ค่า γ_d ตย.2, g/cm ³ | 1.622 | 1.853 | 1.934 | 1.685 | 1.811 | 2.004 |
| FH-RT ค่า γ_d ตย.3, g/cm ³ | 1.601 | 1.861 | 1.605 | - | 1.792 | - |
| FH ค่า γ_d ตย.1, g/cm ³ | 1.624 | 1.615 | 1.638 | 1.672 | 1.712 | 1.743 |
| FH ค่า γ_d ตย.2, g/cm ³ | 1.623 | 1.558 | 1.641 | 1.672 | 1.719 | 1.761 |
| FH ค่า γ_d ตย.3, g/cm ³ | - | - | - | - | - | - |
| FH-RT ค่า w ตย.1, % | 19.81 | 14.37 | 18.50 | 21.67 | 8.98 | 14.73 |
| FH-RT ค่า w ตย.2, % | 24.37 | 16.10 | 13.52 | 21.93 | 8.98 | 14.73 |
| FH-RT ค่า w ตย.3, % | 25.03 | 17.50 | 22.00 | - | 8.98 | - |
| FH ค่า w ตย.1, % | 20.64 | 17.71 | 13.86 | 17.03 | 10.58 | 13.60 |
| FH ค่า w ตย.2, % | 20.64 | 17.71 | 13.86 | 17.03 | 10.58 | 13.60 |
| FH ค่า w ตย.3, % | - | - | - | - | - | - |
| FH-RT ค่า e ตย.1, % | 39.34 | 46.57 | 67.71 | 67.11 | 48.46 | 33.00 |
| FH-RT ค่า e ตย.2, % | 71.21 | 46.73 | 37.79 | 63.14 | 52.23 | 31.74 |
| FH-RT ค่า e ตย.3, % | 73.45 | 46.10 | 66.04 | - | 53.85 | - |
| FH ค่า e ตย.1, % | 71.00 | 68.34 | 62.70 | 64.41 | 61.04 | 51.92 |
| FH ค่า e ตย.2, % | 71.10 | 74.51 | 62.40 | 64.41 | 60.38 | 50.37 |
| FH ค่า e ตย.3, % | - | - | - | - | - | - |

4.2 เปรียบเทียบผลการทดสอบ

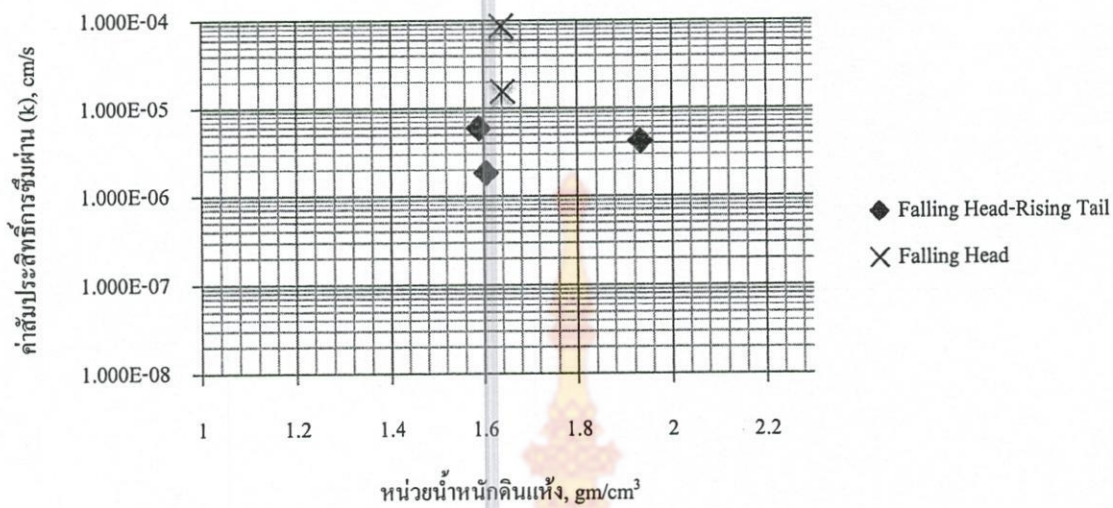
4.2.1 ผลการทดสอบหาค่าสัมประสิทธิ์การซึมผ่านของน้ำในดินกับหน่วยน้ำหนักดินแห้ง



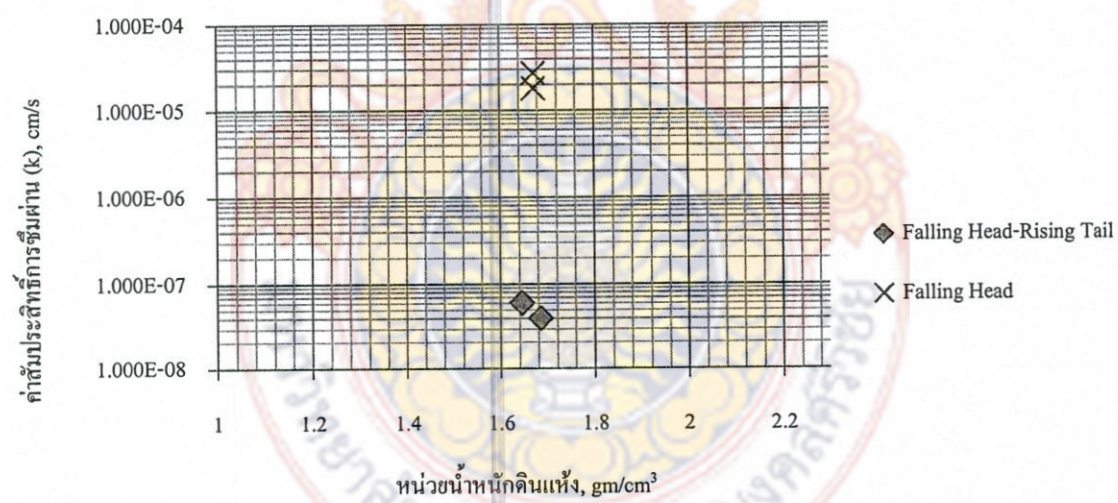
รูปที่ 4.1 กราฟความสัมพันธ์ระหว่างหน่วยน้ำหนักดินแห้งกับค่าสัมประสิทธิ์การซึมผ่านของน้ำในดินทรายเสือ



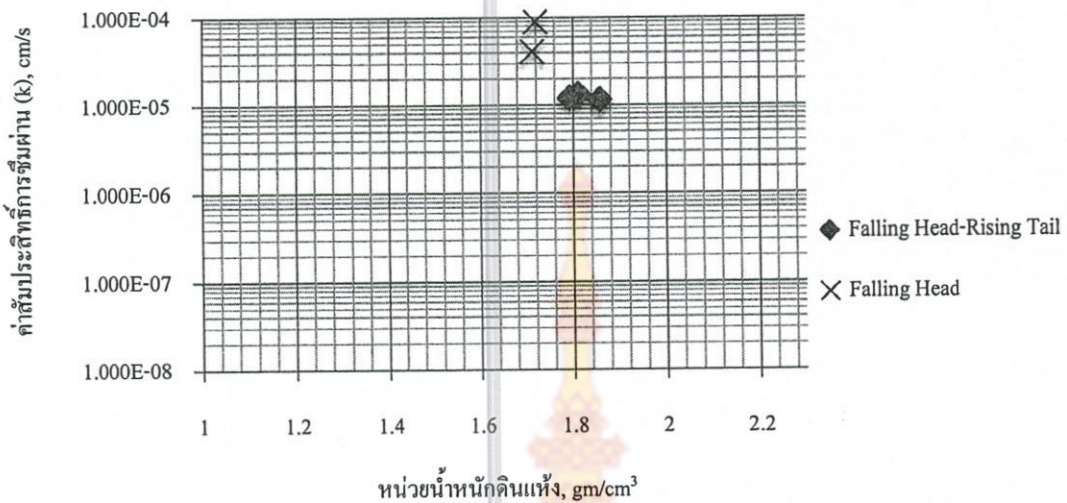
รูปที่ 4.2 กราฟความสัมพันธ์ระหว่างหน่วยน้ำหนักดินแห้งกับค่าสัมประสิทธิ์การซึมผ่านของน้ำในดินปากซ่อง



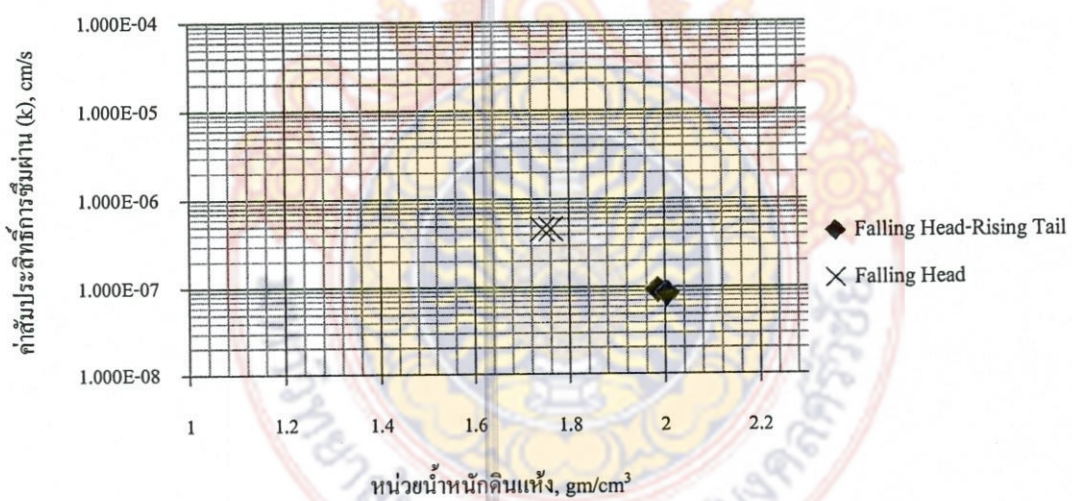
รูปที่ 4.3 กราฟความสัมพันธ์ระหว่างหน่วยน้ำหนักดินแห้งกับค่าสัมประสิทธิ์การซึมผ่านของบ่อดินบ้านตระบ



รูปที่ 4.4 กราฟความสัมพันธ์ระหว่างหน่วยน้ำหนักดินแห้งกับค่าสัมประสิทธิ์การซึมผ่านของบ่อดินคอนกรีตเหล็ก



รูปที่ 4.5 กราฟความสัมพันธ์ระหว่างหน่วยน้ำหนักดินแห้งกับค่าสัมประสิทธิ์การซึมผ่านของบ่อคืนนาป่อง

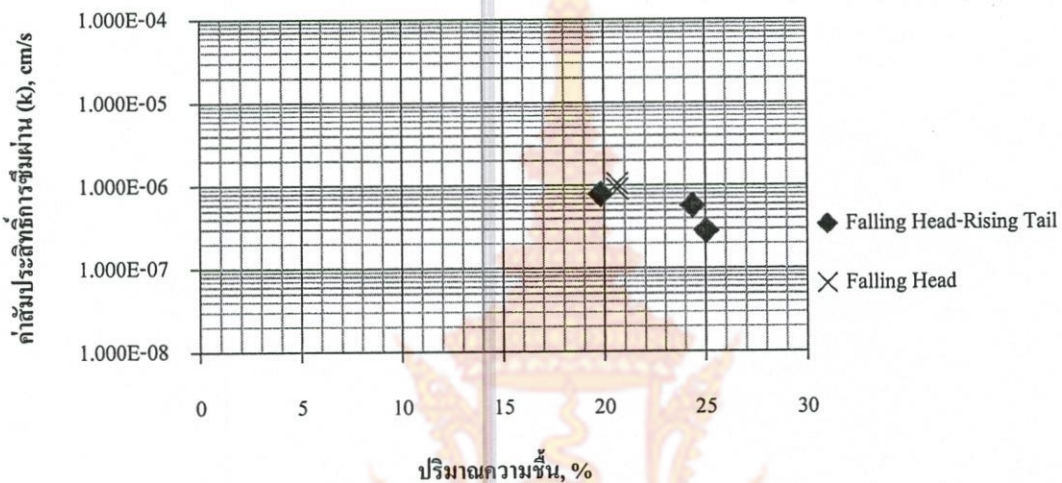


รูปที่ 4.6 กราฟความสัมพันธ์ระหว่างหน่วยน้ำหนักดินแห้งกับค่าสัมประสิทธิ์การซึมผ่านของบ่อคืนเขาแಡง

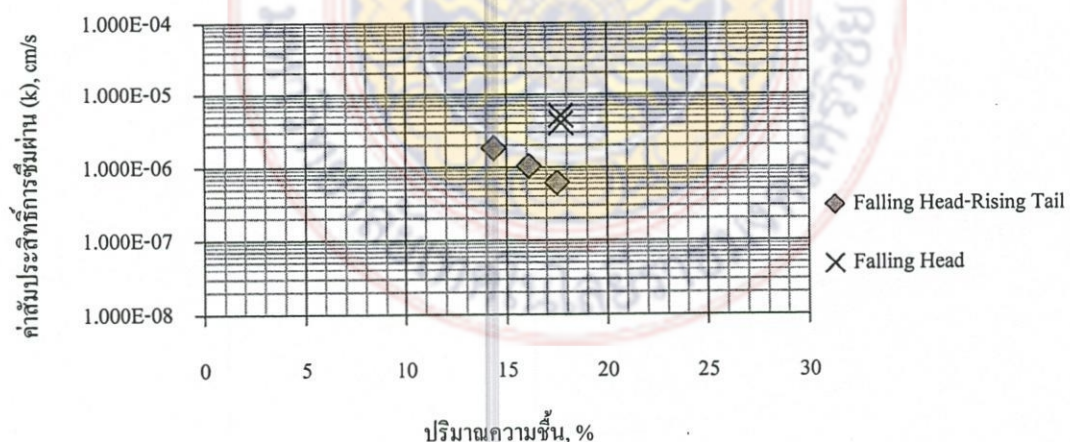
จากรูปที่ 4.1 – 4.6 แสดงความสัมพันธ์ระหว่างหน่วยน้ำหนักดินแห้งกับค่าสัมประสิทธิ์การซึมผ่าน จะเห็นได้ว่าค่าสัมประสิทธิ์การซึมผ่านที่ได้จากชุดทดสอบแบบ Falling Head – Rising Tail จะมีค่าน้อยกว่าค่าสัมประสิทธิ์การซึมผ่านที่ได้

จากชุดทดสอบแบบ Constant Head และชุดทดสอบแบบ Falling Head ในทุกด้าวบ่ายังดินที่นำมาทดสอบ ซึ่งให้ค่าที่ใกล้เคียงกับธรรมชาติเมื่อถูกคุณสมบัติของดิน

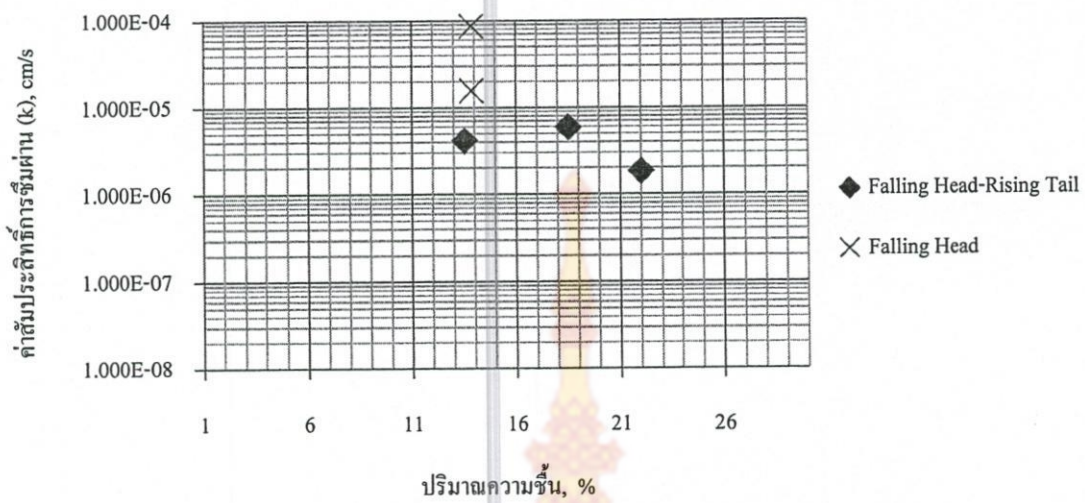
4.2.1 ผลการทดสอบหาค่าสัมประสิทธิ์การซึมผ่านของน้ำในดินกับปริมาณความชื้น



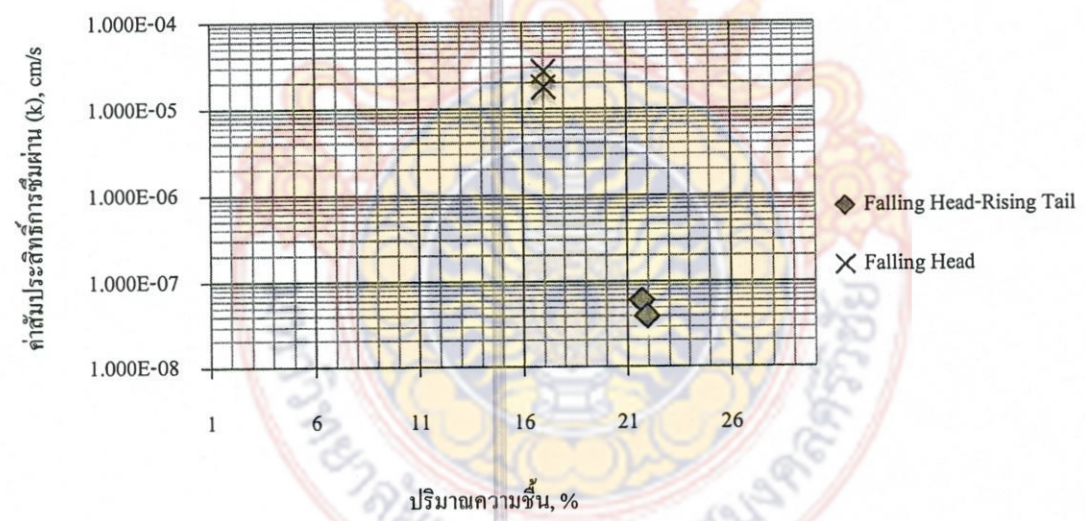
รูปที่ 4.7 กราฟความสัมพันธ์ระหว่างปริมาณความชื้นกับค่าสัมประสิทธิ์การซึมผ่านของบ่อคิน ทวัดเสื่อ



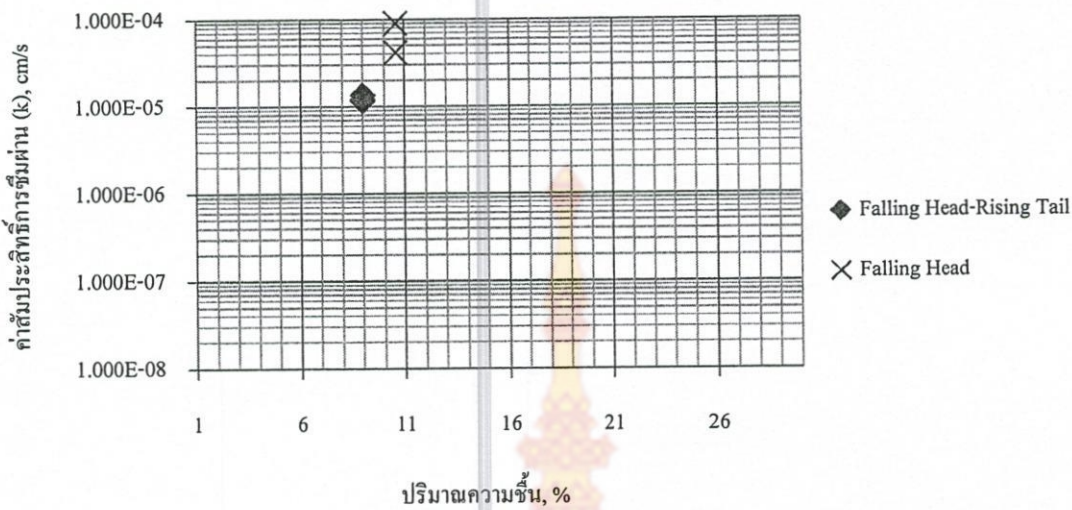
รูปที่ 4.8 กราฟความสัมพันธ์ระหว่างปริมาณความชื้นกับค่าสัมประสิทธิ์การซึมผ่านของบ่อคิน ปากช่อง



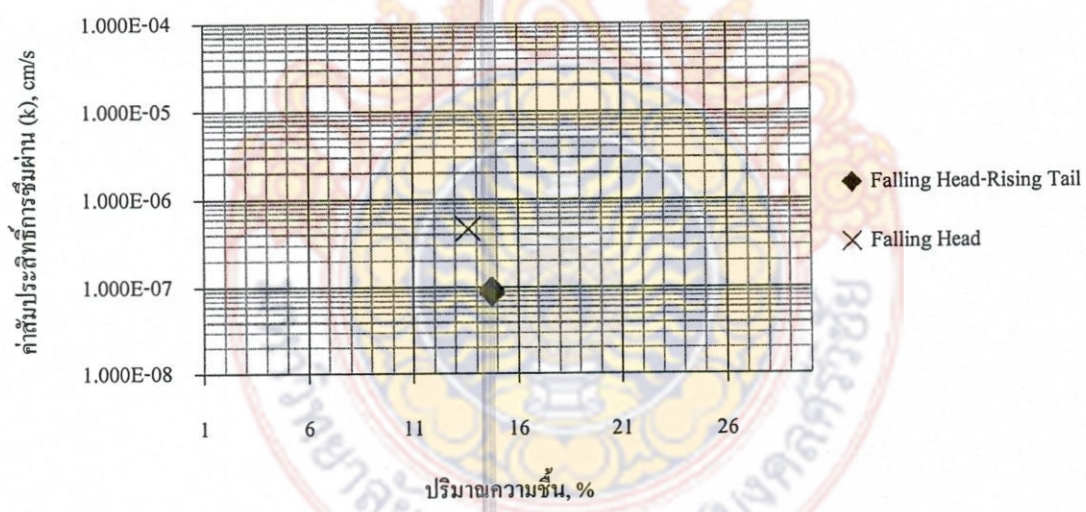
รูปที่ 4.9 กราฟความสัมพันธ์ระหว่างปริมาณความชื้นกับค่าสัมประสิทธิ์การซึมผ่านของบ่ออดิน
บ้านครับ



รูปที่ 4.10 กราฟความสัมพันธ์ระหว่างปริมาณความชื้นกับค่าสัมประสิทธิ์การซึมผ่านของบ่อ
ดินคอนกรีตเหล็ก



รูปที่ 4.11 กราฟความสัมพันธ์ระหว่างปริมาณความชื้นกับค่าสัมประสิทธิ์การซึมผ่านของบ่อ
ดินนาป่อง

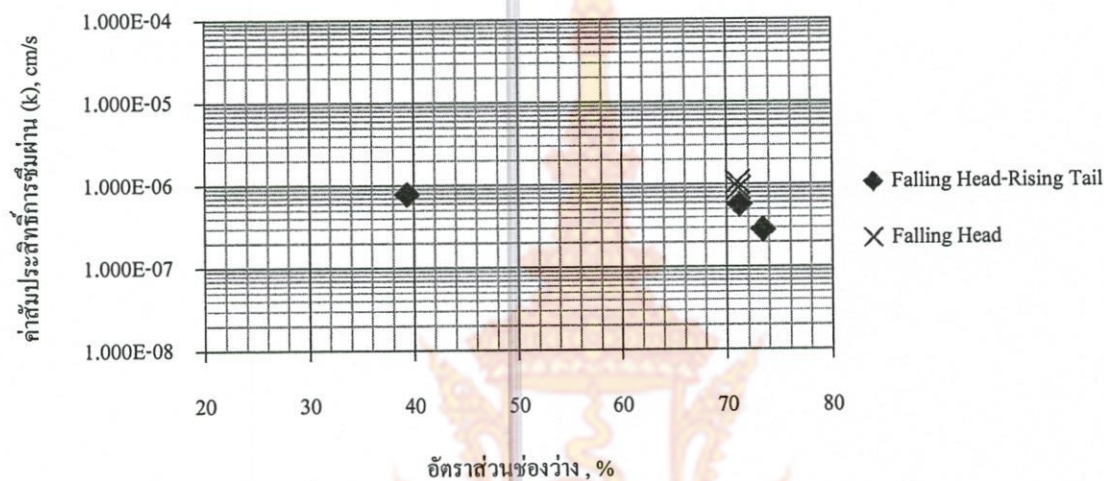


รูปที่ 4.12 กราฟความสัมพันธ์ระหว่างปริมาณความชื้นกับค่าสัมประสิทธิ์การซึมผ่านของบ่อ
ดินทรายขาวแดง

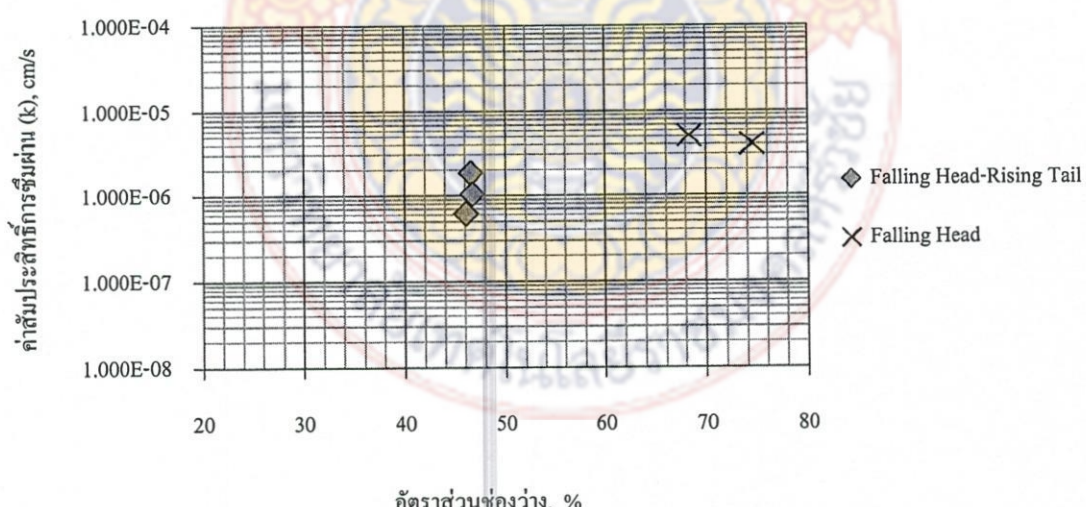
จากรูปที่ 4.7 – 4.12 แสดงความสัมพันธ์ระหว่างปริมาณความชื้นกับค่าสัมประสิทธิ์การซึมผ่าน จะเห็นได้ว่าค่าสัมประสิทธิ์การซึมผ่านที่ได้จากชุดทดสอบแบบ Falling Head – Rising Tail จะมีค่านโยบายกว่าค่าสัมประสิทธิ์การซึมผ่านที่ได้จากชุดทดสอบแบบ Constant Head และชุด

ทดสอบแบบ Falling Head ในทุกตัวอย่างดินที่นำมาทดสอบ ซึ่งให้ค่าที่ใกล้เคียงกับธรรมชาติเมื่อคูจากคุณสมบัติของดิน

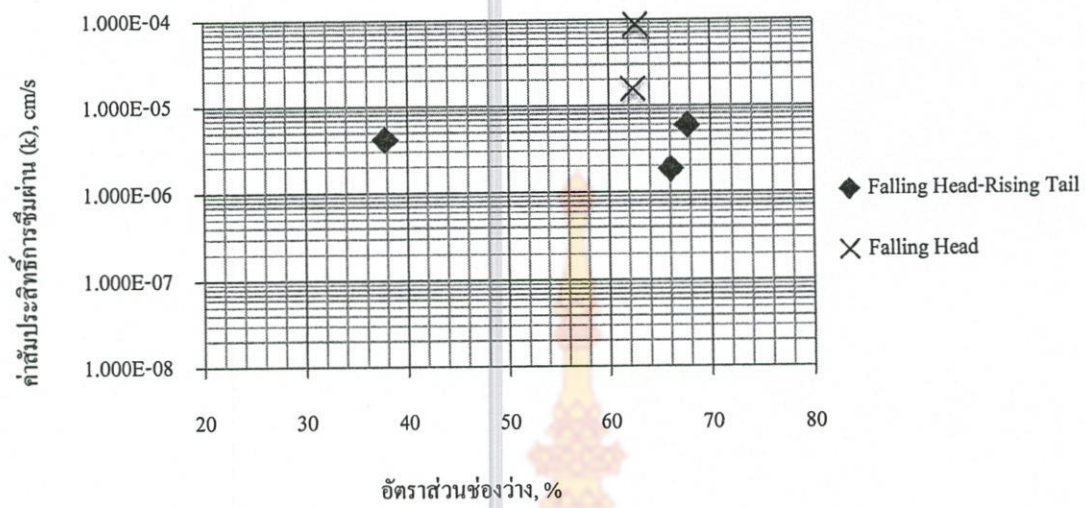
4.2.1 ผลการทดสอบหาค่าสัมประสิทธิ์การซึมผ่านของน้ำในดินกับอัตราส่วนช่องว่าง



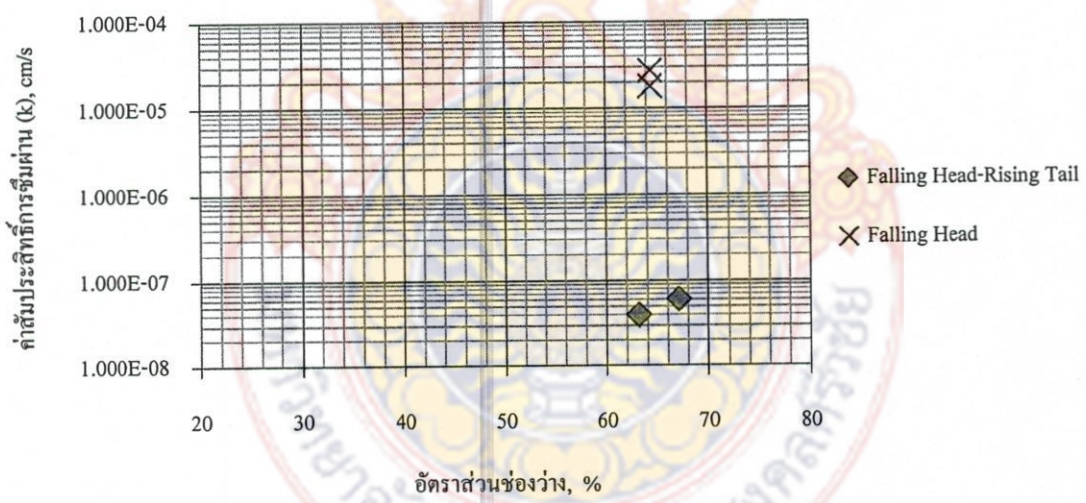
รูปที่ 4.13 กราฟความสัมพันธ์ระหว่างอัตราส่วนช่องว่างกับค่าสัมประสิทธิ์การซึมผ่านของบ่อ
ดินทรายเสือ



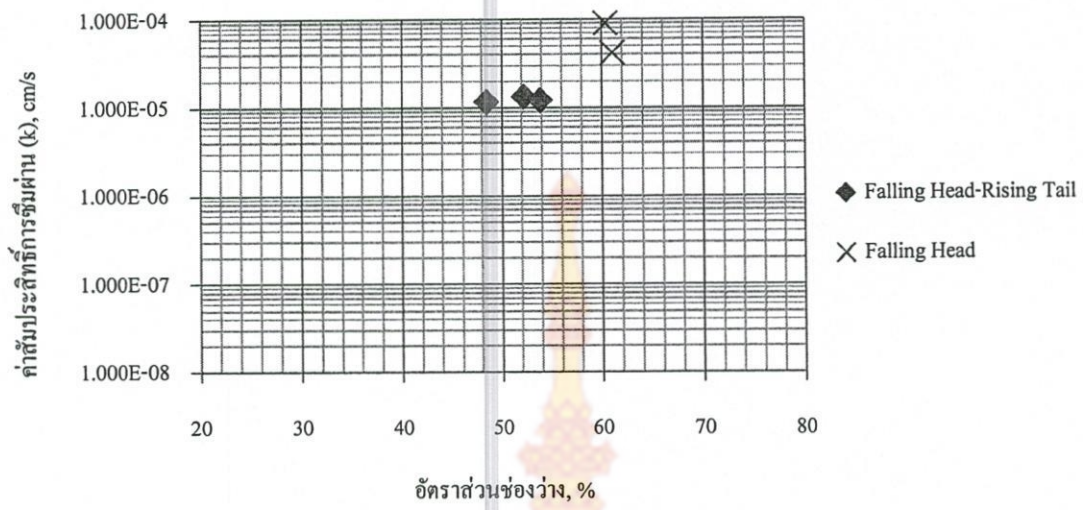
รูปที่ 4.14 กราฟความสัมพันธ์ระหว่างอัตราส่วนช่องว่างกับค่าสัมประสิทธิ์การซึมผ่านของบ่อ
ดินปากช่อง



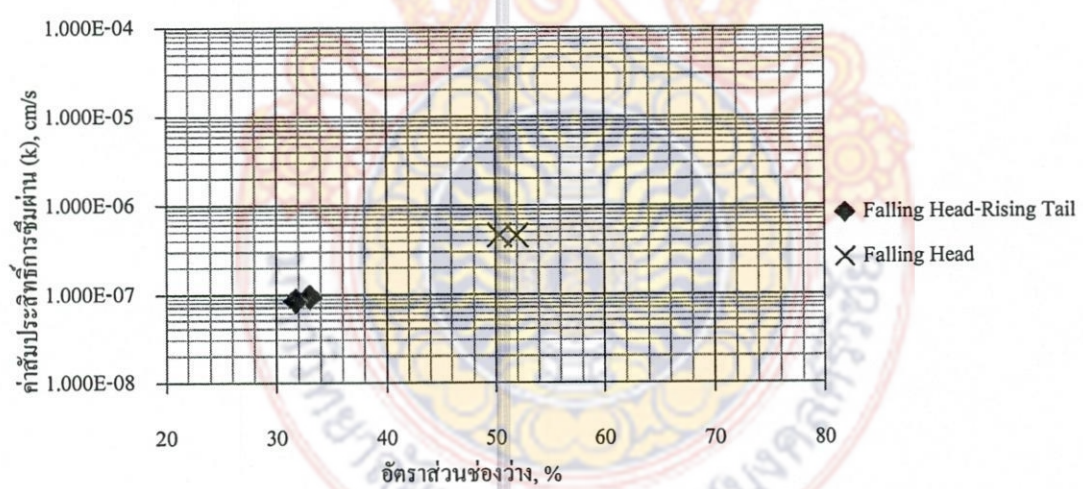
รูปที่ 4.15 กราฟความสัมพันธ์ระหว่างอัตราส่วนช่องว่างกับค่าสัมประสิทธิ์การซึมผ่านของบ่อ
ดินบ้านครับ



รูปที่ 4.16 กราฟความสัมพันธ์ระหว่างอัตราส่วนช่องว่างกับค่าสัมประสิทธิ์การซึมผ่านของบ่อ
ดินコンกรีทเหล็ก



รูปที่ 4.17 กราฟความสัมพันธ์ระหว่างอัตราส่วนช่องว่างกับค่าสัมประสิทธิ์การซึมผ่านของบ่อ
ดินนาปีอง



รูปที่ 4.18 กราฟความสัมพันธ์ระหว่างอัตราส่วนช่องว่างกับค่าสัมประสิทธิ์การซึมผ่านของบ่อ
ดินเขาเดช

จากรูปที่ 4.13 – 4.18 แสดงความสัมพันธ์ระหว่างอัตราส่วนช่องว่างกับค่าสัมประสิทธิ์การซึ่มผ่าน จะเห็นได้ว่าค่าสัมประสิทธิ์การซึ่มผ่านที่ได้จากชุดทดสอบแบบ Falling Head – Rising Tail จะมีค่าน้อยกว่าค่าสัมประสิทธิ์การซึ่มผ่านที่ได้จากชุดทดสอบแบบ Constant Head และชุดทดสอบแบบ Falling Head ในทุกตัวอย่างดินที่นำมาทดสอบ ซึ่งให้ค่าที่ใกล้เคียงกับธรรมชาติเมื่อถูกจากคลื่นสมบัติของดิน



บทที่ 5

สรุปผลและข้อเสนอแนะ

5.1 สรุปผลการศึกษา

จากการออกแบบและสร้างชุดทดสอบการซึมผ่านของน้ำในดินแบบ Falling Head – Rising Tail สามารถทราบถึงพฤติกรรมการซึมผ่านของน้ำในดิน ว่ามีความแตกต่างในการซึมผ่านของดิน แต่ละประเภทที่แตกต่างกัน เพื่อศึกษาเปรียบเทียบผลการทดสอบค่าสัมประสิทธิ์การซึมผ่านของน้ำ ในดินจากชุดทดสอบแบบ Falling Head – Rising Tail กับชุดทดสอบแบบ Constant Head และชุดทดสอบแบบ Falling Head ซึ่งได้ผลการศึกษา ดังนี้

5.1.1 ผลจากชุดทดสอบหาค่าสัมประสิทธิ์การซึมผ่านของน้ำในดินแบบ Falling Head – Rising Tail ที่ได้จะมีความใกล้เคียงในสภาพธรรมชาติ ได้ดีกว่าชุดทดสอบแบบ Constant Head และชุดทดสอบแบบ Falling Head

5.1.2 การทดสอบโดยใช้ชุดทดสอบแบบ Falling Head – Rising Tail พบร่วมกับเวลาในการทดสอบน้อยกว่าชุดทดสอบแบบ Constant Head และชุดทดสอบแบบ Falling Head

5.1.3 การทดสอบโดยใช้ชุดทดสอบแบบ Falling Head – Rising Tail พบร่วมกับความสามารถใช้ได้กับ ดินทุกประเภท

5.1.4 การทดสอบโดยใช้ชุดทดสอบแบบ Falling Head – Rising Tail เห็นได้ว่าสามารถเพิ่ม ความดันน้ำได้สูงถึง 70 เมตร

5.1.5 ชุดทดสอบแบบ Falling Head – Rising Tail สามารถเคลื่อนย้ายได้สะดวก ซึ่งชุด ทดสอบแบบ Constant Head และชุดทดสอบแบบ Falling Head ไม่สามารถเคลื่อนย้ายได้

5.1.6 ชุดทดสอบแบบ Falling Head – Rising Tail ใช้พื้นที่ในการทดสอบน้อยกว่าชุด ทดสอบแบบ Constant Head และชุดทดสอบแบบ Falling Head

5.1.7 การทดสอบโดยใช้ชุดทดสอบแบบ Falling Head – Rising Tail จะเห็นได้ว่า ช่วยลด ช่องว่างระหว่างเม็ดดินกับผนังเซลล์ของชุดทดสอบ

5.1.8 ชุดทดสอบแบบ Falling Head – Rising Tail สามารถจำลองสภาพดินตัวอย่างได้ ใกล้เคียงกับสภาพในธรรมชาติจริงก่อนเก็บตัวอย่างสามารถตรวจสอบการอิ่มตัวอย่างได้โดยการทำ B Check

5.1.9 ชุดทดสอบแบบ Falling Head – Rising Tail ที่สร้างขึ้นสามารถนำไปใช้ทดสอบดินใน ห้องปฏิบัติการได้จริง

5.2 ข้อเสนอแนะ

5.2.1 การศึกษานี้ได้ผลการศึกษาของคินที่มาทดสอบเพียง 6 แหล่งเท่านั้น ถ้าหากต้องการศึกษาเพิ่มเติมอาจนำคินชนิดอื่นๆ มาศึกษาเพิ่มเติมได้

5.2.2 การศึกษานี้ได้ผลการศึกษาของความดันน้ำได้เพียงแค่ 70 เมตร

5.2.3 การทดสอบโดยใช้ชุดทดสอบแบบ Falling Head – Rising Tail สามารถใช้ในการศึกษาหรือหาค่าสัมประสิทธิ์การซึมผ่านของน้ำในคินที่สามารถนำไปใช้ในการใช้งานได้จริง

บรรณานุกรม

- [1] A.S.T.M. Standards, Soil and Rock 1 (1997). “Annual Book of A.S.T.M. Standard”, Volume 04.08, American Society for testing Materials, U.S.A.
- [2] A.S.T.M., Soil and Rock (1976). “Annual Book of A.S.T.M. Standard”, Standards part 19, American Society for testing Materials, U.S.A.
- [3] Bowles J.E. (1970). “Engineering Properties of Soil and Their Measurement”, Fourth Edition, McGraw – Hill, U.S.A.
- [4] Bowles J.E. (1996). “Foundation Analysis and Designs”, 5th edition, McGraw-Hill Book Company, U.S.A.
- [5] Das B.M. (1985). “Principles of Geotechnical Engineering”, Third Edition, PWS Publishers, U.S.A.
- [6] Lambe W.T. (1951). “Soil Testing for Engineering”, John Wiley & Sons, Inc., U.S.A.
- [7] ชัย นุกตพันธ์ และคazu โตะ นาคาซawa (2527). “ปฐพีกศาสตร์และวิศวกรรมฐานราก”, สมาคมส่งเสริมความรู้ด้านเทคนิคระหว่างประเทศ, ก.ท.ม.
- [8] ประดับ พุ่มสุวรรณ (2541). “ปฐพีกศาสตร์ ภาคการทดลอง”, กรุงเทพมหานคร.
- [9] มนเทียร กังศิเทียม (2531). “กลศาสตร์ของดินด้านวิศวกรรม”, พิมพ์ครั้งที่ 2, สมาคมศิษย์เก่าวิศวกรรมชลประทาน ในพระบรมราชูปถัมภ์, ก.ท.ม.
- [10] นานะ อภิพัฒน์มนตรี (2529). “วิศวกรรมปฐพีและฐานราก”, พิมพ์ครั้งที่ 1, สมาคมส่งเสริมเทคโนโลยี (ไทย – ญี่ปุ่น), ก.ท.ม.

- [11] วรากร ไม่เรียง, จิรวัฒน์ โชติไกร และประทีป คงเดือน (2525). “ปฐพีกศาสตร์ ทฤษฎี และปฏิบัติการ”, (พิมพ์ครั้งที่ 4), ภาควิชาวิศวกรรมโยธา คณะวิศวกรรมศาสตร์ มหาวิทยาลัยเกษตรศาสตร์, ก.ท.ม.
- [12] วัฒนา ธรรมมงคล และวินิต ช่อวิเชียร (2532). “ปฐพีกศาสตร์”, ภาควิชาวิศวกรรมโยธา คณะวิศวกรรมศาสตร์ จุฬาลงกรณ์มหาวิทยาลัย, ก.ท.ม.
- [13] วิวัฒน์ สุทธิวิภากร และสมพร เหรียญมโนรมย์ (2537). “ปฏิบัติการทดลองวิชา 220-321 ปฐพีกศาสตร์ 1”, ภาควิชาวิศวกรรมโยธา คณะวิศวกรรมศาสตร์ มหาวิทยาลัยสงขลานครินทร์, สงขลา.
- [14] สถาพร คุวิจาราญ (2541). “ทดลองปฐพีกศาสตร์”, สำนักพิมพ์ไลบารี นาย, ก.ท.ม.
- [15] สถาพร คุวิจาราญ (2541). “ปฐพีกศาสตร์”, สำนักพิมพ์ไลบารี นาย, ก.ท.ม.
- [16] สราเวช จริตงาม (2545). “กลศาสตร์ของดิน”, พิมพ์ครั้งที่ 1, ภาควิชาวิศวกรรมโยธา คณะวิศวกรรมศาสตร์ มหาวิทยาลัยสงขลานครินทร์, สงขลา.
- [17] สราเวช จริตงาม (2548). “คู่มือทฤษฎีและปฏิบัติการทดสอบ”, พิมพ์ครั้งที่ 1, ภาควิชา วิศวกรรมโยธา คณะวิศวกรรมศาสตร์ มหาวิทยาลัยสงขลานครินทร์, สงขลา.
- [18] สันชัย อินทรพิชัย และพานิช วุฒิพุกษ์ (2547). “ปฐพีกศาสตร์”, ภาควิชาครุศาสตร์ โยธา คณะครุศาสตร์อุตสาหกรรมศาสตร์ สถาบันเทคโนโลยีพระจอมเกล้าฯ พระนครเหนือ, ก.ท.ม.
- [19] สารณุ ยอดอุปภัมก์ (2543). “ปฐพีกศาสตร์เบื้องต้น”.
- [20] ชนิต เนลิมยานนท์ (2550). “การใช้รายละเอียดในตัวอย่างและคืนหนึ่งในชั้นกันซึ่งของบ่อฝังกลบมูลฝอย”. ภาควิชาวิศวกรรมโยธา คณะวิศวกรรมศาสตร์ มหาวิทยาลัยสงขลานครินทร์, สงขลา

ภาคพนวก



ภาคพนวก ก

ตารางผลการทดสอบการหาค่าสัมประสิทธิ์การซึ่งผ่านของป้องกันต่างๆ



ตาราง ก.1 แสดงข้อมูลการหาค่า k ของบ่อคินบ้านปากช่อง โดยใช้ชุดทดสอบ Falling Head – Rising Tail ตัวอย่างที่ 1

ตาราง ก.2 แสดงข้อมูลการหาค่า k ของบ่อดินบ้านปากช่อง โดยใช้ชุดทดสอบ Falling Head – Rising Tail ตัวอย่างที่ 2

| Time (sec) | Cell Pressure | | Head Pressure | | Tail Pressure | | Qin/Qout (cc/cc) | k (cm/sec) |
|---------------|---------------|------------------------|---------------|------------------------|---------------|------------------------|---------------------|-----------------|
| | He (cm) | H _p (cm) | He (cm) | H _p (cm) | He (cm) | H _p (cm) | | |
| 0 | 16.60 | 2400.00 | 27.60 | 2000.00 | 8.50 | 1000.00 | - | - |
| 1800 | 16.60 | 2400.00 | 26.90 | 2000.00 | 9.00 | 1000.00 | 1.40 | 1.12E-06 |
| 3600 | 16.60 | 2400.00 | 26.50 | 2000.00 | 9.50 | 1000.00 | 0.80 | 8.40E-07 |
| 5400 | 16.60 | 2400.00 | 25.90 | 2000.00 | 10.00 | 1000.00 | 1.20 | 1.03E-06 |
| 6300 | 16.60 | 2400.00 | 25.50 | 2000.00 | 10.30 | 1000.00 | 1.33 | 1.31E-06 |
| 7200 | 16.60 | 2400.00 | 25.40 | 2000.00 | 10.60 | 1000.00 | 0.33 | 7.48E-07 |
| 8100 | 16.60 | 2400.00 | 25.00 | 2000.00 | 10.90 | 1000.00 | 1.33 | 1.31E-06 |
| 9000 | 16.60 | 2400.00 | 24.70 | 2000.00 | 11.10 | 1000.00 | 1.50 | 9.37E-07 |
| Average | | | | | | | | 1.04E-06 |

ตาราง ก.3 แสดงข้อมูลการหาค่า k ของปั๊มบ้านปากช่อง โดยใช้ชุดทดสอบ Falling Head – Rising Tail ตัวอย่างที่ 3

| Time (sec) | Cell Pressure | | Head Pressure | | Tail Pressure | | Qin/Qout (cc/cc) | k (cm/sec) |
|---------------|---------------|------------------------|---------------|------------------------|---------------|------------------------|---------------------|-----------------|
| | He (cm) | H _p (cm) | He (cm) | H _p (cm) | He (cm) | H _p (cm) | | |
| 0 | 11.30 | 2400.00 | 25.60 | 2000.00 | 16.50 | 1000.00 | - | - |
| 1800 | 11.30 | 2400.00 | 25.10 | 2000.00 | 16.90 | 1000.00 | 1.25 | 8.47E-07 |
| 3600 | 11.30 | 2400.00 | 24.70 | 2000.00 | 17.20 | 1000.00 | 1.33 | 6.60E-07 |
| 5400 | 11.30 | 2400.00 | 24.40 | 2000.00 | 17.50 | 1000.00 | 1.00 | 5.66E-07 |
| 7200 | 11.30 | 2400.00 | 24.10 | 2000.00 | 17.80 | 1000.00 | 1.00 | 5.66E-07 |
| 9000 | 11.30 | 2400.00 | 23.90 | 2000.00 | 18.00 | 1000.00 | 1.00 | 3.78E-07 |
| 10800 | 11.30 | 2400.00 | 23.50 | 2000.00 | 18.30 | 1000.00 | 1.33 | 6.61E-07 |
| Average | | | | | | | 6.13E-07 | |

ตาราง ก.4 แสดงข้อมูลการหาค่า k ของบ่อคืนบ่อคืนทวารเสื่อโดยใช้ชุดทดสอบ Falling Head – Rising Tail ตัวอย่างที่ 1

| Time (sec) | Cell Pressure | | Head Pressure | | Tail Pressure | | Qin/Qout (cc/cc) | k (cm/sec) |
|---------------|---------------|------------|---------------|------------|---------------|------------|---------------------|-----------------|
| | He (cm) | Hp (cm) | He (cm) | Hp (cm) | He (cm) | Hp (cm) | | |
| 0 | 16.90 | 2400.00 | 26.20 | 2000.00 | 10.90 | 1000.00 | - | - |
| 960 | 16.30 | 2400.00 | 25.90 | 2000.00 | 11.10 | 1000.00 | 1.50 | 8.77E-07 |
| 2220 | 16.40 | 2400.00 | 25.70 | 2000.00 | 11.40 | 1000.00 | 0.67 | 6.69E-07 |
| 4140 | 16.40 | 2400.00 | 25.30 | 2000.00 | 11.90 | 1000.00 | 0.80 | 7.90E-07 |
| 6300 | 16.50 | 2400.00 | 24.80 | 2000.00 | 12.40 | 1000.00 | 1.00 | 7.81E-07 |
| 8100 | 16.50 | 2400.00 | 24.30 | 2000.00 | 12.80 | 1000.00 | 1.25 | 8.45E-07 |
| 9900 | 16.50 | 2400.00 | 23.90 | 2000.00 | 13.20 | 1000.00 | 1.00 | 7.51E-07 |
| 10800 | 16.50 | 2400.00 | 23.60 | 2000.00 | 13.30 | 1000.00 | 3.00 | 7.52E-07 |
| Average | | | | | | | 7.81E-07 | |

ตาราง ก.5 แสดงข้อมูลการหาค่า k ของบ่อดินทวารเสื่อ โดยใช้ชุดทดสอบ Falling Head – Rising Tail ตัวอย่างที่ 2

| Time (sec) | Cell Pressure | | Head Pressure | | Tail Pressure | | Qin/Qout (cc/cc) | k (cm/sec) |
|---------------|---------------|------------------------|---------------|------------------------|---------------|------------------------|---------------------|-----------------|
| | He (cm) | H _p (cm) | He (cm) | H _p (cm) | He (cm) | H _p (cm) | | |
| 0 | 12.90 | 2400.00 | 23.20 | 2000.00 | 12.10 | 1000.00 | - | - |
| 900 | 12.90 | 2400.00 | 23.00 | 2000.00 | 12.30 | 1000.00 | 1.00 | 7.52E-07 |
| 1800 | 12.90 | 2400.00 | 22.70 | 2000.00 | 12.70 | 1000.00 | 0.75 | 1.32E-06 |
| 2700 | 12.90 | 2400.00 | 22.50 | 2000.00 | 12.80 | 1000.00 | 2.00 | 5.64E-07 |
| 3600 | 12.90 | 2400.00 | 22.40 | 2000.00 | 12.90 | 1000.00 | 1.00 | 3.76E-07 |
| 4680 | 12.90 | 2400.00 | 22.30 | 2000.00 | 13.00 | 1000.00 | 1.00 | 3.14E-07 |
| 5400 | 12.90 | 2400.00 | 22.20 | 2000.00 | 13.10 | 1000.00 | 1.00 | 4.70E-07 |
| 6420 | 12.90 | 2400.00 | 22.10 | 2000.00 | 13.20 | 1000.00 | 1.00 | 3.32E-07 |
| 8100 | 12.90 | 2400.00 | 21.90 | 2000.00 | 13.40 | 1000.00 | 1.00 | 4.03E-07 |
| 9000 | 12.90 | 2400.00 | 21.80 | 2000.00 | 13.60 | 1000.00 | 0.50 | 5.65E-07 |
| Average | | | | | | | | 5.66E-07 |

ตาราง ก.6 แสดงข้อมูลการหาค่า k ของบ่อคินท์วัตเลือโดยใช้ชุดทดสอบ Falling Head – Rising Tail ตัวอย่างที่ 3

| Time (sec) | Cell Pressure | | Head Pressure | | Tail Pressure | | Qin/Qout (cc/cc) | k (cm/sec) |
|---------------|---------------|------------------------|---------------|------------------------|---------------|------------------------|---------------------|-----------------|
| | He (cm) | H _p (cm) | He (cm) | H _p (cm) | He (cm) | H _p (cm) | | |
| 0 | 11.40 | 2400.00 | 29.80 | 2000.00 | 11.40 | 1000.00 | - | - |
| 1200 | 11.40 | 2400.00 | 29.70 | 2000.00 | 11.50 | 1000.00 | 1.00 | 2.80E-07 |
| 2520 | 11.40 | 2400.00 | 29.60 | 2000.00 | 11.60 | 1000.00 | 1.00 | 2.54E-07 |
| 3720 | 11.40 | 2400.00 | 29.50 | 2000.00 | 11.70 | 1000.00 | 1.00 | 2.80E-07 |
| 4800 | 11.40 | 2400.00 | 29.40 | 2000.00 | 11.80 | 1000.00 | 1.00 | 3.11E-07 |
| 6000 | 11.40 | 2400.00 | 29.30 | 2000.00 | 11.90 | 1000.00 | 1.00 | 2.80E-07 |
| 7200 | 11.40 | 2400.00 | 29.20 | 2000.00 | 12.00 | 1000.00 | 1.00 | 2.80E-07 |
| Average | | | | | | | | 2.81E-07 |

ตาราง ก.7 แสดงข้อมูลการหาค่า k ของน้ำดินบ้านครับ โดยใช้ชุดทดสอบ Falling Head – Rising Tail ตัวอย่างที่ 1

| Time (sec) | Cell Pressure | | Head Pressure | | Tail Pressure | | Qin/Qout | k |
|---------------|---------------|------------------------|---------------|------------------------|---------------|------------------------|----------|----------|
| | He (cm) | H _p (cm) | He (cm) | H _p (cm) | He (cm) | H _p (cm) | (cc/cc) | (cm/sec) |
| 0 | 32.90 | 2400.00 | 34.30 | 2000.00 | 12.50 | 1000.00 | - | - |
| 300 | 32.90 | 2400.00 | 33.50 | 2000.00 | 13.00 | 1000.00 | 1.60 | 7.25E-06 |
| 1800 | 32.90 | 2400.00 | 31.00 | 2000.00 | 15.30 | 1000.00 | 1.09 | 5.37E-06 |
| 3600 | 32.90 | 2400.00 | 28.20 | 2000.00 | 18.40 | 1000.00 | 0.90 | 5.53E-06 |
| 7200 | 32.90 | 2400.00 | 22.40 | 2000.00 | 24.10 | 1000.00 | 1.02 | 5.44E-06 |
| Average | | | | | | | | 5.90E-06 |

ตาราง ก.8 แสดงข้อมูลการหาค่า k ของบ่อดินป้านครับ โดยใช้ชุดทดสอบ Falling Head – Rising Tail ตัวอย่างที่ 2

| Time (sec) | Cell Pressure | | Head Pressure | | Tail Pressure | | Qin/Qout | k |
|---------------|---------------|---------|---------------|---------|---------------|---------|----------|----------|
| | He (cm) | Hp (cm) | He (cm) | Hp (cm) | He (cm) | Hp (cm) | (cc/cc) | (cm/sec) |
| 0 | 17.10 | 2000.00 | 18.60 | 1600.00 | 17.30 | 1000.00 | - | - |
| 720 | 17.10 | 2000.00 | 18.20 | 1600.00 | 18.30 | 1000.00 | 0.40 | 5.53E-06 |
| 1980 | 17.10 | 2000.00 | 17.10 | 1600.00 | 19.40 | 1000.00 | 1.00 | 4.98E-06 |
| 3600 | 17.10 | 2000.00 | 16.90 | 1600.00 | 20.80 | 1000.00 | 0.14 | 2.83E-06 |
| 5400 | 17.10 | 2000.00 | 16.10 | 1600.00 | 22.10 | 1000.00 | 0.62 | 3.35E-06 |
| Average | | | | | | | 4.17E-06 | |



ตาราง ก.9 แสดงข้อมูลการหาค่า k ของบ่อคินบ้านตับ โดยใช้ชุดทดสอบ Falling Head – Rising Tail ตัวอย่างที่ 3

| Time (sec) | Cell Pressure | | Head Pressure | | Tail Pressure | | Qin/Qout (cc/cc) | k (cm/sec) |
|---------------|---------------|---------------------|---------------|---------------------|---------------|---------------------|---------------------|-----------------|
| | He (cm) | H _p (cm) | He (cm) | H _p (cm) | He (cm) | H _p (cm) | | |
| 0 | 28.20 | 2200.00 | 22.60 | 2000.00 | 30.40 | 1000.00 | - | - |
| 900 | 28.20 | 2200.00 | 21.90 | 2000.00 | 30.90 | 1000.00 | 1.40 | 2.30E-06 |
| 1800 | 28.20 | 2200.00 | 21.40 | 2000.00 | 31.50 | 1000.00 | 0.83 | 2.11E-06 |
| 2700 | 28.20 | 2200.00 | 20.90 | 2000.00 | 31.90 | 1000.00 | 1.25 | 1.73E-06 |
| 3600 | 28.20 | 2200.00 | 20.30 | 2000.00 | 32.40 | 1000.00 | 1.20 | 2.11E-06 |
| 4500 | 28.20 | 2200.00 | 19.80 | 2000.00 | 32.80 | 1000.00 | 1.25 | 1.73E-06 |
| 5400 | 28.20 | 2200.00 | 19.40 | 2000.00 | 33.30 | 1000.00 | 0.80 | 1.73E-06 |
| 6000 | 28.20 | 2200.00 | 19.20 | 2000.00 | 33.50 | 1000.00 | 1.00 | 1.16E-06 |
| Average | | | | | | | | 1.84E-06 |

ตาราง ก.10 แสดงข้อมูลการหาค่า k ของบ่อคินบ้านดอนปีเหล็ก โดยใช้ชุดทดสอบ Falling Head – Rising Tail ตัวอย่างที่ 1

ตาราง ก.11 แสดงข้อมูลการหาค่า k ของบ่อคืนบ้านคอนปีเพล็ก โดยใช้ชุดทดสอบ Falling Head – Rising Tail ตัวอย่างที่ 2

| Time (sec) | Cell Pressure | | Head Pressure | | Tail Pressure | | Qin/Qout (cc/cc) | k (cm/sec) |
|---------------|---------------|------------|---------------|------------|---------------|------------|---------------------|-----------------|
| | He (cm) | Hp (cm) | He (cm) | Hp (cm) | He (cm) | Hp (cm) | | |
| 0 | 32.90 | 2400.00 | 27.50 | 2000.00 | 10.50 | 1000.00 | - | - |
| 3720 | 32.90 | 2400.00 | 27.40 | 2000.00 | 10.60 | 1000.00 | 1.00 | 9.04E-08 |
| 7260 | 32.90 | 2400.00 | 27.30 | 2000.00 | 10.70 | 1000.00 | 1.00 | 9.50E-08 |
| 10860 | 32.90 | 2400.00 | 27.20 | 2000.00 | 10.80 | 1000.00 | 1.00 | 9.34E-08 |
| Average | | | | | | | | 9.34E-08 |



ตาราง ก.12 แสดงข้อมูลการหาค่า k ของบ่อคินบ้านนาปีง โดยใช้ชุดทดสอบ Falling Head – Rising Tail ตัวอย่างที่ 1

ตาราง ก.13 แสดงข้อมูลการหาค่า k ของปั่นจักรยานปีอง โดยใช้ชุดทดสอบ Falling Head – Rising Tail ตัวอย่างที่ 2

ตาราง ก.14 แสดงข้อมูลการหาค่า k ของบ่อคืนบ้านนาป้องโภคใช้ชุดทดสอบ Falling Head – Rising Tail ตัวอย่างที่ 3

| Time (sec) | Cell Pressure | | Head Pressure | | Tail Pressure | | Qin/Qout (cc/cc) | k (cm/sec) |
|---------------|---------------|------------|---------------|------------|---------------|------------|---------------------|-----------------|
| | He (cm) | Hp (cm) | He (cm) | Hp (cm) | He (cm) | Hp (cm) | | |
| 0 | 17.30 | 1200.00 | 35.50 | 800.00 | 9.80 | 500.00 | - | - |
| 900 | 17.30 | 1200.00 | 34.40 | 800.00 | 11.10 | 500.00 | 0.85 | 1.40E-05 |
| 1800 | 17.30 | 1200.00 | 33.30 | 800.00 | 12.40 | 500.00 | 0.85 | 1.42E-05 |
| 2700 | 17.30 | 1200.00 | 32.30 | 800.00 | 13.50 | 500.00 | 0.91 | 1.25E-05 |
| 3600 | 17.30 | 1200.00 | 31.30 | 800.00 | 14.50 | 500.00 | 1.00 | 1.20E-05 |
| 4500 | 17.30 | 1200.00 | 30.10 | 800.00 | 15.50 | 500.00 | 1.20 | 1.32E-05 |
| 5400 | 17.30 | 1200.00 | 29.30 | 800.00 | 16.50 | 500.00 | 0.80 | 1.09E-05 |
| 6300 | 17.30 | 1200.00 | 28.70 | 800.00 | 17.00 | 500.00 | 1.20 | 6.69E-06 |
| 7200 | 17.30 | 1200.00 | 27.90 | 800.00 | 17.70 | 500.00 | 1.14 | 9.16E-06 |
| 8100 | 17.30 | 1200.00 | 27.20 | 800.00 | 18.20 | 500.00 | 1.40 | 7.36E-06 |
| 9000 | 17.30 | 1200.00 | 26.50 | 800.00 | 19.10 | 500.00 | 0.78 | 9.86E-06 |
| 10800 | 17.30 | 1200.00 | 22.80 | 800.00 | 22.80 | 500.00 | 1.00 | 2.31E-05 |
| Average | | | | | | | | 1.21E-05 |

ตาราง ก.15 แสดงข้อมูลการหาค่า k ของบ่อคินทเวดขาเดง โดยใช้ชุดทดสอบ Falling Head – Rising Tail ตัวอย่างที่ 1

| Time (sec) | Cell Pressure | | Head Pressure | | Tail Pressure | | Qin/Qout (cc/cc) | k (cm/sec) |
|---------------|---------------|------------------------|---------------|------------------------|---------------|------------------------|---------------------|-----------------|
| | He (cm) | H _p (cm) | He (cm) | H _p (cm) | He (cm) | H _p (cm) | | |
| 0 | 18.40 | 4000.00 | 24.40 | 3600.00 | 18.70 | 250.00 | - | - |
| 3600 | 18.40 | 4000.00 | 24.10 | 3600.00 | 19.10 | 250.00 | 0.75 | 9.91E-08 |
| 5400 | 18.40 | 4000.00 | 23.90 | 3600.00 | 19.30 | 250.00 | 1.00 | 1.13E-07 |
| 7260 | 18.40 | 4000.00 | 23.80 | 3600.00 | 19.40 | 250.00 | 1.00 | 5.48E-08 |
| 9000 | 18.40 | 4000.00 | 23.70 | 3600.00 | 19.50 | 250.00 | 1.00 | 5.86E-08 |
| 10800 | 18.40 | 4000.00 | 23.40 | 3600.00 | 19.70 | 250.00 | 1.50 | 1.42E-07 |
| Average | | | | | | | | 9.34E-08 |



ตาราง ก.16 แสดงข้อมูลการหาค่า k ของป้องกันหัวดูดเข้าแดง โดยใช้ชุดทดสอบ Falling Head – Rising Tail ตัวอย่างที่ 2

| Time (sec) | Cell Pressure | | Head Pressure | | Tail Pressure | | Qin/Qout | k |
|---------------|---------------|---------------------|---------------|---------------------|---------------|---------------------|----------|----------|
| | He (cm) | H _p (cm) | He (cm) | H _p (cm) | He (cm) | H _p (cm) | (cc/cc) | (cm/sec) |
| 0 | 19.60 | 4000.00 | 26.40 | 3600.00 | 7.20 | 250.00 | - | - |
| 1800 | 19.60 | 4000.00 | 26.20 | 3600.00 | 7.30 | 250.00 | 2.00 | 8.46E-08 |
| 3600 | 19.60 | 4000.00 | 26.10 | 3600.00 | 7.40 | 250.00 | 1.00 | 5.64E-08 |
| 5400 | 19.60 | 4000.00 | 26.00 | 3600.00 | 7.60 | 250.00 | 0.50 | 8.46E-08 |
| 7200 | 19.60 | 4000.00 | 25.90 | 3600.00 | 7.80 | 250.00 | 0.50 | 8.46E-08 |
| 9000 | 19.60 | 4000.00 | 25.60 | 3600.00 | 7.90 | 250.00 | 3.00 | 1.13E-07 |
| Average | | | | | | | | 8.46E-08 |

หมายเหตุ : A คือ พื้นที่หน้าตัดของตัวอย่างดิน มีค่าเท่ากับ 8.55 ตารางเซนติเมตร
 L คือ ความสูงตัวอย่างดิน มีค่าเท่ากับ 7.14 เซนติเมตร
 a คือ พื้นที่หน้าตัดของหลอดเกี้ว มีค่าเท่ากับ 4.1 ตารางเซนติเมตร

ตาราง ก.17 แสดงข้อมูลการหาค่า k ของบ่อคินบ้านปากช่อง โดยการทดสอบแบบความดันคงที่ และแบบความดันแปรเปลี่ยน ตัวอย่างที่ 1

| ชื่อบ่อคินบ้านปากช่อง | | | | | |
|----------------------------|--------------------|-----------------|-------------------------------|-----------|--------------------|
| น้ำหนักคินก่อนอัด | 160 | gm | เวลา | 3600 | sec |
| ปริมาณความชื้น | 17.56 | % | ศักย์ความสูงน้ำ (h1) | 593.6 | cm |
| พื้นที่หน้าตัดตัวอย่าง | 9.62 | cm ² | ศักย์ความสูงน้ำ (h2) | 590.7 | cm |
| ความสูงตัวอย่าง | 9.07 | cm | หน่วยน้ำหนักคินใน ธรรมชาติ | 1.899 | gm/cm ³ |
| พื้นที่หน้าตัด หลอดแก้ว | 4.1 | cm ² | หน่วยน้ำหนักคินแห้ง | 1.615 | gm/cm ³ |
| ปริมาณน้ำไหหลอก | 11.89 | cc | ผลต่างระดับน้ำ | 592.15 | cm |
| k Constant Head | มีหน่วยเป็น cm/sec | | | 5.259E-06 | |
| k Falling Head | มีหน่วยเป็น cm/sec | | | 5.253E-06 | |

ตาราง ก.18 แสดงข้อมูลการหาค่า k ของบ่อคินบ้านปากช่อง โดยการทดสอบแบบความดันคงที่ และแบบความดันแปรเปลี่ยน ตัวอย่างที่ 2

| ชื่อบ่อคินบ้านปากช่อง | | | | | |
|----------------------------|--------------------|-----------------|-------------------------------|-----------|--------------------|
| น้ำหนักคินก่อนอัด | 160 | gm | เวลา | 3600 | sec |
| ปริมาณความชื้น | 17.71 | % | ศักย์ความสูงน้ำ (h1) | 593 | cm |
| พื้นที่หน้าตัดตัวอย่าง | 9.62 | cm ² | ศักย์ความสูงน้ำ (h2) | 590.8 | cm |
| ความสูงตัวอย่าง | 8.5 | cm | หน่วยน้ำหนักคินใน ธรรมชาติ | 1.834 | gm/cm ³ |
| พื้นที่หน้าตัด หลอดแก้ว | 4.1 | cm ² | หน่วยน้ำหนักคินแห้ง | 1.558 | gm/cm ³ |
| ปริมาณน้ำไหหลอก | 9.02 | cc | ผลต่างระดับน้ำ | 591.9 | cm |
| k Constant Head | มีหน่วยเป็น cm/sec | | | 3.740E-06 | |
| k Falling Head | มีหน่วยเป็น cm/sec | | | 3.736E-06 | |

ตาราง ก.19 แสดงข้อมูลการหาค่า k ของบ่อคินบ้านตับ โดยการทดสอบแบบความดันคงที่และแบบความดันแปรเปลี่ยน ตัวอย่างที่ 1

| ชื่อบ่อคินบ้านตับ | | | | | |
|----------------------------|-------|--------|-------------------------------|-----------|----------|
| น้ำหนักดินก่อนอัด | 160 | g | เวลา | 3600 | sec |
| ปริมาณความชื้น | 13.86 | % | ศักย์ความสูงน้ำ (h_1) | 93.2 | cm |
| พื้นที่หน้าตัดตัวอย่าง | 9.62 | cm^2 | ศักย์ความสูงน้ำ (h_2) | 85.8 | cm |
| ความสูงตัวอย่าง | 8.92 | cm | หน่วยน้ำหนักดินใน ธรรมชาติ | 1.864 | g/cm^3 |
| พื้นที่หน้าตัด หลอดแก้ว | 4.1 | cm^2 | หน่วยน้ำหนักดินแห้ง | 1.637 | g/cm^3 |
| ปริมาณน้ำไหหลอก | 30.34 | cc | ผลต่างระดับน้ำ | 89.5 | cm |
| k Constant Head | | | มีหน่วยเป็น cm/sec | 8.731E-05 | |
| k Falling Head | | | มีหน่วยเป็น cm/sec | 8.726E-05 | |

ตาราง ก.20 แสดงข้อมูลการหาค่า k ของบ่อคินบ้านตับ โดยการทดสอบแบบความดันคงที่และแบบความดันแปรเปลี่ยน ตัวอย่างที่ 2

| ชื่อบ่อคินบ้านตับ | | | | | |
|----------------------------|-------|--------|-------------------------------|-----------|----------|
| น้ำหนักดินก่อนอัด | 160 | g | เวลา | 3600 | sec |
| ปริมาณความชื้น | 13.86 | % | ศักย์ความสูงน้ำ (h_1) | 94.3 | cm |
| พื้นที่หน้าตัดตัวอย่าง | 9.62 | cm^2 | ศักย์ความสูงน้ำ (h_2) | 92.9 | cm |
| ความสูงตัวอย่าง | 8.9 | cm | หน่วยน้ำหนักดินใน ธรรมชาติ | 1.869 | g/cm^3 |
| พื้นที่หน้าตัด หลอดแก้ว | 4.1 | cm^2 | หน่วยน้ำหนักดินแห้ง | 1.641 | g/cm^3 |
| ปริมาณน้ำไหหลอก | 5.74 | cc | ผลต่างระดับน้ำ | 93.6 | cm |
| k Constant Head | | | มีหน่วยเป็น cm/sec | 1.576E-05 | |
| k Falling Head | | | มีหน่วยเป็น cm/sec | 1.574E-05 | |

ตาราง ก.21 แสดงข้อมูลการหาค่า k ของบ่อคินบ้านนาป้อง โดยการทดสอบแบบความดันคงที่ และแบบความดันแปรเปลี่ยน ตัวอย่างที่ 1

| ชื่อบ่อคินบ้านนาป้อง | | | | | |
|---------------------------------------|-------|--------|-------------------------------|-----------|-----------|
| น้ำหนักดินก่อนอัด | 160 | gm | เวลา | 3600 | sec |
| ปริมาณความชื้น | 10.58 | % | ศักย์ความสูงน้ำ (h_1) | 94.8 | cm |
| พื้นที่หน้าตัดตัวอย่าง | 9.62 | cm^2 | ศักย์ความสูงน้ำ (h_2) | 86.9 | cm |
| ความสูงตัวอย่าง | 8.75 | cm | หน่วยน้ำหนักดินใน ธารมชาติ | 1.901 | gm/cm^3 |
| พื้นที่หน้าตัด หลอดเกี้ยว | 4.1 | cm^2 | หน่วยน้ำหนักดินแห้ง | 1.719 | gm/cm^3 |
| ปริมาณน้ำไหลออก | 32.39 | cc | ผลต่างระดับน้ำ | 90.85 | cm |
| k Constant Head มีหน่วยเป็น cm/sec | | | | 9.008E-05 | |
| k Falling Head มีหน่วยเป็น cm/sec | | | | 9.003E-05 | |

ตาราง ก.22 แสดงข้อมูลการหาค่า k ของบ่อคินบ้านนาป้อง โดยการทดสอบแบบความดันคงที่ และแบบความดันแปรเปลี่ยน ตัวอย่างที่ 2

| ชื่อบ่อคินบ้านนาป้อง | | | | | |
|---------------------------------------|-------|--------|-------------------------------|-----------|-----------|
| น้ำหนักดินก่อนอัด | 160 | gm | เวลา | 3600 | sec |
| ปริมาณความชื้น | 10.57 | % | ศักย์ความสูงน้ำ (h_1) | 94.6 | cm |
| พื้นที่หน้าตัดตัวอย่าง | 9.62 | cm^2 | ศักย์ความสูงน้ำ (h_2) | 90.9 | cm |
| ความสูงตัวอย่าง | 8.76 | cm | หน่วยน้ำหนักดินใน ธารมชาติ | 1.893 | gm/cm^3 |
| พื้นที่หน้าตัด หลอดเกี้ยว | 4.1 | cm^2 | หน่วยน้ำหนักดินแห้ง | 1.712 | gm/cm^3 |
| ปริมาณน้ำไหลออก | 15.17 | cc | ผลต่างระดับน้ำ | 92.75 | cm |
| k Constant Head มีหน่วยเป็น cm/sec | | | | 4.137E-05 | |
| k Falling Head มีหน่วยเป็น cm/sec | | | | 4.133E-05 | |

ตาราง ก.23 แสดงข้อมูลการหาค่า k ของบ่อคินทวัดเสือ โดยการทดสอบแบบความดันคงที่และแบบความดันแปรเปลี่ยน ตัวอย่างที่ 1

| ชื่อบ่อคินทวัดเสือ | | | | | |
|----------------------------|-------|--------|-------------------------------|--------------------|-----------|
| น้ำหนักดินก่อนอัด | 160 | gm | เวลา | 3600 | sec |
| ปริมาณความชื้น | 20.64 | % | ศักย์ความสูงน้ำ (h_1) | 1902 | cm |
| พื้นที่หน้าตัดตัวอย่าง | 9.62 | cm^2 | ศักย์ความสูงน้ำ (h_2) | 1900 | cm |
| ความสูงตัวอย่าง | 8.49 | cm | หน่วยน้ำหนักดินใน ธรรมชาติ | 1.959 | gm/cm^3 |
| พื้นที่หน้าตัด หลอดแก้ว | 4.1 | cm^2 | หน่วยน้ำหนักดินแห้ง | 1.624 | gm/cm^3 |
| ปริมาณน้ำไอลออก | 8.2 | cc | ผลต่างระดับน้ำ | 1901 | cm |
| k Constant Head | | | | มีหน่วยเป็น cm/sec | 1.057E-06 |
| k Falling Head | | | | มีหน่วยเป็น cm/sec | 1.056E-06 |

ตาราง ก.24 แสดงข้อมูลการหาค่า k ของบ่อคินทวัดเสือ โดยการทดสอบแบบความดันคงที่และแบบความดันแปรเปลี่ยน ตัวอย่างที่ 2

| ชื่อบ่อคินทวัดเสือ | | | | | |
|----------------------------|-------|--------|-------------------------------|--------------------|-----------|
| น้ำหนักดินก่อนอัด | 160 | gm | เวลา | 3600 | sec |
| ปริมาณความชื้น | 20.64 | % | ศักย์ความสูงน้ำ (h_1) | 1897.8 | cm |
| พื้นที่หน้าตัดตัวอย่าง | 9.62 | cm^2 | ศักย์ความสูงน้ำ (h_2) | 1896.1 | cm |
| ความสูงตัวอย่าง | 8.49 | cm | หน่วยน้ำหนักดินใน ธรรมชาติ | 1.959 | gm/cm^3 |
| พื้นที่หน้าตัด หลอดแก้ว | 4.1 | cm^2 | หน่วยน้ำหนักดินแห้ง | 1.624 | gm/cm^3 |
| ปริมาณน้ำไอลอออก | 6.97 | cc | ผลต่างระดับน้ำ | 1896.9 | cm |
| k Constant Head | | | | มีหน่วยเป็น cm/sec | 9.008E-07 |
| k Falling Head | | | | มีหน่วยเป็น cm/sec | 8.997E-07 |

ตาราง ก.25 แสดงข้อมูลการหาค่า k ของปั่อดินบ้านดอนปี้เหล็ก โดยการทดสอบแบบความดันคงที่และแบบความดันเปลี่ยน ตัวอย่างที่ 1

| ชื่อปั่อดินบ้านดอนปี้เหล็ก | | | | | |
|----------------------------|-------|--------|-------------------------------|-----------|-----------|
| น้ำหนักดินก่อนอัด | 160 | gm | เวลา | 3600 | sec |
| ปริมาณความชื้น | 17.03 | % | ศักย์ความสูงน้ำ (h_1) | 101.8 | cm |
| พื้นที่หน้าตัดตัวอย่าง | 9.62 | cm^2 | ศักย์ความสูงน้ำ (h_2) | 99.1 | cm |
| ความสูงตัวอย่าง | 8.5 | cm | หน่วยน้ำหนักดินใน ธรรมชาติ | 1.957 | gm/cm^3 |
| พื้นที่หน้าตัด หลอดแก้ว | 4.1 | cm^2 | หน่วยน้ำหนักดินแห้ง | 1.672 | gm/cm^3 |
| ปริมาณน้ำไหลออก | 11.07 | cc | ผลต่างระดับน้ำ | 100.45 | cm |
| k Constant Head | | | มีหน่วยเป็น cm/sec | 2.705E-05 | |
| k Falling Head | | | มีหน่วยเป็น cm/sec | 2.702E-05 | |

ตาราง ก.26 แสดงข้อมูลการหาค่า k ของปั่อดินบ้านดอนปี้เหล็ก โดยการทดสอบแบบความดันคงที่และแบบความดันเปลี่ยน ตัวอย่างที่ 2

| ชื่อปั่อดินบ้านดอนปี้เหล็ก | | | | | |
|----------------------------|-------|--------|-------------------------------|-----------|-----------|
| น้ำหนักดินก่อนอัด | 160 | gm | เวลา | 3600 | sec |
| ปริมาณความชื้น | 17.03 | % | ศักย์ความสูงน้ำ (h_1) | 101.7 | cm |
| พื้นที่หน้าตัดตัวอย่าง | 9.62 | cm^2 | ศักย์ความสูงน้ำ (h_2) | 99.9 | cm |
| ความสูงตัวอย่าง | 8.5 | cm | หน่วยน้ำหนักดินใน ธรรมชาติ | 1.957 | gm/cm^3 |
| พื้นที่หน้าตัด หลอดแก้ว | 4.1 | cm^2 | หน่วยน้ำหนักดินแห้ง | 1.672 | gm/cm^3 |
| ปริมาณน้ำไหลออก | 7.38 | cc | ผลต่างระดับน้ำ | 100.8 | cm |
| k Constant Head | | | มีหน่วยเป็น cm/sec | 1.797E-05 | |
| k Falling Head | | | มีหน่วยเป็น cm/sec | 1.795E-05 | |

ตาราง ก.27 แสดงข้อมูลการหาค่า k ของบ่ออุดนทวัดเข้าเดง โดยการทดสอบแบบความดันคงที่ และแบบความดันแปรเปลี่ยน ตัวอย่างที่ 1

| ชื่อบ่ออุดนทวัดเข้าเดง | | | | | |
|----------------------------|------|-----------------|-------------------------------|-----------|--------------------|
| น้ำหนักดินก่อนอัด | 160 | gm | เวลา | 3600 | sec |
| ปริมาณความชื้น | 13.6 | % | ศักย์ความสูงน้ำ (h_1) | 2800.7 | cm |
| พื้นที่หน้าตัดตัวอย่าง | 9.62 | cm ² | ศักย์ความสูงน้ำ (h_2) | 2799.4 | cm |
| ความสูงตัวอย่าง | 8.4 | cm | หน่วยน้ำหนักดินใน ธรรมชาติ | 1.980 | gm/cm ³ |
| พื้นที่หน้าตัด หลอดแก้ว | 4.1 | cm ² | หน่วยน้ำหนักดินแห้ง | 1.743 | gm/cm ³ |
| ปริมาณน้ำไอลอออก | 5.33 | cc | ผลต่างระดับน้ำ | 2800.05 | cm |
| k Constant Head | | | มีหน่วยเป็น cm/sec | 4.617E-07 | |
| k Falling Head | | | มีหน่วยเป็น cm/sec | 4.612E-07 | |

ตาราง ก.28 แสดงข้อมูลการหาค่า k ของบ่ออุดนทวัดเข้าเดง โดยการทดสอบแบบความดันคงที่ และแบบความดันแปรเปลี่ยน ตัวอย่างที่ 2

| ชื่อบ่ออุดนทวัดเข้าเดง | | | | | |
|----------------------------|------|-----------------|-------------------------------|-----------|--------------------|
| น้ำหนักดินก่อนอัด | 160 | gm | เวลา | 3600 | sec |
| ปริมาณความชื้น | 13.6 | % | ศักย์ความสูงน้ำ (h_1) | 2800.8 | cm |
| พื้นที่หน้าตัดตัวอย่าง | 9.62 | cm ² | ศักย์ความสูงน้ำ (h_2) | 2799.5 | cm |
| ความสูงตัวอย่าง | 8.31 | cm | หน่วยน้ำหนักดินใน ธรรมชาติ | 2.001 | gm/cm ³ |
| พื้นที่หน้าตัด หลอดแก้ว | 4.1 | cm ² | หน่วยน้ำหนักดินแห้ง | 1.761 | gm/cm ³ |
| ปริมาณน้ำไอลอออก | 5.33 | cc | ผลต่างระดับน้ำ | 2800.15 | cm |
| k Constant Head | | | มีหน่วยเป็น cm/sec | 4.567E-07 | |
| k Falling Head | | | มีหน่วยเป็น cm/sec | 4.562E-07 | |

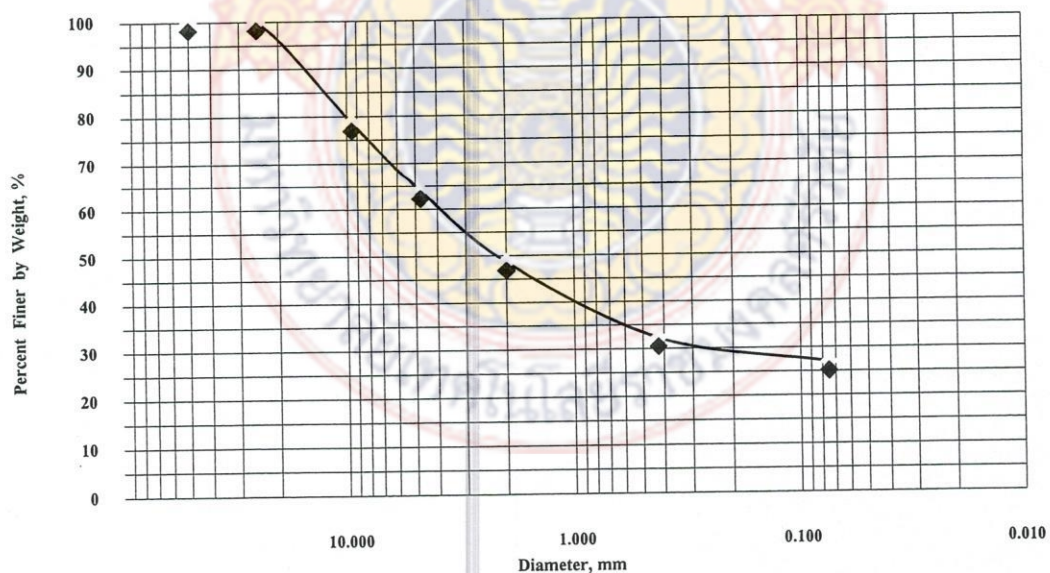
ภาคพนวก ๖

ตารางค่าคุณสมบัติต่างๆ ของคินແຕ່ລະຫັດ



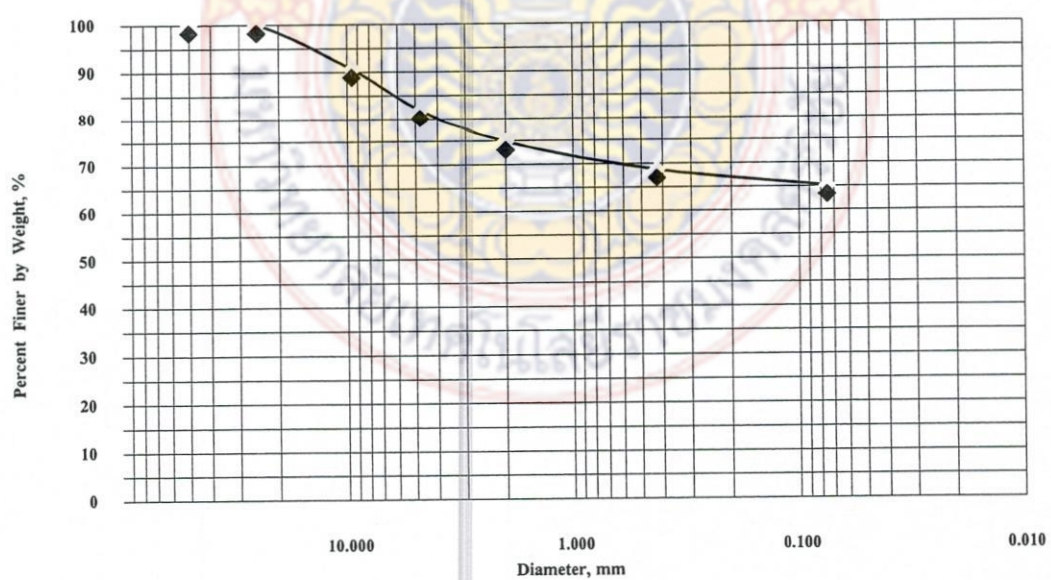
ตาราง ข.1 ข้อมูลการทดสอบหาขนาดคละของบ่อคินบ้านปากช่อง

| SIEVE ANALYSIS | | | | |
|----------------|-------------------------|--------------------------------|---|---|
| Sieve Number | Weight Sample , (gm) | Weight Sample Retained, (%) | Percent of Cumulative Retained, (%) | Percent of Finner or Passing, (%) |
| 2" | 0.0 | 0.00 | 0.00 | 100.00 |
| 1" | 0.0 | 0.00 | 0.00 | 100.00 |
| 3/8" | 319.4 | 21.29 | 21.29 | 78.71 |
| No. 4 | 221.4 | 14.76 | 36.06 | 63.94 |
| No. 10 | 228.5 | 15.23 | 51.29 | 48.71 |
| No. 40 | 246.9 | 16.46 | 67.75 | 32.25 |
| No. 200 | 80.3 | 5.35 | 73.10 | 26.90 |
| pan | 403.5 | 26.90 | 100.00 | - |
| | 1,500.0 | | | |



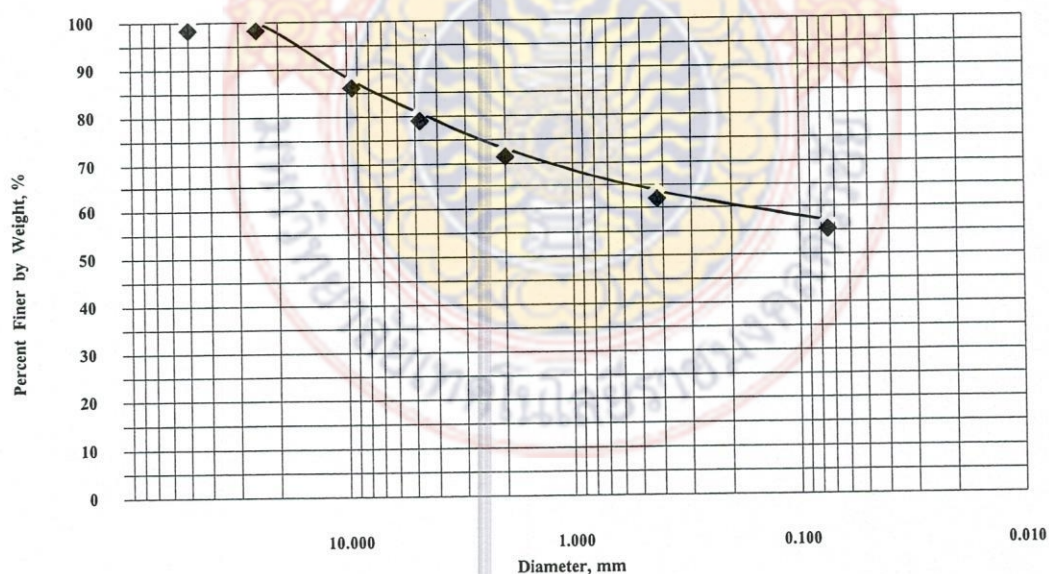
ตาราง ข.2 ข้อมูลการทดสอบหาขนาดคละของบ่อคินบ้านทวดเสื่อ

| SIEVE ANALYSIS | | | | |
|----------------|-------------------------|--------------------------------|---|---|
| Sieve Number | Weight Sample , (gm) | Weight Sample Retained, (%) | Percent of Cumulative Retained, (%) | Percent of Finner or Passing, (%) |
| 2" | 0.0 | 0.00 | 0.00 | 100.00 |
| 1" | 0.0 | 0.00 | 0.00 | 100.00 |
| 3/8" | 140.8 | 9.38 | 9.38 | 90.62 |
| No. 4 | 131.4 | 8.76 | 18.14 | 81.86 |
| No. 10 | 105.4 | 7.03 | 25.17 | 74.83 |
| No. 40 | 92.4 | 6.16 | 31.33 | 68.67 |
| No. 200 | 53.5 | 3.57 | 34.89 | 65.11 |
| pan | 976.6 | 65.11 | 100.00 | - |
| | 1,500.0 | | | |



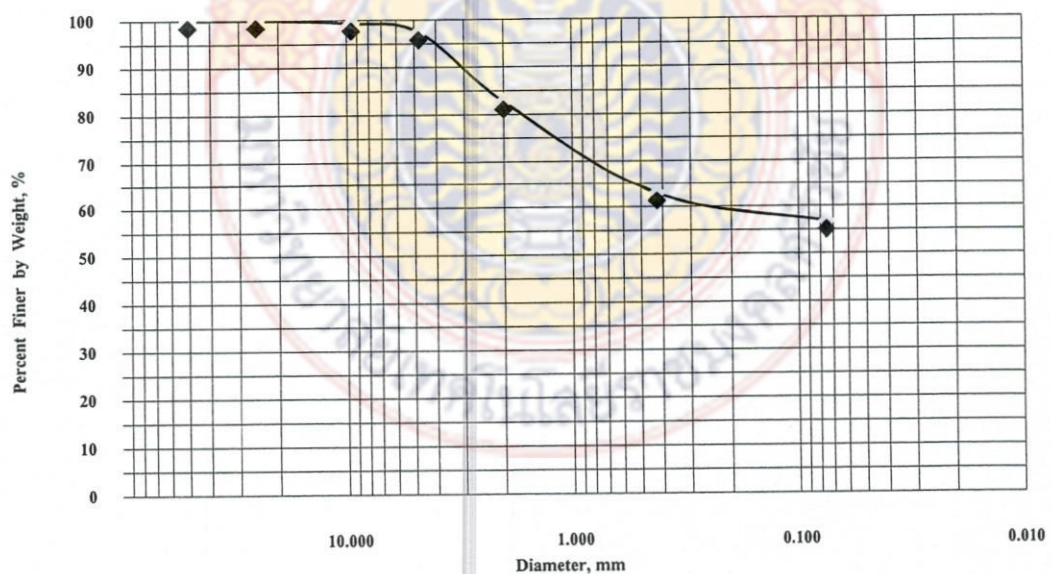
ตาราง บ.3 ข้อมูลการทดสอบหาขนาดคละของบ่อคินบ้านครับ

| SIEVE ANALYSIS | | | | |
|----------------|-------------------------|--------------------------------|---|---|
| Sieve Number | Weight Sample , (gm) | Weight Sample Retained, (%) | Percent of Cumulative Retained, (%) | Percent of Finner or Passing, (%) |
| 2" | 0.0 | 0.00 | 0.00 | 100.00 |
| 1" | 0.0 | 0.00 | 0.00 | 100.00 |
| 3/8" | 184.2 | 12.28 | 12.28 | 87.72 |
| No. 4 | 105.3 | 7.02 | 19.30 | 80.70 |
| No. 10 | 113.6 | 7.57 | 26.87 | 73.13 |
| No. 40 | 144.1 | 9.61 | 36.48 | 63.52 |
| No. 200 | 97.6 | 6.50 | 42.98 | 57.02 |
| pan | 855.3 | 57.02 | 100.00 | - |
| | 1,500.0 | | | |



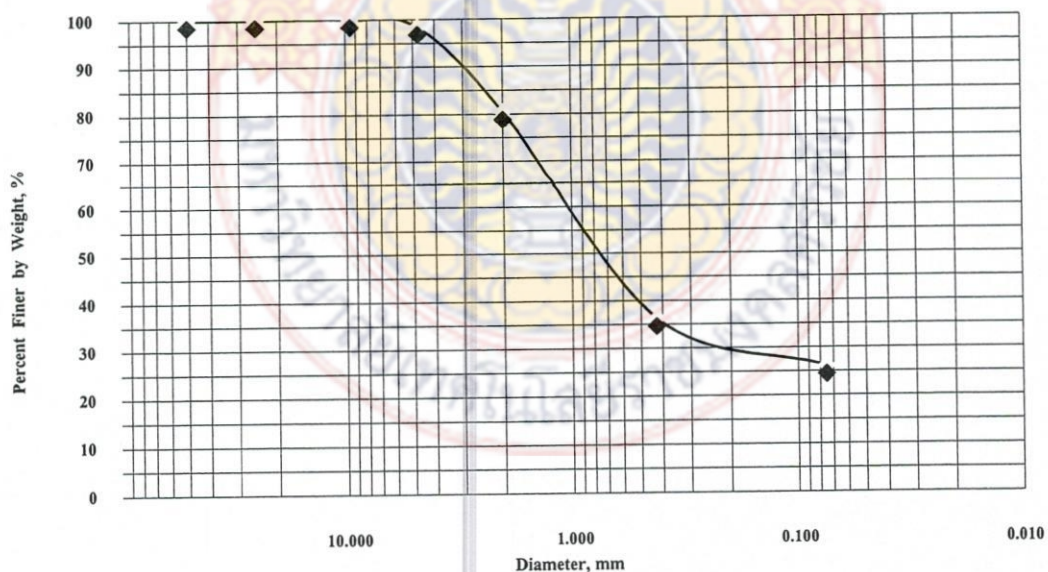
ตาราง ข.4 ข้อมูลการทดสอบหาขนาดคละของบ่อคินบ้านคอนปีเพล็ก

| SIEVE ANALYSIS | | | | |
|----------------|-------------------------|--------------------------------|---|---|
| Sieve Number | Weight Sample , (gm) | Weight Sample Retained, (%) | Percent of Cumulative Retained, (%) | Percent of Finner or Passing, (%) |
| 2" | 0.0 | 0.00 | 0.00 | 100.00 |
| 1" | 0.0 | 0.00 | 0.00 | 100.00 |
| 3/8" | 10.3 | 0.68 | 0.68 | 99.32 |
| No. 4 | 29.1 | 1.94 | 2.63 | 97.37 |
| No. 10 | 220.4 | 14.69 | 17.32 | 82.68 |
| No. 40 | 297.5 | 19.83 | 37.15 | 62.85 |
| No. 200 | 91.5 | 6.10 | 43.25 | 56.75 |
| pan | 851.3 | 56.75 | 100.00 | - |
| | 1,500.0 | | | |



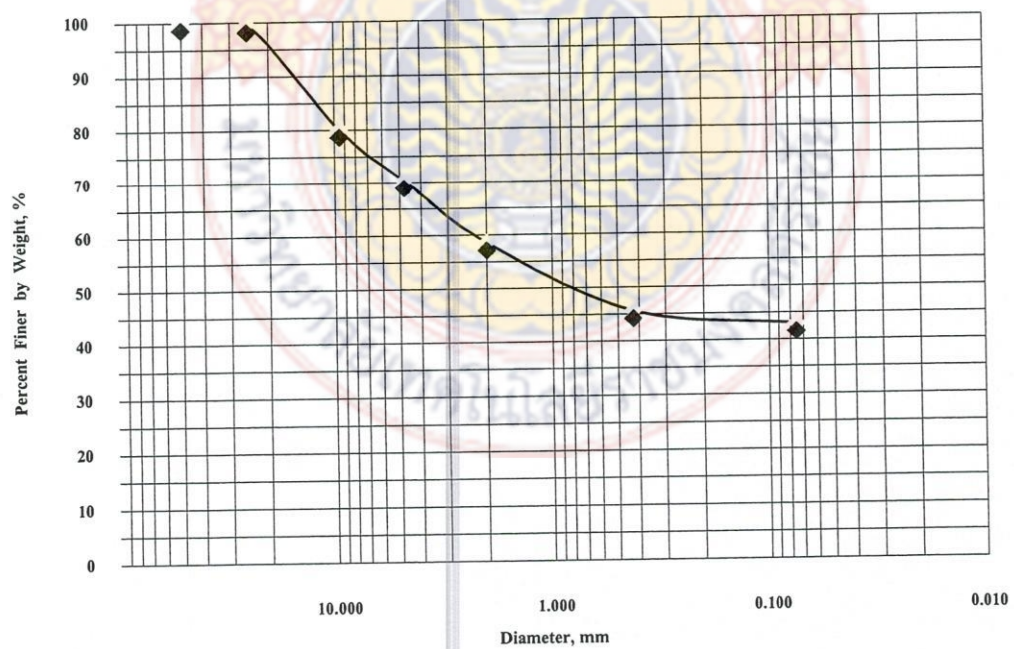
ตาราง ข.5 ข้อมูลการทดสอบขนาดคละของบ่อคินบ้านนาป่อง

| SIEVE ANALYSIS | | | | |
|----------------|-------------------------|--------------------------------|---|---|
| Sieve Number | Weight Sample , (gm) | Weight Sample Retained, (%) | Percent of Cumulative Retained, (%) | Percent of Finner or Passing, (%) |
| 2" | 0.0 | 0.00 | 0.00 | 100.00 |
| 1" | 0.0 | 0.00 | 0.00 | 100.00 |
| 3/8" | 0.0 | 0.00 | 0.00 | 100.00 |
| No. 4 | 24.5 | 1.63 | 1.63 | 98.37 |
| No. 10 | 269.4 | 17.96 | 19.59 | 80.41 |
| No. 40 | 661.2 | 44.08 | 63.67 | 36.33 |
| No. 200 | 153.5 | 10.23 | 73.90 | 26.10 |
| pan | 391.4 | 26.10 | 100.00 | - |
| | 1,500.0 | | | |



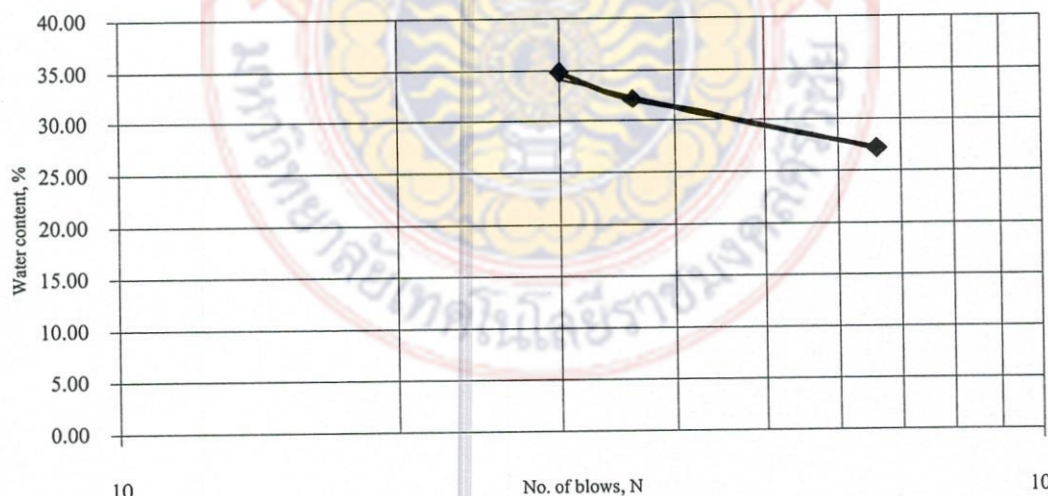
ตาราง ข.6 ข้อมูลการทดสอบหาขนาดคละของบ่อคินทวตเข้าเดง

| SIEVE ANALYSIS | | | | |
|----------------|-------------------------|--------------------------------|---|---|
| Sieve Number | Weight Sample , (gm) | Weight Sample Retained, (%) | Percent of Cumulative Retained, (%) | Percent of Finner or Passing, (%) |
| 2" | 0.0 | 0.00 | 0.00 | 100.00 |
| 1" | 6.0 | 0.40 | 0.40 | 99.60 |
| 3/8" | 292.9 | 19.53 | 19.93 | 80.07 |
| No. 4 | 145.9 | 9.73 | 29.65 | 70.35 |
| No. 10 | 176.5 | 11.77 | 41.42 | 58.58 |
| No. 40 | 193.4 | 12.90 | 54.32 | 45.68 |
| No. 200 | 40.0 | 2.67 | 56.98 | 43.02 |
| pan | 645.3 | 43.02 | 100.00 | - |
| | 1,500.0 | | | |



ตาราง ข.7 ข้อมูลการทดสอบหาขีดจำกัดของอัตเตอร์เบอร์กของบ่อคืนบ้านปากช่อง

| Water Content Determination | Liquid Limit, LL | | | Natural water content, w_n | Plastic Limit, PL | | |
|---------------------------------|------------------|-------|-------|---------------------------------|-------------------|-------|-------|
| | 1 | 2 | 3 | | 1 | 2 | 3 |
| Container Number | 1 | 2 | 3 | 1 | 1 | 2 | 3 |
| Wet soil + container, gm | 30.27 | 33.48 | 32.25 | 30.21 | 20.95 | 22.89 | 20.10 |
| Dry soil + container, gm | 26.82 | 29.47 | 28.90 | 30.07 | 20.23 | 21.76 | 19.63 |
| Water, gm | 3.45 | 4.01 | 3.35 | 0.14 | 0.72 | 1.13 | 0.47 |
| Container, gm | 16.92 | 17.03 | 16.58 | 17.42 | 17.34 | 16.76 | 16.61 |
| Dry soil, gm | 9.90 | 12.44 | 12.32 | 12.65 | 2.89 | 5.00 | 3.02 |
| Water content, % | 34.85 | 32.23 | 27.19 | 1.11 | 24.91 | 22.60 | 15.56 |
| Number of blows | 30 | 36 | 66 | 1.11 | 21.03 | | |
| Average, % | 31.42 | | | | 21.03 | | |
| Liquid limit | 35.30 | | | | | | |
| Plasticity Index, PI = LL-PL | 14.27 | | | | | | |



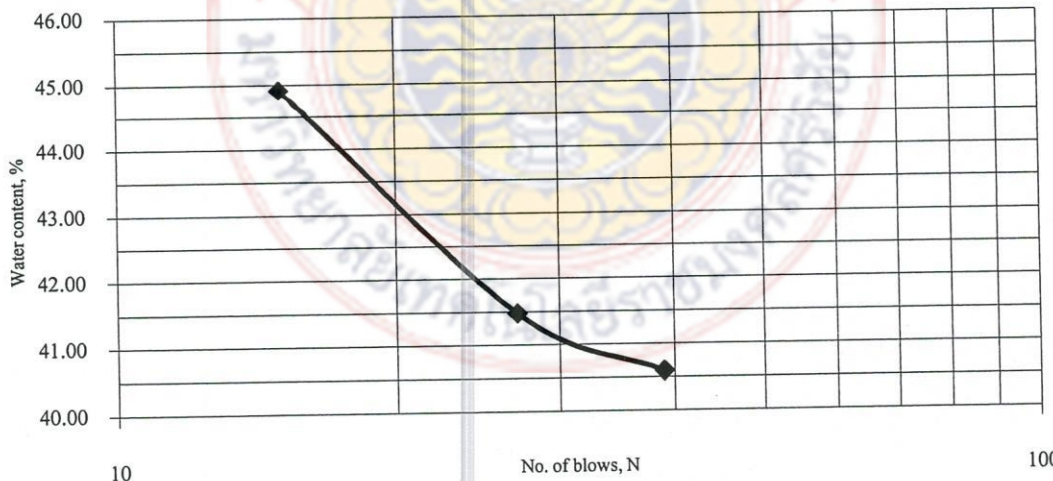
10

No. of blows, N

100

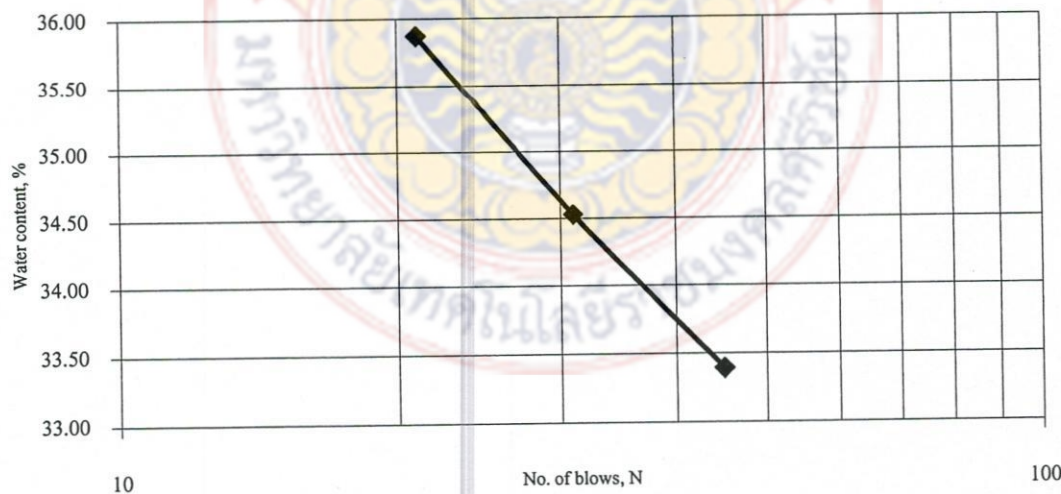
ตาราง ข.8 ข้อมูลการทดสอบหาขีดจำกัดของอัตเตอร์เบอร์กของบ่อคินทวัดเสือ

| Water Content Determination | Liquid Limit, LL | | | Natural water content, w_n | Plastic Limit, PL | | |
|---------------------------------|------------------|-------|-------|---------------------------------|-------------------|-------|-------|
| | 1 | 2 | 3 | | 1 | 2 | 3 |
| Container Number | 1 | 2 | 3 | 1 | 1 | 2 | 3 |
| Wet soil + container, gm | 36.48 | 30.22 | 35.36 | 55.04 | 20.49 | 18.17 | 18.23 |
| Dry soil + container, gm | 30.83 | 26.35 | 29.54 | 54.62 | 20.20 | 18.04 | 17.94 |
| Water, gm | 5.65 | 3.87 | 5.82 | 0.42 | 0.29 | 0.13 | 0.29 |
| Container, gm | 16.91 | 17.02 | 16.58 | 16.48 | 16.48 | 16.81 | 16.71 |
| Dry soil, gm | 13.92 | 9.33 | 12.96 | 38.14 | 3.72 | 1.23 | 1.23 |
| Water content, % | 40.59 | 41.48 | 44.91 | 1.10 | 7.80 | 10.57 | 23.58 |
| Number of blows | 39 | 27 | 15 | 1.10 | 13.98 | | |
| Average, % | 42.33 | | | | | | |
| Liquid limit | 41.82 | | | | | | |
| Plasticity Index, PI = LL-PL | 27.84 | | | | | | |



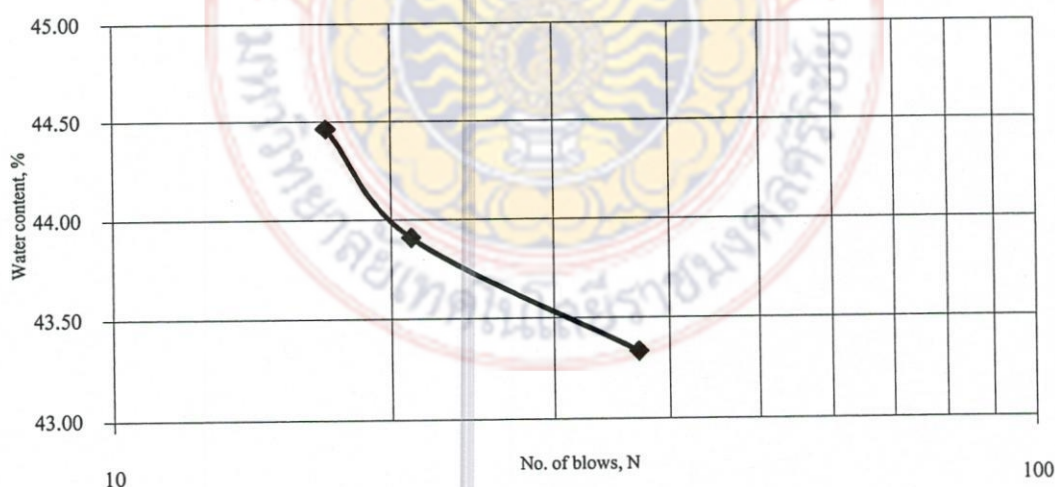
ตาราง ข.9 ข้อมูลการทดสอบหาจุดจำกัดของอัตเตอร์เบอร์กของบ่อคืนบ้านตรับ

| Water Content Determination | Liquid Limit, LL | | | Natural water content, w_n | Plastic Limit, PL | | |
|---------------------------------|------------------|-------|-------|---------------------------------|-------------------|-------|-------|
| | 1 | 2 | 3 | | 1 | 2 | 3 |
| Container Number | 1 | 2 | 3 | 1 | 1 | 2 | 3 |
| Wet soil + container, gm | 33.45 | 30.34 | 27.94 | 55.44 | 20.78 | 19.76 | 20.17 |
| Dry soil + container, gm | 29.48 | 26.97 | 25.16 | 54.96 | 19.86 | 19.20 | 19.26 |
| Water, gm | 3.97 | 3.37 | 2.78 | 0.48 | 0.92 | 0.56 | 0.91 |
| Container, gm | 17.59 | 17.21 | 17.41 | 16.68 | 16.67 | 16.80 | 16.70 |
| Dry soil, gm | 11.89 | 9.76 | 7.75 | 38.28 | 3.19 | 2.40 | 2.56 |
| Water content, % | 33.39 | 34.53 | 35.87 | 1.25 | 28.84 | 23.33 | 35.55 |
| Number of blows | 45 | 31 | 21 | 1.25 | 29.24 | | |
| Average, % | 34.60 | | | | | | |
| Liquid limit | 35.25 | | | | | | |
| Plasticity Index, PI = LL-PL | 6.01 | | | | | | |



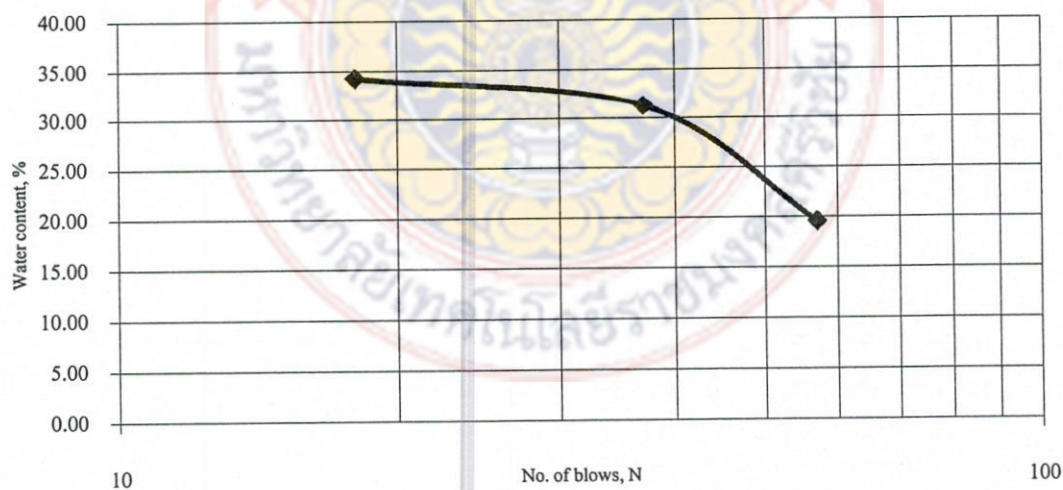
ตาราง ข.10 ข้อมูลการทดสอบหาปีกจำกัดของอัตเตอร์เบอร์กของบ่อคืนบ้านคอนชีเหล็ก

| Water Content Determination | Liquid Limit, LL | | | Natural water content, w_n | Plastic Limit, PL | | | | | |
|---------------------------------|------------------|-------|-------|---------------------------------|-------------------|-------|-------|--|--|--|
| | 1 | 2 | 3 | | 1 | 2 | 3 | | | |
| Container Number | 1 | 2 | 3 | 1 | 1 | 2 | 3 | | | |
| Wet soil + container, gm | 28.25 | 30.39 | 25.56 | 48.01 | 19.85 | 20.17 | 20.38 | | | |
| Dry soil + container, gm | 24.87 | 26.39 | 23.07 | 44.00 | 19.20 | 19.45 | 19.54 | | | |
| Water, gm | 3.38 | 4.00 | 2.49 | 4.01 | 0.65 | 0.72 | 0.84 | | | |
| Container, gm | 17.07 | 17.28 | 17.47 | 11.78 | 17.06 | 17.57 | 17.24 | | | |
| Dry soil, gm | 7.80 | 9.11 | 5.60 | 32.22 | 2.14 | 1.88 | 2.30 | | | |
| Water content, % | 43.33 | 43.91 | 44.46 | 12.45 | 30.37 | 38.30 | 36.52 | | | |
| Number of blows | 37 | 21 | 17 | 12.45 | 35.06 | | | | | |
| Average, % | 43.90 | | | | | | | | | |
| Liquid limit | 43.60 | | | | | | | | | |
| Plasticity Index, PI = LL-PL | 8.54 | | | | | | | | | |



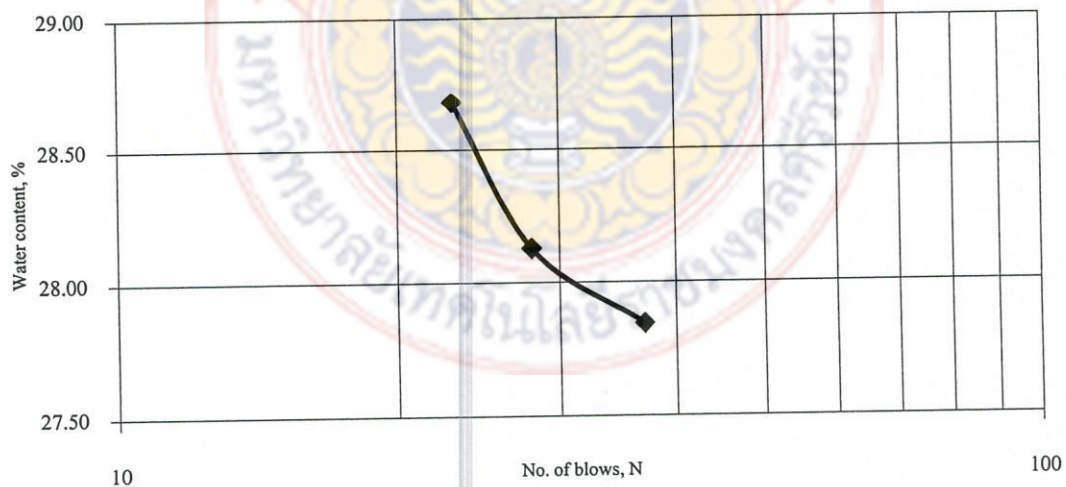
ตาราง บ.11 ข้อมูลการทดสอบหาปีกจำกัดของอัตเตอร์เบอร์กของบ่อคินบ้านนาป่อง

| Water Content Determination | Liquid Limit, LL | | | Natural water content, w_n | Plastic Limit, PL | | | | | |
|---------------------------------|------------------|-------|-------|---------------------------------|-------------------|-------|-------|--|--|--|
| | 1 | 2 | 3 | | 1 | 2 | 3 | | | |
| Container Number | 1 | 2 | 3 | 1 | 1 | 2 | 3 | | | |
| Wet soil + container, gm | 28.90 | 31.28 | 33.31 | 96.79 | 23.21 | 21.08 | 17.96 | | | |
| Dry soil + container, gm | 27.01 | 27.97 | 29.30 | 94.34 | 22.13 | 20.39 | 16.74 | | | |
| Water, gm | 1.89 | 3.31 | 4.01 | 2.45 | 1.08 | 0.69 | 1.22 | | | |
| Container, gm | 17.34 | 17.38 | 17.60 | 17.42 | 17.32 | 17.66 | 12.11 | | | |
| Dry soil, gm | 9.67 | 10.59 | 11.70 | 76.92 | 4.81 | 2.73 | 4.63 | | | |
| Water content, % | 19.54 | 31.26 | 34.27 | 3.19 | 22.45 | 25.27 | 26.35 | | | |
| Number of blows | 57 | 37 | 18 | 3.19 | 24.69 | | | | | |
| Average, % | 28.36 | | | | 24.69 | | | | | |
| Liquid limit | 34.00 | | | | | | | | | |
| Plasticity Index, PI = LL-PL | 9.31 | | | | | | | | | |



ตาราง ข.12 ข้อมูลการทดสอบหาปีกจำพวกของอัตเตอร์เบอร์กของบ่อคืนทวัดเข้าเดิง

| Water Content Determination | Liquid Limit, LL | | | Natural water content, w_n | Plastic Limit, PL | | |
|---------------------------------|------------------|-------|-------|---------------------------------|-------------------|-------|-------|
| | 1 | 2 | 3 | | 1 | 2 | 3 |
| Container Number | 1 | 2 | 3 | 1 | 1 | 2 | 3 |
| Wet soil + container, gm | 36.98 | 38.00 | 43.66 | 58.36 | 17.85 | 22.79 | 25.01 |
| Dry soil + container, gm | 32.82 | 33.48 | 37.89 | 57.39 | 17.05 | 21.80 | 24.14 |
| Water, gm | 4.16 | 4.52 | 5.77 | 0.97 | 0.80 | 0.99 | 0.87 |
| Container, gm | 17.88 | 17.41 | 17.77 | 20.63 | 13.68 | 17.64 | 20.60 |
| Dry soil, gm | 14.94 | 16.07 | 20.12 | 36.76 | 3.37 | 4.16 | 3.54 |
| Water content, % | 27.84 | 28.13 | 28.68 | 2.64 | 23.74 | 23.80 | 24.58 |
| Number of blows | 37 | 28 | 23 | 2.64 | 24.04 | | |
| Average, % | 28.22 | | | | 24.04 | | |
| Liquid limit | 28.50 | | | | | | |
| Plasticity Index, PI = LL-PL | 4.46 | | | | | | |



ตาราง ข.13 ข้อมูลการทดสอบหาความถ่วงจำเพาะของเม็ดดินแต่ละบ่อดิน

| ข้อมูล | บ่อดิน | | | | | |
|---------------------------------------|--------------|---------|----------|----------------|---------|---------|
| | ทวัด เต็จ | ปากช่อง | บ้านตระบ | ดอน ชีเหล็ก | นาป้อง | เขาแดง |
| Flask., gm | 141.86 | 157.25 | 147.85 | 145.47 | 145.97 | 144.53 |
| Flask+ Water, gm | 639.31 | 654.42 | 644.98 | 643.05 | 642.37 | 642.11 |
| Flask+ Water+Soil, gm | 670.67 | 685.68 | 676.68 | 673.26 | 673.26 | 673.46 |
| Weight of Dry Soil, gm | 48.97 | 49.89 | 49.78 | 48.5 | 49.4 | 49.15 |
| Specific Gravity of Water at 27 °C | 0.99671 | 0.99671 | 0.99671 | 0.99671 | 0.99671 | 0.99671 |
| Specific Gravity of Soil | 2.777 | 2.719 | 2.749 | 2.648 | 2.665 | 2.757 |







การออกแบบและสร้างชุดทดสอบการซึมผ่าน

แบบความดันแปรเปลี่ยนหัวท้าย

Design and Construct

Falling Head – Rising Tail Testing Apparatus

สมมาคร์ สวัสดิ์^{1,*} จารุญ สมบูรณ์² และ อรุณ อัยรัก³

^{1,2,3} สาขาวิชวกรรมโยธา คณะวิศวกรรมศาสตร์ มหาวิทยาลัยเทคโนโลยีราชมงคลรัตนโกสินทร์ จ.สระบุรี

บทคัดย่อ

การศึกษานี้เป็นการออกแบบและสร้างชุดทดสอบ เพื่อหาค่าสัมประสิทธิ์การซึมผ่านของน้ำในดิน ซึ่งมีความสำคัญอย่างยิ่งในการออกแบบเชื่อม ถนน บ่อฝังกลบของ บ่อกักเก็บน้ำ งานถนนบดอัด ชุดดิน ดูดู โถงค์ กำแพงกันดิน และเส้นทางพากความลาดชัน ดังนั้น จึงได้ทำการออกแบบและสร้างชุดทดสอบการซึมผ่านแบบความดันแปรเปลี่ยนหัวท้าย เพื่อจำลองการซึมผ่านของน้ำในดิน โดยการนำข้าวค้อของชุดทดสอบแบบความดันคงที่ และความดันแปรเปลี่ยนมาปรับแก้ ซึ่งชุดทดสอบนี้สามารถแก้ปัญหาที่เกิดกับการทดสอบแบบความดันคงที่ และความดันแปรเปลี่ยน โดยสามารถจำลองสภาพดินตัวอย่างได้ใกล้เคียงกับสภาพในธรรมชาติจริงก่อนเก็บตัวอย่าง และสามารถตรวจสอบการอั่วน้ำของตัวอย่างได้ เช่นเดียวกับการทดสอบแรงอัดสามแกน และเซลล์บอร์จ ตัวอย่างจะเป็นแบบผนังอ่อน ตัวอย่างดินที่บรรจุอยู่ในเซลล์สามารถให้แรงดันโดยรอบตัวอย่าง ได้ จึงทำให้ผนังเซลล์แน่นสนิทกับดิน ป้องกันการซึมผ่านของน้ำทางด้านข้างได้ ทำให้ผลการทดสอบการซึมผ่านของน้ำในดินที่ได้ใกล้เคียงกับดินในธรรมชาติ ผลการศึกษาพบว่า ค่าที่ได้จากชุดทดสอบแบบความดันแปรเปลี่ยนหัวท้าย มีค่าสัมประสิทธิ์การซึมผ่านที่น้อยกว่าค่าสัมประสิทธิ์ของชุดทดสอบแบบความดันคงที่ และความดันแปรเปลี่ยน ซึ่งเป็นไปตามสมบูรณ์ที่ได้กำหนดไว้เพื่อแก้ปัญหาที่เกิดขึ้นกับการทดสอบแบบความดันคงที่ และความดันแปรเปลี่ยน นอกจากนี้ยังสามารถลดเวลาในการทดสอบตัวอย่างดิน และเพิ่มแรงดันได้สูงขึ้น นี่เป็นผลทำให้สามารถใช้ทดสอบกับดินที่มีค่าการซึมผ่านต่ำๆ ได้ดี ดังนั้นชุดทดสอบที่สร้างขึ้นมาานี้สามารถนำไปใช้ในการหาค่าสัมประสิทธิ์การซึมผ่านได้จริง

คำสำคัญ: สัมประสิทธิ์การซึมผ่าน, ความดันแปรเปลี่ยนหัวท้าย, ความดันคงที่, ความดันแปรเปลี่ยน

Abstract

This study is the design and constructs the apparatus for testing the coefficients of soil permeability which are important for designing dams, streets, landfills, water retention ponds, compaction work, excavation work, tunnels, retaining walls and slope stability. Thus, the design and construction of the permeability testing apparatus on Falling Head-Rising Tail used for simulating the soil permeability was proposed herein by correcting the shortcomings of the Constant Head and Variable Head (Falling Head) testing apparatus (conventional methods). The proposed apparatus can simulate the in situ soil state before soil sampling and can check the saturation of the samples as same as the tri-axial testing apparatus does. The wall around the soil samples is flexible and can reduce the leakage of the fluid between the soil sample and the wall. The results of the study indicate that the coefficients of permeability of Falling Head-Rising Tail testing apparatus are less than those of the conventional methods, corresponding to the hypothesis that was set up to solve the problems. The Falling Head-Rising Tail testing apparatus can reduce the testing time, increasing the pressure to be higher. This allows the apparatus to be used for the soils with very low coefficient of permeability. Therefore, the Falling Head-Rising Tail testing apparatus proposed herein can be really used for determining the coefficients of soil permeability.

Keywords: coefficient of permeability, Falling Head – Rising Tail, Constant Head, Variable Head

* ผู้เขียนผู้รับผิดชอบบทความ (Corresponding author)

E-mail address: sswasdi@hotmail.com

1. คำนำ

ค่าสัมประสิทธิ์การซึมผ่าน (Coefficient of Permeability, Hydraulic Conductivity, k) ของน้ำในดินมีความสำคัญอย่างยิ่งในงานวิศวกรรมโยธา โดยเฉพาะทางด้านวิศวกรรมธรณีเทคนิค (Geotechnical Engineering) ซึ่งจะนำไปใช้ในงาน เช่น ถนน บ่อฝังกลุ่มฯ บ่อเก็บน้ำ งานดูดดัก งานขุดดิน อุโมงค์ กำแพงกันดิน เส้นทางความลาดชัน ซึ่งในการหาค่า สัมประสิทธิ์การซึมผ่านของน้ำในดิน โดยทั่วไปจะเก็บตัวอย่างดินจากใน สถานที่มาตรฐานที่ได้มาแล้ว หรือในห้องปฏิบัติการ โดยการทดสอบนั้นสามารถแบ่งได้ เป็น 2 วิธีหลักๆ คือ การทดสอบแบบความดันคงที่ (Constant Head) และ การทดสอบแบบความดันแปรเปลี่ยน (Variable Head หรือ Falling Head) ซึ่งทั้ง 2 วิธีนี้มีข้อด้อยของการทดสอบ คือ สามารถให้แรงดันของน้ำ ไม่ได้เท่าเดิม น้ำที่ถูกดึงขึ้นมาไม่สามารถกลับลงมาได้ แต่ทั้ง 2 วิธีนี้ ตัวอย่างดินจะถูกบรรจุอยู่ในเซลล์ทดสอบแบบผนังแข็ง (Rigid Wall) จึงทำให้การให้แรงดันน้ำมีโอกาสที่จะไหลซึมผ่านไปทางด้านข้าง ของผนังเซลล์ซึ่งจะรบกวนการทดสอบ ซึ่งจะทำให้ค่าสัมประสิทธิ์ การซึมผ่านมีความผิดพลาด คลาดเคลื่อนจากความเป็นจริง

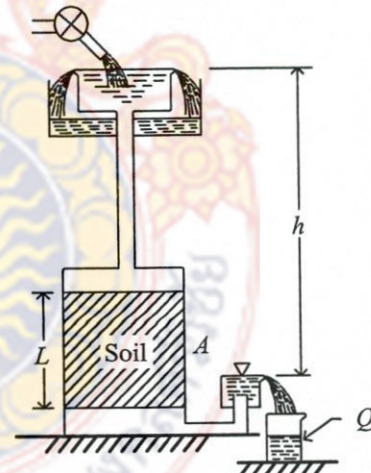
ดังนั้น จึงได้มีแนวความคิดที่จะแก้ปัญหาดังกล่าว โดยการออกแบบ และสร้างชุดทดสอบการซึมผ่านแบบ Falling Head – Rising Tail โดยชุดทดสอบนี้จะสามารถแก้ไขปัญหาที่เกิดกับวิธีทดสอบแบบความดันคงที่ และ แบบความดันแปรเปลี่ยน เพราะชุดทดสอบแบบ Falling Head – Rising Tail นี้สามารถควบคุมแรงดันได้ทั้งทางด้านข้างและทางด้านล่างของตัวอย่าง สามารถให้แรงดันสูงๆ กับตัวอย่างได้ สามารถจำลองสภาพของดิน ตัวอย่างได้ใกล้เคียงกับสภาพในธรรมชาติจริงก่อนเก็บตัวอย่าง สามารถ ตรวจสอบการอั่มตัวของดินตัวอย่าง ได้โดยการทำ B – Check เข้าหากันกับ การทดสอบแรงดันสามแกน (Tri-axial Test) และเซลล์บรรจุตัวอย่างจะ เป็นแบบผนังอ่อนตัว (Flexible Wall) บรรจุอยู่ในเซลล์รับแรงดัน (Pressure Cell) ซึ่งสามารถอัดแรงดันกอครัดด้านข้าง (Confining Pressure) แก้ตัวอย่างดินได้ จึงทำให้ผนังของเซลล์แนบสนิทกับดิน ป้องการซึมผ่าน ของน้ำทางด้านข้าง ได้ซึ่งจะทำให้ได้ผลการทดสอบการซึมผ่านของน้ำใน ดินที่ใกล้เคียงกับดินในธรรมชาติ และสามารถใช้ทดสอบกับดินที่มีค่า สัมประสิทธิ์การซึมผ่านต่ำๆ (ค่อนข้างทึบน้ำ) ได้

2. การทดสอบการซึมผ่านของน้ำในดิน

2.1 การประเมินค่าสัมประสิทธิ์การซึมผ่าน (k) ของมวลดินใน ห้องปฏิบัติการ

ค่าสัมประสิทธิ์การซึมผ่าน (k) ของมวลดินชนิดต่างๆ ที่นำมาใช้ใน การคำนวณ โดยปกติจะได้มาจากการทดสอบประกอบกับการวิเคราะห์ผล ทางทฤษฎี การทดสอบเพื่อประเมินค่า k ของมวลดินในห้องปฏิบัติการ เป็นการทดสอบอย่างง่าย โดยสมมุติให้การไหลของน้ำผ่านตัวอย่างมวล ดินเป็นการไหลแบบทิศทางเดียว ซึ่งหมายความว่า แรงดันน้ำที่จะทำการทดสอบกับมวล

ดินจากแหล่งน้ำเดียวเท่ากับความเป็นจริงควรเป็นตัวอย่างประเทตไม่ถูก擾拌 (Undisturbed Samples) แต่ถ้าเป็นดินที่มีทรายปานมาก หรือเป็นทรายล้วนๆ การทำตัวอย่างขึ้นใหม่โดยใช้แบบ (Remolded Samples) ในห้องปฏิบัติการ โดยทำให้มีคุณสมบัติต่างๆ ใกล้เคียงกับสภาพของมวลดิน ในธรรมชาติ ก่อนเก็บตัวอย่างมากที่สุด ที่สามารถใช้ทำการทดสอบได้ การทดสอบเพื่อประเมินค่า k ในห้องปฏิบัติการที่เป็นวิธีการทดสอบโดยตรง (Direct Methods หรือ Conventional Methods) และนิยมใช้กันอยู่ มี 2 วิธี คือ วิธีความดันคงที่ (Constant Head) และวิธีความดันน้ำแปรเปลี่ยน (Variable Head หรือ Falling Head) [1] ส่วนวิธีการทางอ้อม (Indirect Methods) สามารถหาค่า k ได้จากการทดสอบการยุบอัดตัวอย่าง (Consolidation Test) ซึ่งนิยมใช้ทำการทดสอบกับมวลดินที่มีค่า k ต่ำหรือ มวลดินที่มีคุณสมบัติใกล้เคียงกับดินประเทตทึบน้ำ (Impermeable Soils) วิธีการ โดยตรงทั้งสองวิธีที่กล่าวถึงในนี้เป็นที่นิยมที่นิยมใช้ทำการทดสอบกับ มวลดินที่มีค่า k สูงเช่นปานกลาง หรือมวลดินที่จัดไว้ในประเทตดินทึบน้ำ สามารถซึมผ่านได้ (Permeable Soils) ส่วนดินที่มีค่า k ต่ำๆ (ทึบน้ำ) ไม่ เหนี่ยวแน่นที่จะใช้วิธีโดยตรง ดังที่กล่าวมาแล้ว จึงได้มีแนวความคิดที่จะ ออกแบบและสร้างชุดทดสอบการซึมผ่านแบบ Falling Head – Rising Tail เพื่อใช้ทดสอบหาค่า k ของดินที่มีค่า k ต่ำๆ เช่น ดินเหนียว (Clays) โดย แก้ไขจุดที่เป็นข้อด้อยของชุดทดสอบการซึมผ่านแบบโดยตรง เช่น ผนัง เซลล์บรรจุตัวอย่าง และระยะเวลาในการทดสอบ



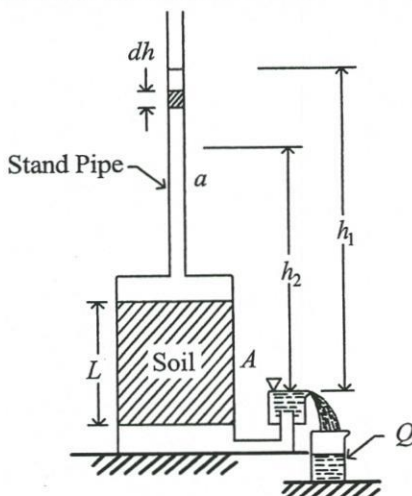
รูปที่ 1 การทดสอบ Constant Head

สมการสำหรับการคำนวณหาค่าสัมประสิทธิ์การซึมผ่านของน้ำในดิน แบบ Constant Head แสดงในสมการที่ (1) และการซึมผ่านแบบ Falling Head แสดงในสมการที่ (2)

$$k = \frac{QL}{Aht} \quad (1)$$

โดย k คือ ค่าการซึมผ่านของน้ำในดิน, Q คือ ปริมาตรที่ไหลออกจาก ตัวอย่างในช่วงเวลา t , L คือ ความยาวของตัวอย่างดิน, A คือ พื้นที่หน้าตัด

คิดด้วยย่าง, h คือ ผลต่างของระดับน้ำก่อนไหลเข้าและออกจากตัวอย่าง และ t คือ เวลาที่วัดปริมาตรน้ำไหลออกจากตัวอย่างคิด [1-3]



รูปที่ 2 การทดสอบ Fall Head

$$k = \frac{aL}{At} \ln \frac{h_1}{h_2} \quad (2)$$

โดย k คือ ค่าการซึมผ่านของน้ำในคิด, Q คือ ปริมาตรที่ไหลออกจากตัวอย่างในช่วงเวลา t โดย $Q = a(h_1 - h_2)$, L คือ ความยาวของตัวอย่างคิด, A คือ พื้นที่หน้าตัดคิดด้วยย่าง, h_1 คือ ความสูงของระดับน้ำในหลอด Stand Pipe วัดจากระดับน้ำเส้นทางออกก่อนจับเวลา (t ก่อนทดสอบ), h_2 คือ ความสูงของระดับน้ำในหลอด Stand Pipe วัดจากระดับน้ำเส้นทางออกหลังจากจับเวลา (t หลังทดสอบ), a คือ พื้นที่หน้าตัดของหลอด Stand Pipe โดยสามารถคำนวณจากค่า $a = Q/(h_1 - h_2)$ และ t คือ เวลาที่วัดปริมาตรน้ำไหลออกจากตัวอย่างคิด การทดสอบแบบ Fall Head ส่วนใหญ่จะใช้ทดสอบกับคิดที่มีค่า k น้อยกว่า 10^{-3} cm/sec [1], [3-4]

ซึ่งค่าดั้มประสิทธิ์การซึมผ่านของคิดโดยทั่วไปสามารถแสดงในตารางที่ 1

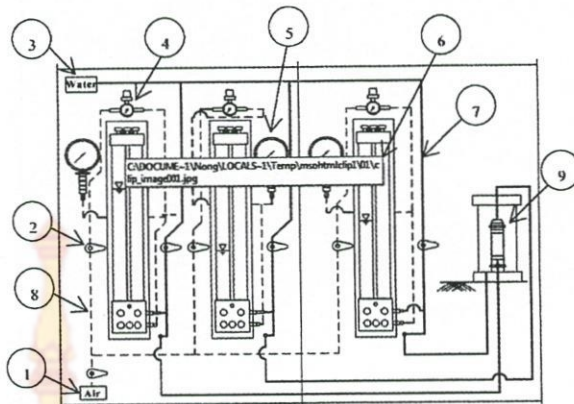
ตารางที่ 1 ค่าดั้มประสิทธิ์การซึมผ่านของคิดชนิดต่างๆ [5-7]

| ชนิดของคิด | ค่าดั้มประสิทธิ์การซึมผ่าน (k), cm/sec |
|-------------------------------|--|
| Medium to Coarse Gravel | Greater than 10^{-1} |
| Coarse to Fine Sand | 10^{-1} to 10^{-3} |
| Fine Sand, Silty Sand | 10^{-3} to 10^{-5} |
| Silt, Clayey Silt, Silty Clay | 10^{-4} to 10^{-6} |
| Clays | 10^{-7} or less |

2.2 ชุดทดสอบ Fall Head – Rising Tail

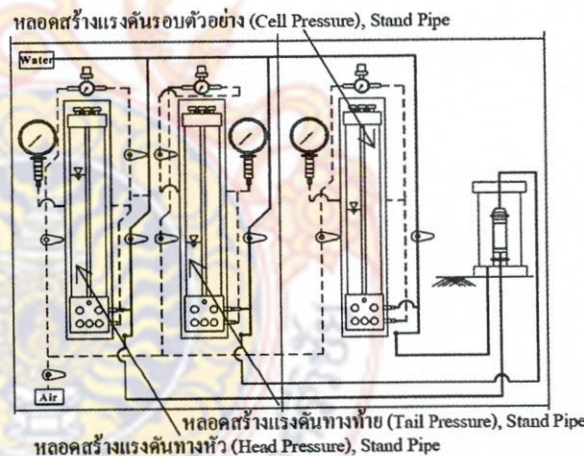
จากการออกแบบและสร้างสามารถได้ชุดทดสอบการซึมผ่านแบบ Fall Head – Rising Tail ดังแสดงในรูปที่ 3 ถึง รูปที่ 10 ซึ่งเป็นการแสดงส่วนประกอบ และอุปกรณ์ต่างๆ ที่ใช้สำหรับการทดสอบ ตลอดจนแสดงถึงตำแหน่ง และการวัดค่าของตัวแปรต่างๆ ที่ใช้สำหรับในการแสดงถึงตำแหน่ง และการวัดค่าของตัวแปรต่างๆ ที่ใช้สำหรับในการ

คำนวณหาค่าดั้มประสิทธิ์การซึมผ่านของน้ำในคิดแบบ Fall Head – Rising Tail



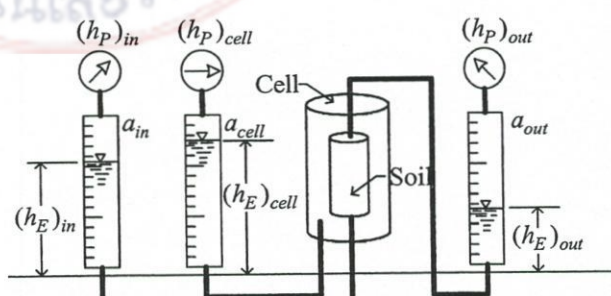
รูปที่ 3 อุปกรณ์ประกอบชุดทดสอบ Fall Head – Rising Tail

โดย 1 คือ ทางเข้าอากาศต่อจากบันลม (Air), 2 คือ วาล์วเปิด – ปิด (Valve), 3 คือ ทางเข้าของน้ำต่อจากถังด้านหลังบอร์ด (Water), 4 คือ ตัวควบคุมแรงดันให้แก่ที่ (Regulator), 5 คือ เกจวัดแรงดัน (Pressure Gauge), 6 คือ หลอดแท่งปริมาตรน้ำ (Twin Burette) หรือ หลอด Stand Pipe, 7 คือ เส้นทางเดินของน้ำ (Water Line), 8 คือ เส้นทางเดินของอากาศ (Air Line) และ 9 คือ เซลล์บรรจุตัวอย่าง (Tri-axial Cell)

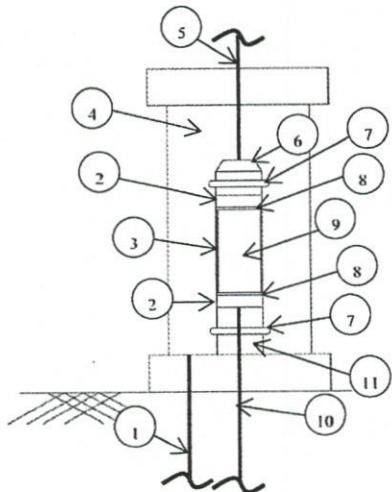


รูปที่ 4 ตำแหน่งของหลอดสร้างแรงดันของชุดทดสอบ

Falling Head – Rising Tail

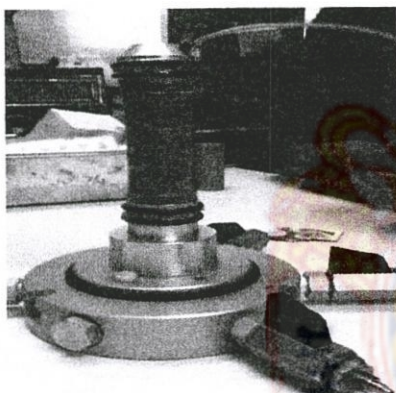


รูปที่ 5 ตัวแปรในการวัดแรงดันของชุดทดสอบ Fall Head – Rising Tail

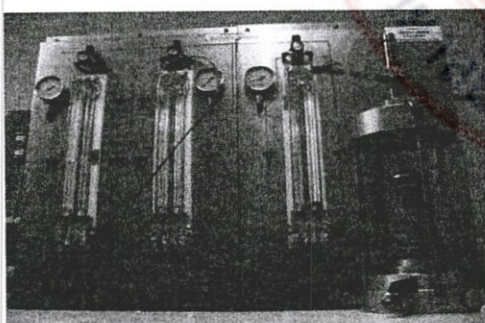


รูปที่ 6 ข่ายเซลล์บรรจุตัวอย่าง (Tri-axial Cell)

โดย 1 คือ แรงดันรอบตัวอย่าง (Cell Pressure), 2 คือ หินพุน (Porous Stone), 3 คือ ปลอกยาง (Rubber Membrane), 4 คือ น้ำรอบตัวอย่าง (Water), 5 คือ แรงดันทางท้าย (Tail Pressure), 6 คือ ฐานปิดหัวตัวอย่าง (Top Cap), 7 คือ ยางวงแหวน (O-Ring), 8 คือ กระดาษกรอง (Filter Paper), 9 คือ ตัวอย่างดิน (Soil Sample), 10 คือ แรงดันทางหัว (Head Pressure) และ 11 คือ ฐานรองตัวอย่าง (Bottom Cap)

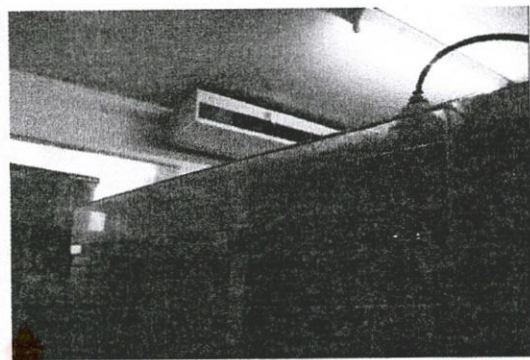


รูปที่ 7 การติดตั้งตัวอย่างกับเซลล์บรรจุตัวอย่าง



รูปที่ 8 ชุดทดสอบ Falling Head – Rising Tail หลังจากการสร้างเสร็จ

สำหรับสมการที่ใช้สำหรับการคำนวณค่าสัมประสิทธิ์การซึมผ่านของน้ำในคืนแบบ Falling Head – Rising Tail นั้นมีความแตกต่างจากการของ Constant Head และ Falling Head ซึ่งสามารถแสดงได้ในสมการที่ (3)



รูปที่ 9 ถังเก็บน้ำ (Water Tank) หลังແղគນຄຸນ



รูปที่ 10 ปั๊มลม (Air Pump) สำหรับสร้างแรงดันทดสอบ

$$k = \frac{a_{in} a_{out} L}{A (t_2 - t_1) (a_{in} + a_{out})} \ln\left(\frac{\Delta h_1}{\Delta h_2}\right) \quad (3)$$

$$\Delta h_1 = [(h_E + h_P)_{in} - (h_E + h_P)_{out}] \text{ at } t_1 \quad (4)$$

$$\Delta h_2 = [(h_E + h_P)_{in} - (h_E + h_P)_{out}] \text{ at } t_2 \quad (5)$$

โดย k คือ ค่าการซึมผ่านของน้ำในคืน (Coefficient of Permeability, Hydraulic Conductivity), h_P คือ Pressure Head, h_E คือ Elevation Head, a_{in} คือ พื้นที่หน้าตัดของหลอด Stand Pipe ของน้ำหัว (Head Pressure), a_{out} คือ พื้นที่หน้าตัดของหลอด Stand Pipe ของน้ำออก (Tail Pressure), A คือ พื้นที่หน้าตัดของตัวอย่างคืน, L คือ ความยาวของตัวอย่างคืน, t_1 คือ เวลาเริ่มทดสอบ และ t_2 คือ เวลาหลังทดสอบ

2.3 ขั้นตอนการทดสอบ Falling Head – Rising Tail

2.3.1 ขั้นตอนการเตรียมชุดทดสอบ

1. นำตัวอย่างคืนที่เตรียมไว้แล้วบรรจุในเซลล์สามแกนที่รองด้วยหินพุน กระดาษกรอง ใส่ปลอกยางหุ้มตัวอย่างคืน รัดปลอกยางหุ้มตัวอย่างด้วยยางวงแหวนกันน้ำร้อน ปิดเซลล์ให้แน่นแล้วเดินน้ำให้เต็ม

2. ทำการต่อสายท่อนแรงดันสูง (สาย PU) จากบีบมลเข้ากับແղគນຄຸນ แรงดัน

3. เดินน้ำเข้าหลอดสร้างแรงดัน Head Pressure, Tail Pressure และ Cell Pressure ให้ได้ระดับตามต้องการ

4. ปรับตัวความคุณแรงดันให้เป็นสูนย์ทุกหลอดสร้างแรงดัน พร้อมทดสอบ

2.3.2 ขั้นตอนการทดสอบ Falling Head – Rising Tail

1. จากรูปที่ 4 และ 6 ต่อเซลล์สามแคนเข้ากับหลอดสร้างแรงดันทั้งสามหลอด คือ หลอด Head Pressure ($a_{in} = 4.10$ ตารางเซนติเมตร) หลอด Tail Pressure ($a_{out} = 4.10$ ตารางเซนติเมตร) และ หลอด Cell Pressure ($a_{cell} = 4.10$ ตารางเซนติเมตร) สำหรับหลอด Cell Pressure จะสร้างแรงดันรอบๆ คินตัวอย่าง จึงทำให้ผังบางด้านข้างสามารถแนบสนิทกับตัวอย่างคิน ทำให้ลดปัญหาของการซึมของน้ำทางด้านข้างของตัวอย่างคิน ดังเช่นกรณีของการใช้เซลล์หนังแข็ง

2. ทำการตรวจสอบการอั่มตัวของคินตัวอย่าง โดยกระบวนการการท่า B-Check (เหมือนการทดสอบ Tri-axial) ซึ่งค่า B จะต้องไม่น้อยกว่า ร้อยละ 95 ถึงจะแสดงว่าคินตัวอย่างอั่มตัว จากนั้นตรวจสอบปริมาตรของน้ำที่ไหลเข้าตัวอย่างจะต้องเท่ากับปริมาตรของน้ำที่ไหลออกจากการตัวอย่าง ($Q_{in} = Q_{out}$)

3. ถ้าหากต้องการทำการ Consolidate ตัวอย่างคิน (เหมือนการทดสอบ Tri-axial) ก็สามารถทำได้ โดยการเพิ่ม Cell Pressure ตามขนาดของแรงดันที่ต้องการ Consolidate (ยกเว้นแรงดันที่กระทำในธรรมชาติ ก่อนเก็บตัวอย่าง หรือสภาพที่ต้องการใช้งาน) และวัดปริมาตรน้ำที่ไหลออกจากการตัวอย่าง ทดสอบจากตัวอย่างคิน รายงานกระทั้งน้ำหยุดไหลออกจากตัวอย่างคิน แสดงว่า กระบวนการ Consolidate เสร็จสิ้น ตัวอย่างคินพร้อมทดสอบการซึมผ่านของน้ำในคิน

4. การให้แรงดันในหลอด Cell Pressure จะต้องให้แรงดันมากกว่า หลอด Head Pressure เสมอ (เพราะจะทำให้แรงดันกดโดยรอบตัวอย่าง ถ้า Head Pressure มากกว่า Cell Pressure ตัวอย่างคินจะบวนตัวและอาจชำรุดได้) โดยขนาดของ Cell Pressure ที่จะกระทำกับตัวอย่างคิน จะต้องใกล้เคียงกับแรงดันที่กระทำอยู่รอบๆ ตัวอย่างคินก่อนทำการเก็บตัวอย่าง (สภาวะใกล้เคียงธรรมชาติ หรือสภาวะใช้งานของคินตัวอย่าง) สำหรับ Head Pressure และ Tail Pressure ก็เช่นเดียวกัน จะต้องมีขนาดที่ใกล้เคียง หรือเหมือนกับสภาวะการไหลของน้ำในธรรมชาติ หรือสภาวะที่ต้องการใช้งาน เพื่อให้ได้ค่า k ที่ใกล้เคียงสภาวะการใช้งานจริง

5. ในการทดสอบจะต้องเพิ่มแรงดันในหลอด Head Pressure ให้มากกว่าหลอด Tail Pressure และหลอด Cell Pressure จะต้องมากกว่า Head Pressure เสมอ โดยการให้แรงดันแก่ตัวอย่างคินจะต้องกระทำอย่างระมัดระวังและรอบคอบ ไม่ทำให้ตัวอย่างคินวินต์ หรืออุกรวนกวนมากกว่าคินที่เป็นอยู่ในธรรมชาติก่อนการเก็บตัวอย่าง

6. เริ่มทำการทดสอบโดยการบันทึกค่า Head Pressure, Tail Pressure และ Cell Pressure อ่านระดับน้ำเริ่มต้นในหลอด Stand Pipe ของหลอด Head Pressure, Tail Pressure และ Cell Pressure และจับเวลาเริ่มต้น เมื่อเวลาผ่านไปก็ให้ทำการบันทึกค่า แรงดัน และระดับน้ำที่เปลี่ยนแปลงไปในแต่ละหลอด Stand Pipe อุณหภูมิ และเวลาในแต่ละช่วงเวลาที่ทำการทดสอบ หรือตามที่กำหนด ซึ่งก็ขึ้นอยู่กับประเภทของคินที่นำมาทดสอบ เช่น ถ้าเป็นคินเหนียวจะใช้เวลาที่นานกว่าคินทราย

7. นำข้อมูลทั้งหมดที่ได้ไปคำนวณหาค่าสัมประสิทธิ์การซึมผ่านของน้ำในคิน โดยการใช้สมการที่ (3), (4) และ (5)

3. ผลการทดสอบ

หลังจากออกแบบและสร้างชุดทดสอบการซึมผ่านแบบ Falling Head – Rising Tail ได้ทำการทดสอบการใช้งานของเครื่องมือ โดยทำการทดสอบกับคินเม็ดละอิศิค์ที่แตกต่างกัน จำนวน 6 ตัวอย่าง พร้อมกับทำการทดสอบการซึมผ่านแบบ Constant Head และ Falling Head เพื่อเปรียบเทียบผลการทดสอบค่า k ในแต่ละวิธีการทดสอบ ซึ่งได้ผลการทดสอบ ดังนี้

3.1 คุณสมบัติพื้นฐานของคินตัวอย่างทดสอบ

คุณสมบัติพื้นฐานของคินตัวอย่างที่ใช้ทดสอบหาค่า k โดยใช้ชุดทดสอบ Falling Head – Rising Tail แสดงในตารางที่ 2

การเตรียมตัวอย่างสำหรับการทดสอบเพื่อหาค่า k จะทำการเตรียมตัวอย่างคินในแต่ชุดตัวอย่าง (Sample) โดยการบดอัดคินในแต่ละชนิด ตัวอย่างโดยใช้ความชื้นที่เท่ากัน และทำการบดอัดโดยการใช้พลังงานในการบดอัดที่ไม่เท่ากัน เพื่อให้ได้ค่าหน่วยน้ำหนักคินแห้ง หรือความหนาแน่นของคินแห้งที่แตกต่างกัน เพื่อจะได้คุณภาพลักษณะของค่า k ตามลักษณะของความหนาแน่นของคิน โดยทำการบดอัดตัวอย่างคินโดยใช้ชุดบดอัดแบบ Harvard

ตารางที่ 2 คุณสมบัติพื้นฐานของคินตัวอย่าง

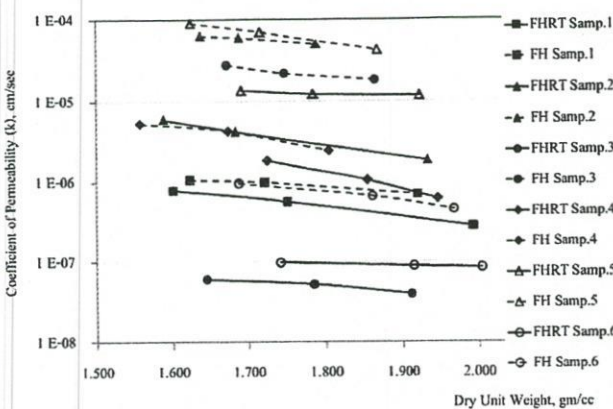
| Soil Properties | Sample 1 | Sample 2 | Sample 3 | Sample 4 | Sample 5 | Sample 6 |
|----------------------------|----------|----------|----------|----------|----------|----------|
| Liquid limit (LL) | 41.82 | 35.25 | 43.60 | 35.30 | 34.00 | 28.50 |
| Plasticity Index (PI) | 27.84 | 6.01 | 8.54 | 14.27 | 9.31 | 4.46 |
| Specific Gravity (G_s) | 2.777 | 2.665 | 2.749 | 2.719 | 2.757 | 2.648 |
| % Finer (%) | 65.11 | 57.02 | 56.75 | 26.90 | 26.10 | 43.02 |
| Type of Soil | CL | ML | ML | SC | SM | SM |

โดย CL คือ คินเหนียวที่มีความเหนียวตัว, ML คือ คินทรายเป็นที่มีความเหนียวตัว, SC คือ คินทรายปานคินเหนียว และ SM คือ คินทรายปานคินทรายเป็น

3.2 ผลการทดสอบค่า k จากชุดทดสอบ Falling Head – Rising Tail กับ

ชุดทดสอบ Constant Head และ Falling Head

จากการศึกษาของคินตัวอย่างพบว่า ค่า k ที่ได้จากการทดสอบแบบ Constant Head (CH) และ Falling Head (FH) มีค่าใกล้เคียงกัน ดังนั้น จึงขอเปรียบเทียบค่า k ที่ได้จากการทดสอบโดยใช้ชุดทดสอบแบบ Falling Head – Rising Tail (FHRT) กับชุดทดสอบแบบ FH ซึ่งผลของการทดสอบของคินทั้ง 6 ตัวอย่าง สามารถแสดงในรูปที่ 11



รูปที่ 11 ความสัมพันธ์ระหว่างหน่วยน้ำหนักดินแห้งกับค่า k
จากการทดสอบ FHRT และ FH

จากรูปที่ 11 จะเห็นได้ว่า ค่า k ที่ได้จากการทดสอบโดยชุดทดสอบ FHRT จะมีค่า k ที่ต่ำกว่าค่า k ที่ได้จากการทดสอบจากชุดทดสอบ FH ทุกด้วยที่น้ำทดสอบ และจะเห็นได้ว่าค่า k มีค่าน้อยลงเมื่อค่าความแน่นของดินเพิ่มขึ้น สำหรับค่า k ที่ได้จากการทดสอบแบบ FHRT จะเห็นได้ว่า อยู่ในช่วงที่เป็นค่า k ของดินที่ก่อขึ้นใหม่ ซึ่งสอดคล้องกับความเป็นจริง เพราะคิดน้ำด้วยเป็นคิดเหนียว คิดทรายเป็น และคิดทรายปันดิน ทรายเป็น ก้าวคือ คิดเหนียวจะมีค่า k อยู่ในช่วง 10^{-7} หรือน้อยกว่า 10^{-7} cm/sec คิดทรายเป็น หรือคิดทรายเป็นปันดินเหนียว มีค่า k อยู่ในช่วง 10^{-4} ถึง 10^{-6} cm/sec และคิดทรายละอียดและคิดทรายปันดินทรายเป็น จะมีค่า k อยู่ในช่วง 10^{-3} ถึง 10^{-5} cm/sec

4. บทสรุป

จากการทดสอบของจินตัวอย่างจะเห็นได้ว่าค่า k ที่ได้จากการทดสอบแบบ FHRT มีค่าที่น้อยกว่าการทดสอบแบบ FH และน้ำจะไกลีกึ่งกับค่า k ที่เป็นจริงของดินมากกว่า ทั้งนี้อาจจะสอดคล้องตามสมมติฐานที่ว่าชุดทดสอบ FHRT เป็นชุดทดสอบที่มีผังเซลล์ที่อ่อนตัว (Flexible Wall) ก่อปรับดอนทดสอบสามารถให้แรงดันรอบตัวอย่าง (Cell Pressure) จึงทำให้ผังเซลล์แบบสนิทกับตัวอย่าง ซึ่งทำให้สามารถลดการไหลของน้ำผ่านทางด้านข้างของเซลล์ เป็นการบังคับให้น้ำไหลผ่านตัวอย่างดินจริงๆ ซึ่งจะแตกต่างกับการทดสอบแบบ FH ที่ผังเซลล์เป็นแบบแข็ง (Rigid Wall) และไม่สามารถเพิ่มแรงดันรอบตัวอย่างได้ จึงทำให้ผังเซลล์ไม่สามารถแบบสนิทกับตัวอย่างดินได้เพียงพอ จึงมีโอกาสที่น้ำบางส่วนหรือทั้งหมดจะซึมไปตามช่องว่างระหว่างด้านข้างของตัวอย่างกับผังเซลล์ แทนที่จะไหลเข้มผ่านตัวอย่างดินจริงๆ ซึ่งตรงกันกับการแก้ไขจุดที่เป็นจุดด้อยของการทดสอบแบบ FH และจากการผลการทดสอบจะเห็นได้ว่าชุดทดสอบ FHRT ที่สร้างขึ้นมาตนี้สามารถใช้ทดสอบหาค่า k ของดินที่มีการซึมผ่านตัวฯ ได้เป็นอย่างดี

และจากการศึกษาข้อมูลว่าชุดทดสอบแบบ FHRT สามารถช่วยลดเวลาของการทดสอบหาค่า k ของดินที่มีค่าการซึมผ่านตัวฯ ได้เมื่อเทียบกับการทดสอบแบบ FH เพราะสามารถเพิ่มแรงดันของน้ำให้ไหลผ่านตัวอย่างดินได้เร็วขึ้น และยังสามารถลดการระเหยของน้ำในหลอด Stand Pipe เมื่อ

ทำการทดสอบด้วยตัวอย่างดินนานๆ เนื่องจากชุดทดสอบ FHRT เป็นระบบปิด น้ำในหลอด Stand Pipe ไม่สามารถระเหยออกໄไปได้ และชุดทดสอบแบบ FHRT สามารถจำลองสถานะของดินได้ใกล้เคียงกับสภาพของดินในธรรมชาติในขั้นตอนการทดสอบ ให้ความต้องการหัวดินที่จะให้ความต้องการหัว Head ของน้ำที่จะให้หัวดินที่ต้องการหัว Head Pressure และสามารถควบคุมแรงดันดอนน้ำให้ไหลออกจากตัวอย่างได้ด้วย Tail Pressure นอกจากนี้ยังสามารถตรวจสอบการอั่นตัวของตัวอย่างได้ เช่นเดียวกับการทดสอบ Tri-axial คือ สามารถทำ B – Check ได้ และสามารถทำกระบวนการ Consolidate ดินตัวอย่างได้ เช่นเดียวกัน

ชุดทดสอบหาค่า k สำหรับการซึมผ่านของน้ำในดินแบบ FHRT ที่สร้างขึ้นมาเมื่อเทียบกับชุดทดสอบแบบ CH และ FH พบว่าสามารถจำลองสภาพของดินตัวอย่างได้ใกล้เคียงกับสภาพของดินในธรรมชาติในการเก็บตัวอย่าง สามารถตรวจสอบการอั่นตัวของตัวอย่างทดสอบได้ สามารถลดเวลาของการทดสอบหาค่า k ให้สั้นลงในกรณีที่ดินตัวอย่างเป็นดินเหนียว สามารถใช้ทดสอบได้ทั้งดินเหนียวและดินทราย สามารถลดค่าปัญหาเรื่องของการซึมของของเหลวทางด้านข้างของผังแข็ง เพราะผังเซลล์ เป็นแบบอ่อนตัว จึงสามารถแบบสนิทกับตัวอย่างทดสอบได้โดยใช้แรงดันรอบตัวอย่าง และสามารถควบคุมแรงดันของของเหลวท่อนและหลังการซึมผ่านตัวอย่างดินได้ โดยสรุปแล้วชุดทดสอบ FHRT นี้สามารถใช้ทดสอบหาค่า k ได้ดีเมื่อเทียบกับการทดสอบแบบ CH และ FH

สำหรับแนวทางการพัฒนาชุดทดสอบ FHRT ในอนาคตจะพัฒนาในเรื่องของการบันทึกค่าผลการทดสอบ คือ แทนที่จะใช้คนในการบันทึกค่าการทดสอบจะประยุกต์ใช้คอมพิวเตอร์ในการบันทึกค่าการทดสอบแบบอัตโนมัติ

กิตติกรรมประกาศ

งานวิจัยนี้ได้รับทุนสนับสนุนจากบประมาณประจำปี 2554 คณะวิศวกรรมศาสตร์ มหาวิทยาลัยเทคโนโลยีราชมงคลรัตนโกสินทร์ และขอขอบคุณ นายพชร สาษสาม นายนฤทธิ์ นาราธักษณ์ ชูสุกชี ที่ช่วยดำเนินงานวิจัยนี้สำเร็จ

เอกสารอ้างอิง

- [1] J.E. Bowles. *Foundation analysis and design*. 5th edition, The McGraw-Hill Companies, Inc., 1996, pp. 46-55.
- [2] A.S.T.M. Standards, "Section 4 Volume 04.08 Soil and Rock (1): D 420 – D 4914", *Annual Book of A.S.T.M. Standard*, American Society for Testing Materials, U.S.A., 1999, pp. 205-209.
- [3] สถาพร คุวิจิตรราฐ, ทดลองปูร์ฟิกอลศาสตร์, สำนักพิมพ์ไลนาร์ นาย, กรุงเทพฯ, พ.ศ. 2541, หน้า 10-1 – 10-17.
- [4] A. Pedescoll, R. Samsó, E. Romero, J. Puigagut and J. García, "Reliability, repeatability and accuracy of the falling head method

- for hydraulic conductivity measurements under laboratory conditions", *Ecological Engineering* 37, 2011, pp. 754-757.
- [5] B.M. Das. *Principles of foundation engineering*, SI. 7th edition, Cengage Learning, U.S.A., 2011, pp. 25-31.
- [6] B.M. Das. *Principles of geotechnical engineering*. 4th edition, PWS Publishing Company, U.S.A., 1998, pp. 159-225.
- [7] K. Spitz and J. Moreno. *A practical guide to groundwater and solute transport modeling*. John Wiley & Sons, Inc., 1996, pp. 342-354.

